

۳۴۸۱۵

TN

۲۷۱

۱۹۶

۱۹۶

۱۳۷۸

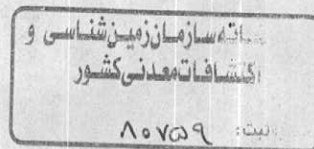
وزارت معادن و فلزات

اداره کل معادن و فلزات استان مازندران

طرح پی جوئی و اکتشاف مقدماتی کانی های

غیر فلزی در شرق و غرب ور سک

(سواد کوه)



شرکت مهندسی ایتوک ایران - شرکت مهندسی کاوش کانسار

شهریور ۱۳۷۸

فهرست مطالب و عناوین

شماره صفحه

| | |
|----|--------------------------------|
| ۴ | مقدمه |
| ۵ | فصل اول : مطالعات زمین شناسی |
| ۵ | الف : موقعیت جغرافیایی |
| ۷ | ب : زمین شناسی عمومی منطقه |
| ۸ | ج : زمین شناسی ساختاری |
| ۹ | د : مطالعات پترو گرافی |
| ۹ | ۱- تشکیلات لالون |
| ۱۰ | ۲- تشکیلات مبارک |
| ۱۱ | ۳- دوره پرمن |
| ۱۴ | ۴- واحد دیبازی |
| ۱۴ | ۵- دوران مژوزئیک |
| ۱۴ | ۶- دوره تریاس(تشکیلات الیکا) |
| ۱۵ | ۷- واحد الیکای زیرین (TR1) |
| ۱۷ | ۸- تشکیلات الیکای میانی (TR2) |
| ۱۸ | ۹- تشکیلات الیکای زیرین (TR2) |
| ۲۰ | ۱۰- دوره رُوارسیک |
| ۲۰ | ۱۱- تشکیلات شمشک |
| ۲۱ | ۱۲- تشکیلات دلیچای |
| ۲۱ | ۱۳- تشکیلات لار |
| ۲۲ | ۱۴- دوره کرتاسه |
| ۲۲ | ۱۵- تشکیلات تیزکوه |

فهرست مطالب و عناوین

| شماره صفحه | عنوان |
|------------|---|
| ۲۲ | ۱۶- رسویات آبرفتی عصر حاضر |
| ۲۳ | فصل دوم : نمونه برداری و آنالیز نمونه ها |
| ۲۳ | الف : طراحی شبکه نمونه برداری |
| ۲۳ | ب : آنالیز نمونه ها |
| ۲۹ | فصل سوم : پردازش داده ها و رسم منحنی ها |
| ۲۹ | الف : پردازش داده ها |
| ۴۲ | ب : برآورد مقادیر خارج از رده |
| ۴۴ | ج : خارج سازی مقادیر خارج از رده و نرمال سازی داده ها |
| ۴۴ | ه : جدا سازی آنومالی ها |
| ۵۲ | د : بررسی همبستگی |
| ۵۸ | و : آنالیز خوش ای (کلاستر آنالیز) |
| ۶۰ | ۱- تفسیر نمودار درختی شکل E |
| ۶۱ | ۲- تفسیر نمودار درختی شکل F |
| ۶۵ | ۳- روش تجزیه به عامل ها |
| ۷۳ | ۴- بررسی های کانی سنگین |
| ۷۳ | ۵- نمونه برداری |
| ۷۳ | ۶- آماده سازی نمونه ها |
| ۷۳ | ۱- آماده سازی در صحراء |
| ۷۴ | ۲- آماده سازی در آزمایشگاه |
| ۷۵ | ۳- نحوه مطالعه |

فهرست مطالب و عناوین

شماره صفحه

- | | |
|----|--|
| ٧٥ | ٤- تجزیه و تحلیل آماری نمونه های کانی سنگین |
| ٧٦ | ٥- تعیین ضرائب همبستگی |
| ٧٧ | ٦- نتایج به دست آمده |
| ٨٦ | فصل چهارم: نقشه های آنومالی و اولویت بندی مناطق امید بخش |
| ٨٧ | نتیجه گیری و پیشنهاد |

مقدمه : اجرای طرحهای اکتشافی به منظور بی جویی و اکتشاف و استخراج مواد معدنی غیر فلزی و کانی های صنعتی امروزه اهمیت زیادی پیدا کرده و استخراج کانی های غیر فلزی و صنعتی در جهان سطح بی سابقه ای پیدا کرده و از نظر اقتصادی و تنوع حتی از مواد فلزی پیشی گرفته است . در کشور ما نیز این نیاز شدیداً احساس می شود . در کشور ایران به سبب وسعت زیاد و تمرکز مواد معدنی گوناگون که گاه شناسایی آنها به سبب شرایط ویژه محیطی از جمله ارتفاعات بلند و دور از دسترس ، پوشش جنگلی ، کویرهای پهناور و کمبود راههای دسترسی با مشکل مواجه است . براساس این اصل نیاز به بهره گیری از روش های ژئوشیمیابی و تکنیک های جدید بیشتر احساس می شود .

در چهار چوب اکتشاف کانی های غیر فلزی در شرق و غرب ورسک سعی گردید از روش ژئوشیمیابی بهره گیری شود ، منطقه مورد مطالعه شرق و غرب ورسک منطقه ای کوهستانی و دارای پوشش گیاهی وسیعی است و در این منطقه بکار گیری روش اکتشافات ژئوشیمیابی آبراهه ای می تواند مثمر ثمر باشد . علاوه بر اکتشاف ژئوشیمیابی آبراهه ای در این منطقه از اکتشافات زمین شناسی معدنی و یا چکشی نیز استفاده گردیده است . در اکتشافات کوچک تا متوسط مقیاس ژئوشیمیابی آبراهه ای ، پایه و اساس روش بررسی رسوبات آبراهه ای است و این امر بر این فرضیه استوار است که رسوبات آبراهه ای و نمونه ترکیبی از مواد فرسایش یافته از سنگهای بالا دست حوضه آبریز بوجود آمده است و بنابر این وجود آنومالی در این رسوبات می تواند مovid وجود یک منبع پر عیار باشد که منشاً آن از بالا دست حوضه آبریز است . در این مطالعات علاوه بر نمونه برداری ژئوشیمیابی ، تعدادی نمونه کانه سنگین نیز برداشت گردیده است . در فصل اول این گزارش زمین شناسی این ناحیه و پتروگرافی سنگهای منطقه مورد مطالعه قرار می گیرد و در نهایت نقشه زمین شناسی به مقیاس ۲۰،۰۰۰ : ۱ از منطقه تهیه گردیده است . فصل دوم گزارش مربوط به نمونه برداری و تجزیه نمونه ها است و فصل سوم گزارش پردازش داده ها و رسم منحنی های عناصر و ترکیبات آورده می شود و

داده ها مورد تفسیر قرار می گیرد ، در فصل چهارم نقشه آنومالی و اولوبت بندی مناطق امید بخش

مورد بررسی قرار می گیرد .

فصل اول : مطالعات زمین شناسی

الف : موقعیت جغرافیایی :

منطقه مورد مطالعه در شرق و غرب روستای ورسک واقع گردیده و دارای طول جغرافیایی " ۵۶

و ' ۰۰ و ۵۳ ° تا " ۰۲ و ' ۵۳ ° و عرض جغرافیایی " ۲۹ و ' ۵۵ ° و ۳۵ ° تا " ۳۴ و ' ۵۰ ° و ۳۵ ° می باشد .

منطقه کاملاً کوهستانی است و قسمت زیادی از منطقه دارای پوشش جنگلی می باشد و همچنین

ارتفاعات منطقه صعب العبور می باشد که دسترسی به این مناطق به سهولت امکان پذیر نیست . حد

اکثر ارتفاع در منطقه ۳۰۹۷ متر از سطح دریا می باشد . در عکس های ۱ و ۲ تصاویری ازده ورسک و

ارتفاعات این ناحیه آورده شده است ، آب و هوای منطقه در تابستان آب و هوای معتدل و در

زمستان آب و هوای سرد و برفی است . شغل اصلی ساکنین بومی منطقه دامداری و کشاورزی می

باشد .



تصویر ۱ : منطقه‌ای از روستای ورسک و پل معروف ورسک



تصویر ۲ : تصویری از ارتفاعات صعب العبور منطقه



عکس ۳ : تصویری از مناطق جنگلی با پوشش گیاهی وسیع

ب : زمین شناسی عمومی منطقه

منطقه مورد مطالعه به وسعت تقریبی، ۱۵ کیلومتر مربع و در البرز مرکزی واقع شده است که از نظر زمین شناسی قدیمی ترین تشکیلات شناخته شده در آن ماسه سنگ های سرخ به سن لالون و زاگون می باشد . در این منطقه همانند بیشتر بخش های البرز مرکزی تشکیلات مبارک به سن دونین بالائی - کربونیفر روی لایه های ماسه سنگی قرار گرفته و به این ترتیب از نظر چینه شناسی برای دوره های اوردوسین ، سیلورین و دونین زیرین نبود چینه ای وجود دارد . لایه های رسوبی با سن روتہ نیز در روی تشکیلات مبارک قرار گرفته اند و با توجه به اینکه تشکیلات تریاس مستقیماً روی آهکهای روتہ قرار گرفته اند بنابراین برای ماسه سنگهای پرمین تحتانی (تشکیلات درود) و پرمین فوقانی (تشکیلات نسن) نیز در منطقه نبود چینه ای مشاهده می شود .

ترتیب قرار گرفتن لایه های رسوبی متعلق به دوره های بعد از پرمین در منطقه ورسک حالت عادی دارد به این ترتیب که واحدهای آهکی ، دولومیتی تریاس با میان لایه های مارنی در سه بخش به

صورت ۳ عضو تریاس (تحتانی، میانی و فوقانی) روی آهکهای روته قرار گرفته اند که در این میان جدید ترین عضو تریاس که الیکای فوقانی است و به عضو ورسک معروف است بیشتر مورد توجه برای مطالعات اکتشافی قرار داشته است.

بر روی واحد ورسک شیلهای شمشک با سن ژوراسیک قرار گرفته که ضخامت آن در منطقه متفاوت است و اغلب به علت سستی سنگ دره های منطقه را تشکیل داده است. بر روی شیلهای شمشک آهکهای مارنی دلیچای و سپس آهکهای متراکم لارو بالاخره واحد آهکی متراکم تیزکوه قرار گرفته که سن کرتاسه دارند. واحد های لار و تیز کوه به علت تراکم و مقاومت زیاد، قلل مرتفع منطقه را تشکیل داده اند.

در منطقه ایستگاه دو گل به سمت جاده قدیم فیروز کوه - ورسک واحدی از سنگهای دیبازی مشاهده می شود که همبُری آن با آهک های مبارک نشانه ای از سن پرمین برای آن است، این واحد در رسوبات جوانتر مشاهده نشده است و بنا بر این به نظر می رسد که نفوذ آن در طی دوره پرمین صورت گرفته است. واحد دیبازی دیگری نیز در بخش فوقانی تشکیلات شمشک مشاهده گردید که به نظر می رسد سن جوانتر از شمشک را داشته باشد. در هر حال مطالعه سنگ شناسی و کانی شناسی در هیچیک از این توده های نفوذی نشانه ای از کانی سازی اقتصادی در منطقه را همراه نداشته است.

ج: زمین شناسی ساختاری

منطقه ورسک از نظر ساختاری - رسوبی بخشی از واحد ساختاری - رسوبی البرز محسوب می شود. در این منطقه مجموع واحدهای رسوبی به صورت ناودیس آویخته ای قرار گرفته اند و بلند ترین قله های کوهستانی منطقه را جوانترین واحدهای رسوبی شیستی واحدهای لار و تیز کوه تشکیل می دهند.

در منطقه ورسک گسلهای متعددی سبب جابجایی واحدهای رسوی شده و علاوه بر این حرکات تکتونیکی باعث خرد شدن واحدهای سنگی ادوار مختلف شده است . بخشی از آبراهه های موجود در منطقه مورد مطالعه نیز در مسیر گسلها موجود شکل گرفته اند.

شیب لایه های رسوی در ناویدیس منطقه در نواحی مختلف متفاوت است در بخش هسته ناویدیس شیب لایه ها بین 40° تا 50° درجه ولی در واحدهای کربونیفر و الیکا غالباً شیب لایه ها زیاد و گاهی نزدیک به قائم هستند که نشانه ای از اثر نیروهای تکتونیکی شدید موثر در زمان چین خوردن واحدهای رسوی است .

تناوب لایه های آهکی و مارنی در منطقه مطالعه برای واحدهای تشکیلات الیکا و مقاومت متفاوت آنها در مقابل فرسایش سبب ایجاد صخره های بلند شده و این پدیده به ویژه در منطقه "چپ دره" قابل مشاهده است . بطوريکه عملاً دسترسی از "چپ دره" به سمت "دولت کده" غیر ممکن است و برای دسترسی به این منطقه باید از مسیر کاتالان استفاده گردد.

د: مطالعات پتروگرافی

۱- تشکیلات لاون

قدیمی ترین واحد چینه شناسی که در منطقه مورد مطالعه رخنمون دارد ماسه سنگهای قرمز رنگ لاون است . لایه های ماسه سنگی که در شمال گردنه گدوک به سمت ایستگاه دو گل در کنار جاده رخنمون دارند عمدتاً سیمانی سیلیسی داشته و لایه بندی متقاطع در مقطع لایه ها قابل مشاهده است . لایه بندی در این واحد ماسه سنگی متعدد است و ضخامت لایه ها از چند سانتیمتر تا چند متر تغییر می کند . در مقطع تهیه شده از سنگهای این واحد ، دانه های گلوکونی و فسفات که معرف محیط دریایی کم عمق است مشاهده می شود . مقطع نازک از چندین نمونه برداشت شده تهیه گردید و مسورد مطالعه میکروسکوپی قرار گرفت ، مطالعه میکروسکوپی نمونه ها مشخص نمود که ماسه سنگ لاون عمدتاً از قطعات کوارتز به ابعاد $350-400$ میکرون تشکیل می شود ، بعلاوه در آن مقداری فلدسپات

پلازیوکلاز و مقداری نیز میکروکلین وجود دارد. همایت در سیمان آن وهمچنین به صورت پراکنده درمتن آن وجود دارد و سبب رنگ قرمز این ماسه سنگ می‌شود. در سیمان آن همچنین سیلیس ریزدانه نیز مشخص گردید. با توجه به ترکیب، این ماسه سنگ را می‌توان نوعی ساب ارکوز

تا ارکوز محسوب نمود.



عکس ۴: ماسه سنگ لالون بلورهای کوارتز و بلور پلازیوکلاز و میکروکلین - اورتوز با سیمان سیلیسی- چرتی بزرگنمایی ۶۲/۵ برابر، نیکول عمود.

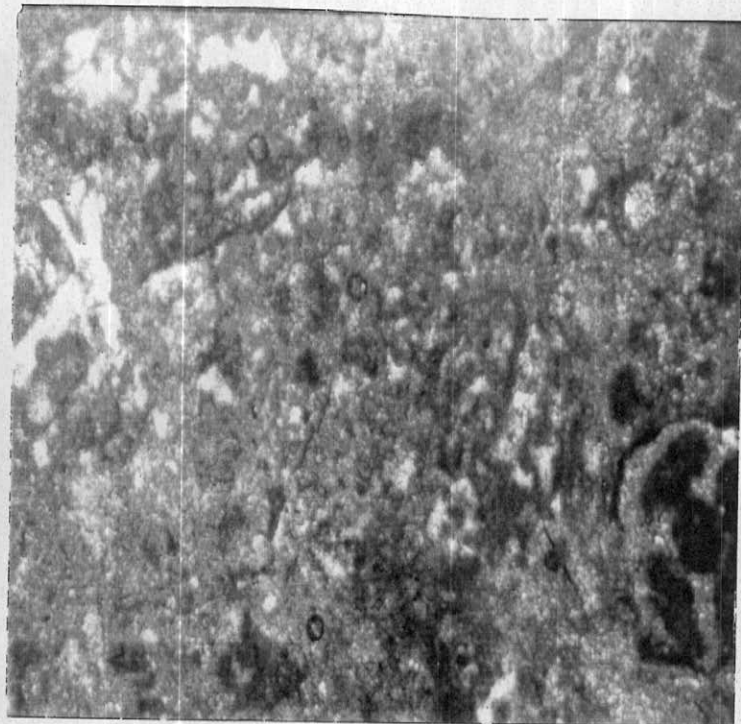
۲- تشکیلات مبارک

تشکیلات مبارک در منطقه موردمطالعه در بالای گردنه مشرف به ایستگاه دو گل رخمنون دارد. رسوبات این تشکیلات را لایه‌های آهکی با میان لایه‌های مارنی تشکیل می‌دهد. در برخی لایه‌ها آثار "براکیودپود" قابل تشخیص است. رنگ سنگ در حالت هوازده کرم رنگ و رنگ سطح تازه شکسته آن خاکستری تیره است.

سن این واحد را چینه شناسان کربونیفر زیرین اعلام کردند ، تعدادی از نمونه‌های برداشت شده مورد مطالعه میکروسکوپی قرار گرفت، آهک دولومیتی تشکیلات مبارک بافت میکریتی دارد و در آن درزه یا

شکاف زیادی وجود دارد که توسط بلورهای درشت کلسیت پر شده‌اند، علاوه‌با حاوی فسیل می‌باشد.

آهک مبارک بعضاً به صورت بیوکلاستی است.

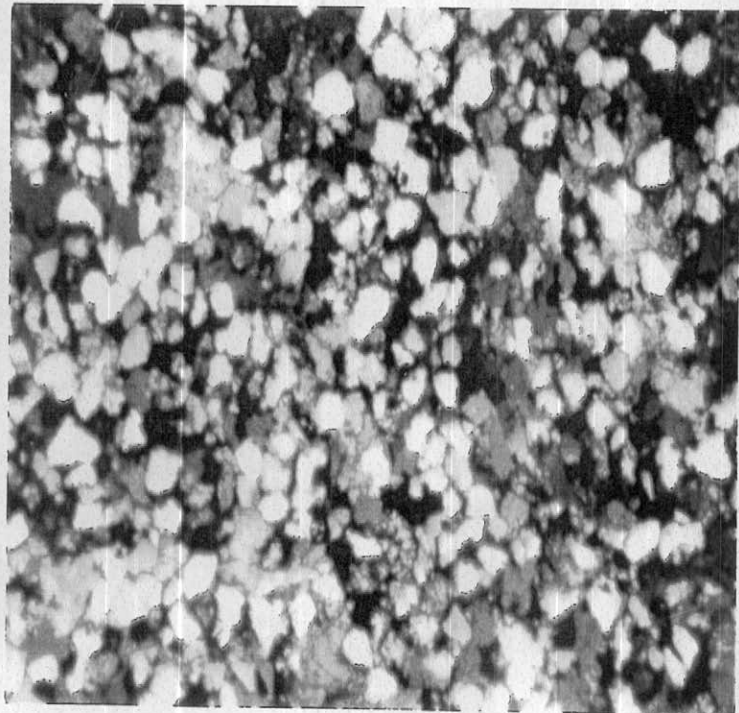


عکس ۵: آهک میکریتی با قطعات فسیل، بزرگنمایی ۶۲/۵ برابر- نیکول عمود.

۳- دوره پرمین

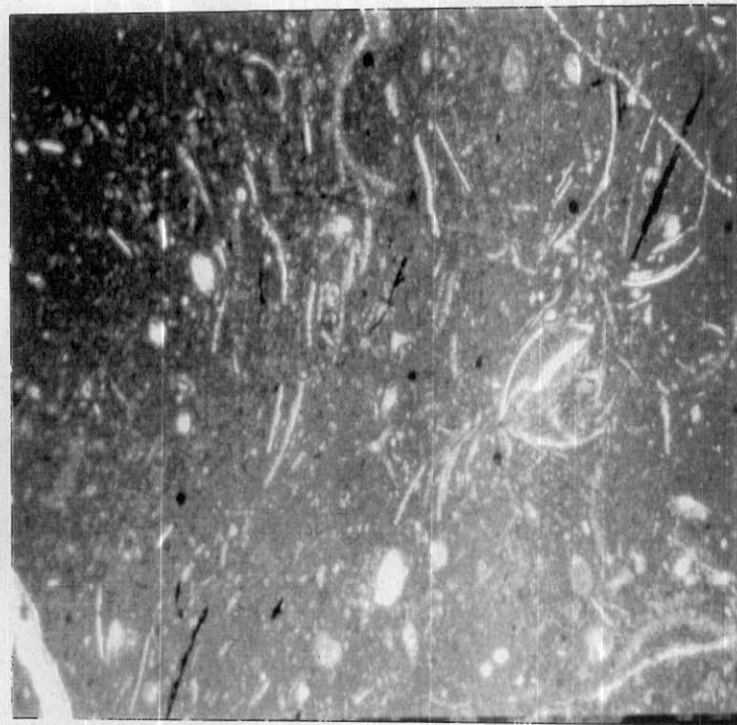
سنگهای دوره پرمین در منطقه البرز با توجه به تنوع سنگ شناختی به سه بخش تقسیم شده است که شامل تشکیلات درود با لایه‌های ماسه سنگی قرمز، تشکیلات روته با لایه‌های آهکی و تشکیلات نسن با تناوبی از شیلهای مارنی سیاه رنگ و آهکهای گرهک دار تیره است. درروی تشکیلات لایه‌های آهکی مشاهده می‌شود که مطالعه سنگ شناختی آن بیانگر هم ارزی آن با تشکیلات روته است. علاوه آثاری از فسیلهای مرجانی و "بریوزوا" در سطح سنگها قبل تشخیص است. مطالعه میکروسکوپی ماسه سنگ قرمز مشخص نمود که این نوعی ماسه سنگ ریزدانه بوده و قطر دانه‌های کوارتز ۱۰۰-۴۰ میکرون است، دارای سیمان سیلیسی-سریسیتی است مقدار آهک در سیمان آن اندک است و مقدار فلدسپات در آن بسیار کم می‌باشد. در سیمان و همچنین در خود متن سنگ دانه‌های ریز پراکنده

هماتیت وجود دارد که سبب ایجاد رنگ قرمز این ماسه سنگ شده است. این ماسه سنگ را می‌توان نوعی ماسه سنگ کوارتز آرنیتی مشخص نمود.

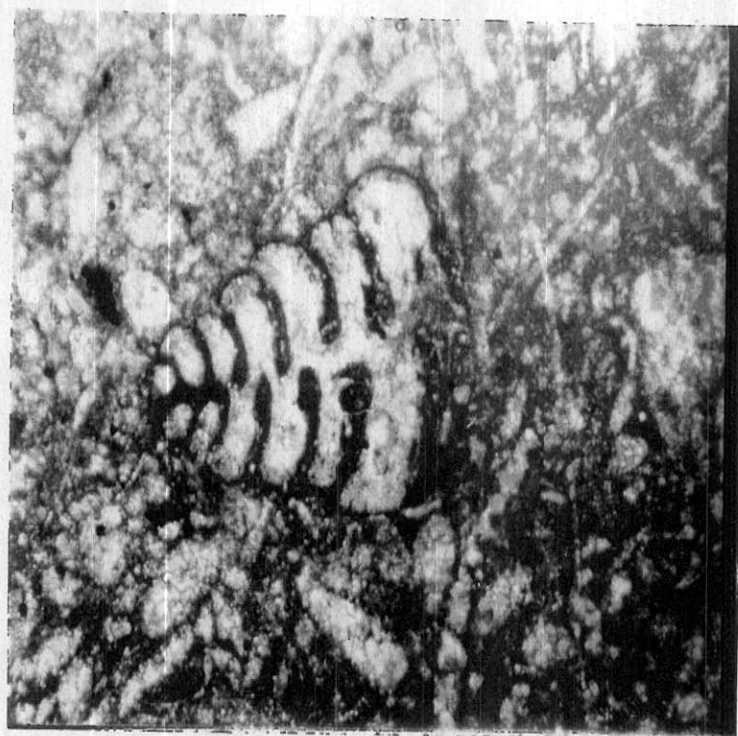


عکس ۶: ماسه سنگ با بلورهای کوارتز و کانه (کانی تیره یا سیاه) با سیمان سیلیسی، سریسیتی-بزرگنمایی ۶۲/۵ برابر، نیکول عمود.

تشکیلات روته با لایه آهکی به رنگ کرم تا کرم قهوه‌ای است و در قسمت فوقانی این لایه بین لایه لاتریتی وجود دارد، علاوه این سازند از آهک خاکستری تا تیره که در آن تناوبی از لایه‌های نازک مارنی وجود دارد نیز تشکیل می‌گردد و حاوی فسیل فراوان است. "کرینوئید" و قطعات باقیمانده "بریوزوا" (Bryozoan) و غشاء فسیلی فراوان در آن وجود دارد. در جمع می‌توان آن را نوعی آهک بیوکلاست محسوب نمود.



عکس ۷: آهک روته بیوکلاست با کرینوئید- غشاء فسیلی، بزرگنمایی ۳۹ برابر، نیکول عمود



عکس ۸: آهک بیوکلاست با قطعات فسیل و قطعه‌ای شکسته از فسیل "بریوزا" بزرگنمایی ۶۲/۵ برابر- نیکول عمود

۴- واحد دیابازی

دیابازها که به رنگ سبز می‌باشند بیشتر در واحدهای زاگون-لalon و مبارک در منطقه قراردارند که سن آنها را نبوی (۱۳۵۳) پرمین پسین نسبت داده است. غالب این سنگها در منطقه بصورت دایک یا واحدهای آذرین بحالت سیل دیده می‌شوند. سنگ مجاور دیابازها تا حدودی تحت تأثیر دمای توده آذرین واقع شده است که از خصوصیات باز آن رنگ سفید سنگهای رسوی مجاور واحد دیابازی نسبت به قسمتهای دیگر سنگهای رسوی است.

دیابازها دارای بافت اوفیتیک بوده و کانی‌های قابل مشاهده در آنها پلاژیوکلاز، پیروکسن (بیشتر از نوع اوزیت) و گاهی کانی‌هایی مانند کوارتز و آلبیت است. کلریت، از کانیهای دگرسانی، همواره از کانیهای موجود در سنگ است. نبود این دایکها در سنگهای تشکیلات دوران مژوزوئیک تأییدی بر قدیمی‌تر بودن آنها از نظر سنی نسبت به سنگهای ترباس است.

۵- دوران مژوزوئیک

نحویاً تمامی منطقه موردمطالعه را تشکیلات دوره‌های مربوط به دوران مژوزوئیک تشکیل می‌دهد و همانطور که در نقشه زمین‌شناسی منطقه مشاهده می‌شود واحدهای مختلفی از تشکیلات مختلف دوره‌های ترباس، ژوراسیک و کرتاسه در منطقه رخنمون دارند.

۶- دوره ترباس (تشکیلات الیکا)

دوره ترباس در منطقه با توجه به رخنمون سنگهای مختلف آن قابل تقسیم به واحدهای مختلفی است که بخش زیرین آن با علامت TR1 و بخش میانی با علامت TR2 و بخش فوقانی آن با علامت TR3 به نام الیکای فوقانی یا عضو ورسک از یکدیگر جدا شده‌اند. ویژگی اصلی سنگ‌شناسی تشکیلات الیکا را یاسینی (۱۳۴۸) تحت عنوان «خصوصیات کلی زمین‌شناسی البرز در ناحیه تهران» از قاعده به سمت بالا به ترتیب زیر توصیف کرده است:

- ۱۱- دولومیت‌های دلایل لایه‌بندی ضخیم با رنگ زرد آجری به ضخامت تقریبی ۲۰۰ متر.
- ۱۰- آهک‌های نازک لایه با ضخامت تقریبی ۱۰ متر
- ۹- آهک قرمز با فسیل شکمپایان که علت رنگ قرمز آن وجود مقداری هماتیت در سنگ و ضخامت آن در حدود یک متر است.
- ۸- آهک مارنی با میان لایه‌های رسی به ضخامت تقریبی ۱۰ متر
- ۷- آهک‌های متبلور دانه‌ریز به رنگ زرد با حدود دو متر ضخامت
- ۶- آهک‌های حاوی آثار کرمی شکل به ضخامت تقریبی ۱۵ متر
- ۵- آهک‌های خاکستری تیره به ضخامت ۱۵ متر
- ۴- نفوذی‌های سیل مانند بازیک به ضخامت حدود ۴ متر
- ۳- آهک دولومیتی متبلور، ریزدانه به رنگ زرد متمایل به خاکستری به ضخامت ۳ متر
- ۲- آهک‌های ورمیکوله خاکستری متمایل به سبز به ضخامت ۱۵ متر
- ۱- آهک با بخش‌های اولیتی به ضخامت تقریبی ۲۰ متر

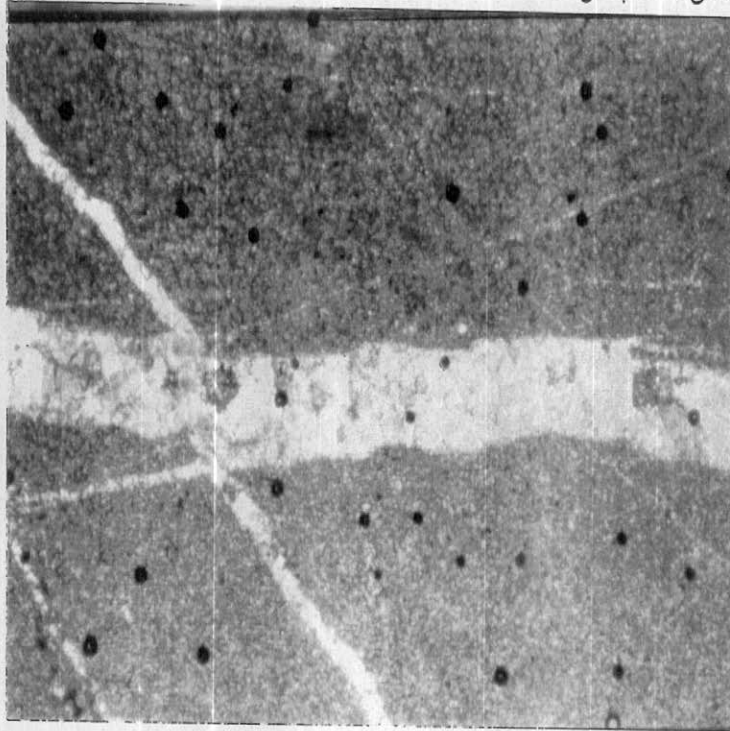
اگرچه قسمتهای متنوعی از واحدهای ذکر شده در تشکیلات الیکا در منطقه مورد مطالعه قابل تشخیص است ولی تفکیک آنها به علت عملکرد گسلها و لغزه‌های موجود به وضوح قابل انجام نیست، بهمین مناسبت همانطور که قبل از ذکر شد واحدهای وابسته به الیکا در منطقه می‌توانند بطور کلی به سه بخش زیرین (TR1)، میانی (TR2) و بالایی یا عضو ورسک (TR3) تقسیم گردد.

۷- واحد الیکایی زیرین (TR1)

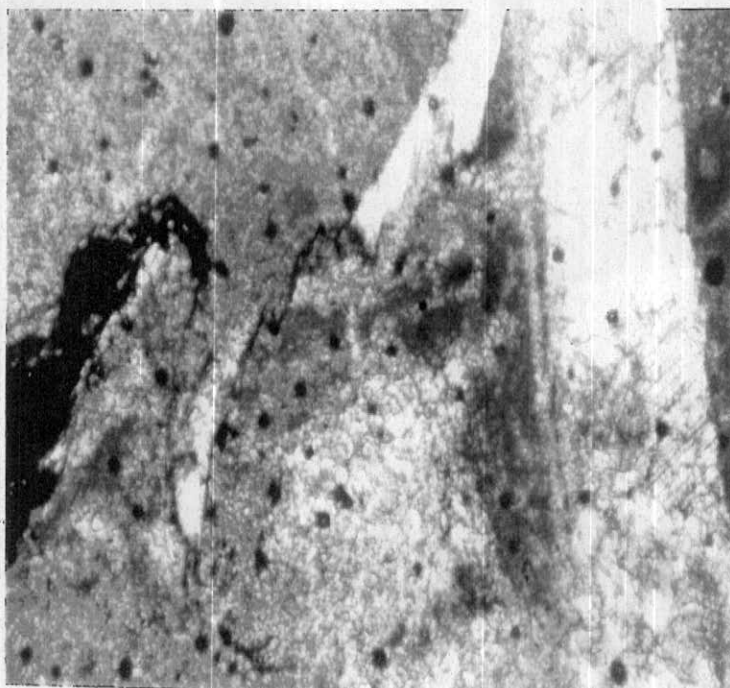
پائین‌ترین واحد الیکا در منطقه ورسک، سنگ‌های آهکی ورمیکوله می‌باشد که در حقیقت در قاعده تریاس و روی آهک‌های روته قرار گرفته است، رنگ هوازده این واحد سفید مایل به زرد است و در سطح آن آثار کرمی شکل به رنگ خاکستری مشاهده می‌شود. لایه‌بندی در این واحد بسیار خوب و مشخص است و ضخامت لایه‌ها بین چندسانیمتر تا یک متر متغیر است. مطالعه میکروسکوپی نمونه‌های این

واحد بافت میکریتی نشان می‌دهد که عموماً فاقد فسیل می‌باشد. علاوه دربخش میکریتی در درون درزهای سنگ تشکیل کلسیت مشاهده می‌شود. لکه‌های قهوه‌ای رنگ گوتیت بعضاً در درزهای

سنگ و یاد رمتن سنگ پخش است.



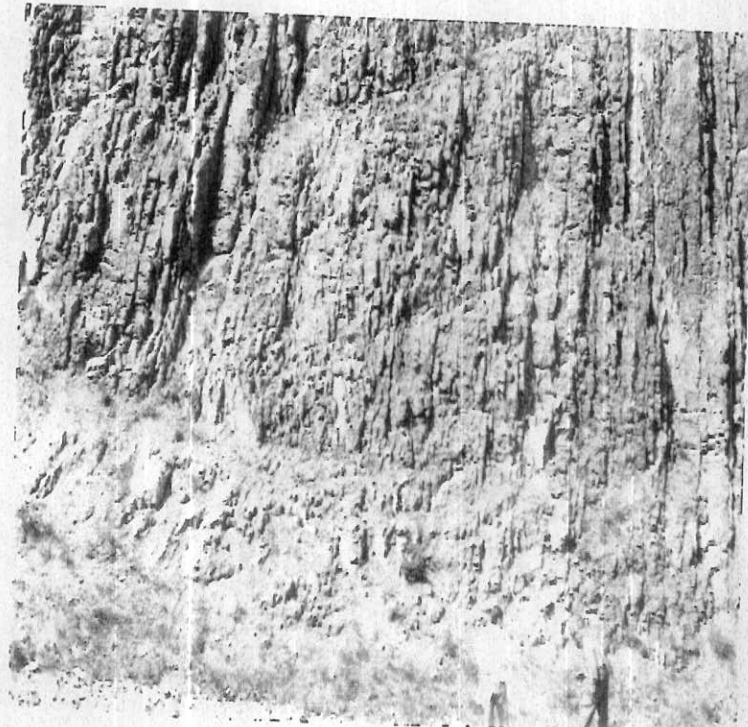
عکس ۹: آهک میکریتی با پرشدگی درزه توسط کلسیت، بزرگنمایی ۳۹ برابر، نیکول عمود.



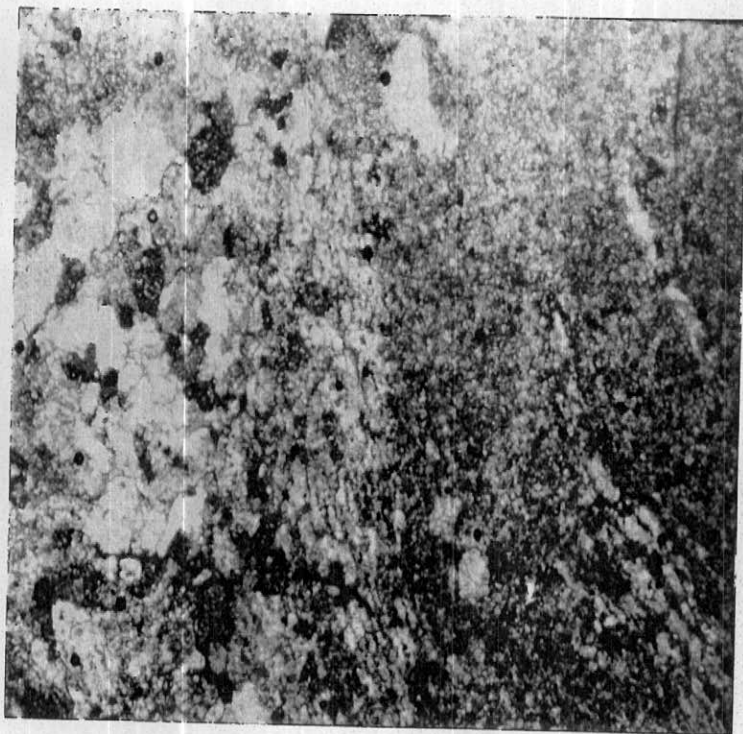
تصویر ۱۰: بافت میکریتی آهک الیکای تحتانی با مقداری گوتیت و کلسیت به صورت پرشدگی شکاف یا درزه، بزرگنمایی ۳۹ برابر، نیکول عمود.

۸- تشکیلات الیکای میانی (TR2)

الیکای میانی بخش عمده‌ای از تشکیلات الیکا در منطقه مورد مطالعه را تشکیل می‌دهد. ضخامت این واحد در قسمتهای مختلف کم و بیش تغییر می‌کند. از نظر سنگ شناختی این واحد از دولومیت و آهکهای دولومیتی بالایه‌بندی خوب تشکیل شده است. در طول منطقه به ویژه در منطقه "چپ دره" واحد الیکای میانی بصورت لایه‌های شیب دار که گاهی زاویه شیب آن نزدیک به قائم است مشاهده می‌شود. این واحد در منطقه مورد مطالعه غالباً صخره‌های مرتفع را تشکیل داده است و در بین لایه‌ها نیز میان لایه‌هایی از مارن وجود دارد که در شکل کلی تناوی از لایه‌های سخت و سست را نشان می‌دهد. مطالعه میکروسکوپی مقاطع سنگ آهک الیکای میانی، بافت ریزدانه و میکریتی آن را مشخص نمود. در بخش‌هایی از سنگ و در درزه سنگ تشکیل کلسیت درشت دانه مشاهده شده است که عواملاً فاقد فسیل می‌باشد.



تصویر ۱۱ : تشکیلات الیکای میانی دارای شیب قائم



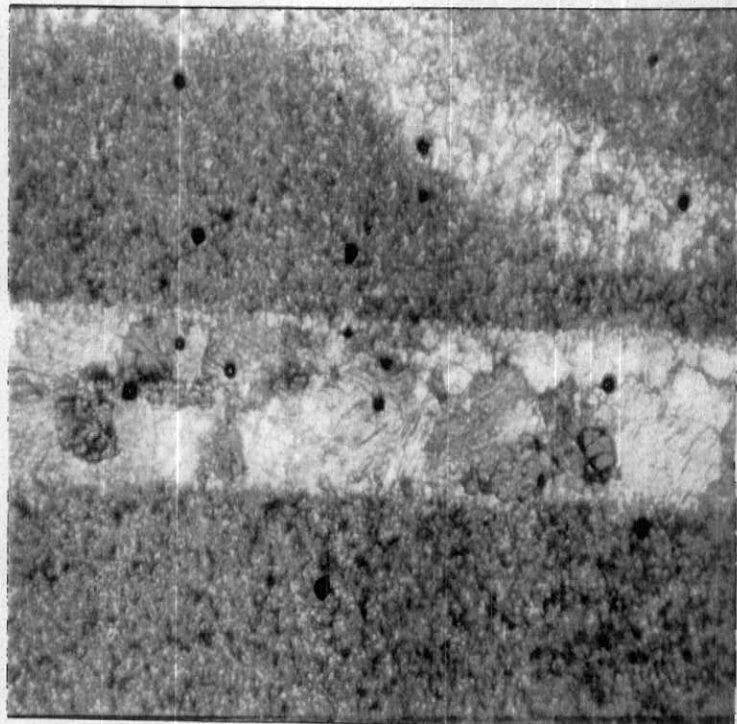
تصویر ۱۲: آهک میکریتی با پرشدگی درزه توسط کلسیت، بزرگنمایی ۶۲/۵ برابر، نیکول عمود

۹- تشکیلات الیکای فوقانی (TR3)- عضو ورسک

عضو ورسک، واحد آهکی با رنگ روشن و میان لایه‌های چرت در قسمت فوقانی است. لایه‌بندی آهکها بصورت ضخیم بوده و در برخی قسمتها مانند منطقه زیر پل ورسک، لایه‌بندی بسیار ضخیمی از این واحد مشاهده می‌شود، سن این واحد به تریاس پسین نسبت داده می‌شود. واحد ورسک با ضخامتی کم و بیش یکسان، صخره‌های منطقه بویژه در منطقه "چپ دره" و منطقه ورسک را بوجود آورده است. در قسمت فوقانی الیکای فوقانی، آهک کریستالین به رنگ سفید و سفید متمایل به کرم وجود دارد. در مطالعه میکروسکوپی مقاطع نمونه‌های این تشکیلات در بخش‌های تحتانی این واحد، بافت میکریتی با بخش‌های اسپاریتی قابل تشخیص است. در درزه یا شکاف کلسیتی بعضًا "تشکیل فلوریت" به صورت دانه‌های پراکنده مشاهده گردید. کانی‌سازی فلوریت عموماً در این ناحیه مرتبط با این واحد می‌باشد.



تصویر ۱۳: آهک میکریتی، بخش کلسیت درشت بلوری ، بزرگنمایی ۶۲/۵ برابر- نیکول عمود



تصویر ۱۴: بافت میکریتی در درون درزه و شکاف ، تشکیل کلسیت همراه با تشکیل فلوریت ،
بزرگنمایی ۶۲/۵ برابر- نیکول عمود

۱۰- دوره ژوارسیک

سنگهای دوره ژوارسیک البرز را چینه شناسان شامل سه بخش شمشک، دلیچای و لار می‌دانند که از نظر سنگ شناختی و محیط رسوبی در شرایط متفاوت شکل گرفته‌اند.

۱۱- تشکیلات شمشک:

تشکیلات شمشک در منطقه مورد مطالعه رامجموعه‌ای از ماسه‌سنگها، سیلیستون، شیل و گلسنگ (Claystone) تشکیل می‌دهد. در مقطع تیپ تشکیلات شمشک، چهار بخش را تشخیص داده‌اند که

عبارتند از:

۱- بخش ماسه سنگ زیرین

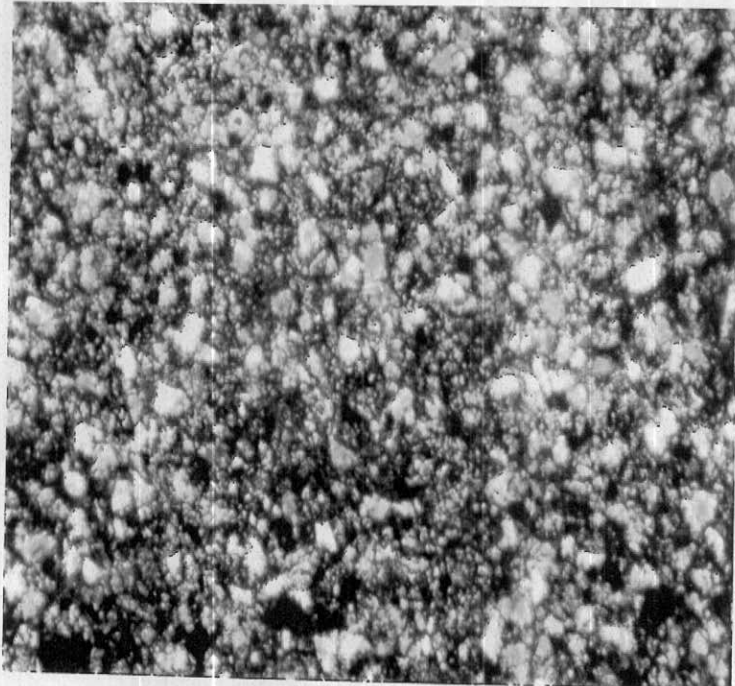
۲- بخش زغال دار زیرین

۳- بخش ماسه سنگ بالایی

۴- بخش زغال دار بالایی

در تشکیلات زغال دار غالباً پادیواره از جنس شیل و فرا دیواره، لایه‌های زغالی ماسه سنگی است.

تشکیلات شمشک در منطقه مورد مطالعه بخش وسیعی را تشکیل می‌دهد و غالباً دره‌های اصلی منطقه با توجه به سستی لایه‌های شمشک در این واحد تشکیل شده‌اند. علاوه در این واحد آثاری از گیاهان فسیل و همچنین رگه‌های زغالی مشاهده می‌شود. وجود ذرات و رگه‌های پیریتی و هوازدگی آنها نیز سبب بوجود آمدن اکسید آهن زرد و قهوه‌ای در سطح این سنگها شده است و در سایر بخش‌ها رنگ این واحد سیاه می‌باشد.



تصویر ۱۵: شیل شمشک عمدتاً از کوارتز تشکیل می‌شود، همراه با مقداری کلریت-سریسیت و بزرگنمایی ۶۲/۵ برابر، نیکول عمود.

۱۲- تشکیلات دلیچای

قطعه اصلی این تشکیلات در کناره شرقی رودخانه دلیچای در مسیر جاده قدیم دماوند به فیروزکوه و در مشرق زرین کوه قرار دارد. این تشکیلات در منطقه از آهکهای مارنی و ماسه‌ای با لایه‌بندی نسبتاً منظم به رنگ خاکستری و در صورت هوازده شدن، کرم رنگ با میان لایه‌هایی از مارن قابل مشاهده است. در برخی قسمتهای ناحیه مانند منطقه نزدیک به هلی چشم و همچنین در کوه سر، بخش‌هایی از آهکها حالت اولیتی دارند و رنگ آنها خاکستری است، گاهی در این سنگها کنکرسیونهای لیمونیتی مشاهده می‌شود. تشکیلات دلیچای در منطقه بطور هم شیب روی تشکیلات شمشک قرار گرفته است، آثار فسیل آمونیت در واحدهای تشکیلات دلیچای قابل مشاهده است.

۱۳- تشکیلات لار

قطعه اصلی تشکیلات در شمال خاوری گرمابدر در دره لار (غرب دماوند) واقع است. این تشکیلات در منطقه شامل آهکهای توده‌ای به رنگ خاکستری روشن و باندهای سفید یا کرم رنگ و چرت است. آهکهای لار بطور هم شیب روی تشکیلات دلیچای قرار گرفته است. متراکم بودن آهکها و وجود میان

لایه‌های چرتی سبب مقاوم بودن تشکیلات لار در منطقه شده و در نتیجه این واحد همراه با واحد تیزکوه (کرتاسه) قله‌های اصلی کوهستانهای منطقه را تشکیل داده‌اند. در بخش فوقانی آهکهای لار در منطقه مورد مطالعه، لایه‌های زیپس و واحدها ملافیری که زیر تیزه کوه قرار گرفته‌اند مشاهده می‌شود.

۱۴- دوره گرتاسه

در ناحیه‌البرز تشکیلات کرتاسه شامل دو بخش کرتاسه زیرین و کرتاسه بالایی است. که کرتاسه زیر را به نام تشکیلات تیزکوه معرفی کرده‌اند و تنها این واحد در منطقه مورد مطالعه مشاهده می‌شود.

۱۵- تشکیلات تیزکوه

مقطع اصلی تشکیلات تیزکوه در غرب دهکده پلور (جنوب غرب دماوند) واقع است. از نظر سنگ شناختی، این تشکیلات در منطقه شامل آهکهای تخریبی زرد رنگ با میان لایه‌هایی از آهک دانه ریز متراکم است. این واحد بر روی تشکیلات لار قرار گرفته و قله‌های کوهستانهای منطقه مورد مطالعه را تشکیل داده‌اند.

۱۶- رسوبات آبرفتی عهد حاضر

به غیر از آبرفت‌های عهد حاضر که در کف رودخانه‌های خشک و آبدار منطقه مشاهده می‌شود، بخش مرکزی منطقه مورد مطالعه در جنوب کوه وره سر در محدوده روستای دولت کده بسمت کاتلان مجموعه‌ای از رسوبات آواری هتروژن، دره وسیع موجود در شیلهای ژوراسیک را پوشانیده است. در این رسوبات آبرفتی و واریزه‌ای قطعات سنگ گاهی به قطر یک متر و بیشتر همراه با رسوبات تخریبی با اندازه‌های مختلف، وسعتی بالغ بر یک کیلومتر مربع را پوشانیده‌اند. عرض این بخش آبرفتی بین ۳۰۰ تا ۵۰۰ متر و طول بیش از $2/5$ کیلومتر در محدوده مطالعه شده است.

فصل دوم: نمونه برداری و آنالیز نمونه ها

الف: طراحی شبکه نمونه برداری

طراحی شبکه نمونه برداری پس از بازدید از منطقه مورد مطالعه و با توجه به نقشه توپوگرافی و عکس های هوایی منطقه انجام گرفته و بر مبنای آن از آبراهه های اصلی در فواصل ۵۰۰ متر و در محل اتصال آبراهه کوچک با آبراهه اصلی نیز نمونه برداری گردید. آبراهه های فرعی در صورتی که امکان برداشت نمونه از نظر توپوگرافی وجود داشت نیز نمونه برداری گردید. نمونه برداری در دو مرحله انجام گردید نمونه برداری اول طی سه هفته و به کمک چهار نفر از همکاران انجام گردید و طی آن ۶۶ نمونه روشیمیابی آبراهه ای و ۱۵ نمونه کانی سنگین برداشت گردید. نمونه های روشیمیابی با علامت VGD شروع می شود و عدد بعد از آن نشان دهنده شماره نمونه است. نمونه های کانی سنگین با علامت VGH شروع می شود و عدد بعد از آن نشان دهنده شماره نمونه است. نمونه های روشیمیابی به وزن ۲/۵ کیلوگرم برداشت می گردید و با استفاده از سرند از جزء ۸۰-۲۰ مش رسوبات رود خانه ای یا آبراهه ای بدست آمده جدا شده و از آن نمونه ای به وزن ۱۰۰-۲۰۰ گرم جهت آنالیز تهیه گردیده است. توجیه در محل و تعیین محل دقیق برداشت نمونه با استفاده از نقشه توپوگرافی و عکس های هوایی با مقیاس ۲۰،۰۰۰ : ۱ انجام گرفته است. نمونه برداری کانی سنگین پس از مشخص نمودن نقاط نمونه برداری در مرکز ثقل آبراهه ای با رعایت محل دقیق و عمق نمونه برداری، نمونه ها ترجیحاً از سه تا پنج نقطه در عرض آبراهه ها (بسته به عرض آبراهه ها) و با عمق حدود ۱۰-۲۰ سانتی متر برداشت گردید.

ب: آنالیز نمونه ها

نمونه های برداشت شده پس از طی مراحل مختلف آماده سازی جهت آنالیز شیمیابی به آزمایشگاه ارسال گردید. آنالیز شیمیابی عناصر به روش فلورسانس اشعه ایکس (XRF) انجام گرفت، عناصری که با روش XRF اندازه گیری شده اند عبارتند از :

اکسیدهای اصلی و فرعی سازنده سنگ :

SiO₂ , Al₂O₃ , CaO , Fe₂O₃ , MnO , TiO₂ , P₂O₅ , SO₃ , MgO , K₂O , Na₂O عناصر کمیاب مانند

در آنالیز به روش XRF نمونه ها پس از پودر شدن تا

۲۰۰ مش از طریق اختلاط با چسب مناسب پرس شده و به صورت قرص همگن در می آید . در آنالیز

نمونه ها کالیبر اسیون از طریق بکار گیری استانداردهای بین المللی انجام بذیرفته و برای هر عنصر

منحنی کالیبر اسیون رسم گردیده است . همانطور که قبل اذکر گردید در مرحله اول ۶۶ نمونه مورد

تجزیه قرار گرفت و نتایج آن در جدول شماره ۳ آورده شده است . در نهایت در مرحله دوم تعداد ۲۰

نمونه مورد تجزیه قرار گرفت و نتایج آن در جدول ۴ آورده شده است . تعداد ۱۵ نمونه از نمونه هایی

که در مرحله اول برداشت شده بودند و دارای Al₂O₃ بالا و یا MgO بالای بودند جهت مطالعه از نظر

ترکیب کانی شناسی و همچنین وجود کانی سازی های احتمالی مرتبط به تالک که معرف آن می

تواند MgO بالا باشد و یا دیاسپور یا بوهمیت ، وجود Al₂O₃ بالا را می تواند مدلل کند . بهر حال برای

این کار پودر کانی در حد زیر ۴۰ میکرون خرد شده و پس از آن به صورت قرص در آورده و بوسیله

دستگاه پراش اشعه X نمونه یا کانیهای متشكله نمونه مشخص گردید . از بین نمونه هایی که دارای

Al₂O₃ بالای ۱۶٪/بودند ، نمونه های VGD-58 , VGD-57 , VGD-56 , VGD-52 , VGD-38 , VGD-21

جهت VGD-b4 , VGD-63 , VGD-62 , VGD-61 , VGD-60 , VGD-59 نمونه دیگر VGD-20 , VGD-12

MgO بالا بودن VGD-31 , VGD-29 , VGD-27 , VGD-26 , VGD-13 نمونه های Al₂O₃ و نمونه های

(MgO > ۵٪) مورد تجزیه دیفراکتومتری قرار گرفت و طیف حاصله مورد تفسیر قرار گرفت و در

جدول ۳ ترکیب نمونه ها با توجه به ترتیب مقداری آنها آورده شده است .

جدول ۱ - مقادیر خام اکسیدهای نزونهای زئوپیمانی پرداشت اول

| Code | Na ₂ O | MgO | Al ₂ O ₃ | SiO ₂ | P ₂ O ₅ | K ₂ O | CaO | TiO ₂ | V ₂ O ₅ | Cr ₂ O ₃ | MnO | Fe ₂ O ₃ | CaO ₄ | NO |
|--------|-------------------|-------|--------------------------------|------------------|-------------------------------|------------------|--------|------------------|-------------------------------|--------------------------------|-------|--------------------------------|------------------|-------|
| VGD-1 | 0.790 | 1.970 | 13.600 | 54.900 | 0.126 | 1.660 | 10.800 | 0.870 | 0.015 | 0.018 | 0.140 | 4.800 | 0.005 | 0.005 |
| VGD-2 | 0.760 | 1.950 | 12.400 | 52.200 | 0.130 | 1.560 | 13.900 | 0.920 | 0.019 | 0.018 | 0.126 | 4.450 | 0.005 | 0.005 |
| VGD-3 | 0.680 | 1.940 | 14.200 | 52.900 | 0.118 | 1.790 | 10.800 | 0.860 | 0.019 | 0.014 | 0.121 | 4.600 | 0.004 | 0.005 |
| VGD-4 | 0.720 | 1.940 | 13.800 | 52.000 | 0.122 | 1.660 | 11.400 | 0.870 | 0.020 | 0.016 | 0.127 | 4.600 | 0.004 | 0.005 |
| VGD-5 | 0.880 | 1.940 | 14.300 | 56.300 | 0.180 | 1.810 | 8.400 | 0.860 | 0.021 | 0.016 | 0.170 | 4.900 | 0.004 | 0.005 |
| VGD-6 | 0.870 | 1.950 | 12.800 | 58.000 | 0.140 | 1.590 | 9.600 | 0.930 | 0.020 | 0.021 | 0.125 | 4.600 | 0.005 | 0.005 |
| VGD-7 | 0.420 | 1.740 | 12.300 | 44.400 | 0.129 | 1.650 | 14.700 | 0.750 | 0.020 | 0.017 | 0.096 | 4.700 | 0.003 | 0.005 |
| VGD-8 | 0.790 | 1.980 | 15.600 | 59.400 | 0.130 | 1.860 | 5.600 | 1.070 | 0.021 | 0.020 | 0.140 | 5.200 | 0.004 | 0.006 |
| VGD-9 | 0.720 | 3.390 | 15.900 | 49.200 | 0.190 | 2.320 | 5.600 | 1.020 | 0.027 | 0.030 | 0.140 | 7.000 | 0.007 | 0.015 |
| VGD-10 | 0.590 | 2.790 | 15.700 | 50.400 | 0.103 | 1.540 | 8.200 | 1.160 | 0.027 | 0.019 | 0.083 | 6.600 | 0.006 | 0.006 |
| VGD-11 | 0.580 | 2.320 | 14.900 | 49.200 | 0.122 | 1.590 | 9.900 | 0.990 | 0.023 | 0.023 | 0.111 | 6.000 | 0.005 | 0.007 |
| VGD-12 | 0.640 | 2.960 | 16.100 | 50.100 | 0.101 | 2.250 | 9.600 | 0.950 | 0.028 | 0.025 | 0.113 | 6.700 | 0.006 | 0.012 |
| VGD-13 | 0.350 | 6.900 | 7.800 | 23.300 | 0.066 | 0.760 | 24.100 | 0.420 | 0.012 | 0.007 | 0.042 | 2.490 | 0.002 | 0.003 |
| VGD-14 | 0.380 | 2.980 | 14.200 | 34.200 | 0.140 | 1.700 | 13.500 | 1.110 | 0.025 | -0.037 | 0.087 | 6.700 | 0.007 | 0.019 |
| VGD-15 | 0.580 | 3.650 | 11.600 | 37.400 | 0.089 | 1.540 | 16.900 | 0.600 | 0.018 | 0.014 | 0.084 | 4.130 | 0.004 | 0.006 |
| VGD-16 | 0.550 | 4.310 | 13.700 | 43.700 | 0.072 | 1.970 | 10.400 | 0.680 | 0.022 | 0.014 | 0.102 | 4.900 | 0.004 | 0.007 |
| VGD-17 | 0.640 | 3.670 | 14.100 | 46.400 | 0.103 | 1.820 | 9.200 | 0.720 | 0.022 | 0.019 | 0.109 | 5.400 | 0.005 | 0.008 |
| VGD-18 | 0.140 | 3.610 | 2.720 | 9.000 | 0.036 | 0.430 | 42.500 | 0.140 | 0.007 | 0.004 | 0.022 | 0.940 | <2e | 0.001 |
| VGD-19 | 0.730 | 2.230 | 14.800 | 53.400 | 0.130 | 1.690 | 9.500 | 0.960 | 0.020 | 0.020 | 0.120 | 5.300 | 0.004 | 0.005 |
| VGD-20 | 0.750 | 2.030 | 17.900 | 58.700 | 0.140 | 1.920 | 3.400 | 1.180 | 0.026 | 0.018 | 0.109 | 5.700 | 0.005 | 0.006 |
| VGD-21 | 0.360 | 1.760 | 17.300 | 48.300 | 0.160 | 1.080 | 6.500 | 1.960 | 0.037 | 0.025 | 0.098 | 7.700 | 0.006 | 0.006 |
| VGD-22 | 0.520 | 2.670 | 14.600 | 40.800 | 0.140 | 1.400 | 14.300 | 1.140 | 0.027 | 0.025 | 0.116 | 6.300 | 0.005 | 0.008 |
| VGD-23 | 0.840 | 2.320 | 15.500 | 48.600 | 0.124 | 1.670 | 10.600 | 1.010 | 0.024 | 0.024 | 0.150 | 6.100 | 0.005 | 0.007 |
| VGD-24 | 0.840 | 2.360 | 15.700 | 49.300 | 0.130 | 1.730 | 9.900 | 1.040 | 0.024 | 0.020 | 0.150 | 6.000 | 0.006 | 0.007 |
| VGD-25 | 0.720 | 2.790 | 9.000 | 29.700 | 0.095 | 1.720 | 25.800 | 0.510 | 0.011 | 0.011 | 0.049 | 3.680 | 0.003 | 0.003 |
| VGD-26 | 0.220 | 5.500 | 4.290 | 14.800 | 0.055 | 0.700 | 36.000 | 0.260 | 0.009 | 0.006 | 0.036 | 1.530 | 0.001 | 0.002 |
| VGD-27 | 0.210 | 5.700 | 4.190 | 14.300 | 0.065 | 0.680 | 36.700 | 0.250 | 0.010 | 0.007 | 0.030 | 1.450 | 0.002 | 0.002 |
| VGD-28 | 0.180 | 4.360 | 3.190 | 11.500 | 0.055 | 0.560 | 40.000 | 0.180 | 0.007 | 0.009 | 0.023 | 1.060 | 0.001 | 0.001 |
| VGD-29 | 0.140 | 7.000 | 1.990 | 6.600 | 0.040 | 0.320 | 40.800 | 0.112 | 0.005 | 0.004 | 0.015 | 0.700 | <2e | 0.001 |
| VGD-30 | 0.270 | 1.740 | 5.300 | 20.100 | 0.106 | 1.000 | 35.500 | 0.280 | 0.007 | 0.014 | 0.055 | 1.720 | 0.002 | 0.003 |
| VGD-31 | 0.140 | 9.600 | 2.440 | 8.300 | 0.072 | 0.400 | 34.500 | 0.117 | 0.007 | 0.004 | 0.018 | 0.740 | <2e | 0.001 |
| VGD-32 | 0.290 | 1.670 | 6.000 | 22.800 | 0.096 | 1.010 | 34.100 | 0.300 | 0.008 | 0.012 | 0.055 | 1.670 | 0.002 | 0.003 |
| VGD-33 | 0.320 | 3.240 | 15.900 | 42.000 | 0.140 | 1.180 | 9.500 | 1.420 | 0.031 | 0.019 | 0.105 | 5.800 | 0.005 | 0.006 |
| VGD-34 | 0.330 | 1.520 | 7.800 | 28.200 | 0.124 | 1.190 | 29.900 | 0.510 | 0.012 | 0.009 | 0.053 | 2.380 | 0.002 | 0.003 |
| VGD-35 | 0.750 | 2.570 | 15.800 | 56.200 | 0.140 | 1.720 | 6.700 | 0.960 | 0.021 | 0.022 | 0.126 | 5.300 | 0.005 | 0.005 |
| VGD-36 | 1.020 | 3.460 | 15.000 | 47.200 | 0.104 | 2.530 | 9.300 | 0.760 | 0.022 | 0.015 | 0.119 | 5.400 | 0.005 | 0.006 |
| VGD-37 | 0.730 | 1.940 | 12.900 | 52.700 | 0.150 | 1.820 | 14.100 | 0.860 | 0.018 | 0.018 | 0.130 | 4.600 | 0.004 | 0.006 |
| VGD-38 | 0.560 | 0.750 | 0.510 | 2.310 | 0.021 | 0.099 | 47.800 | 0.255 | <2e | <2e | 0.170 | 2.530 | 0.001 | 0.001 |
| VGD-39 | 1.160 | 2.140 | 16.300 | 64.900 | 0.150 | 1.920 | 2.020 | 1.220 | 0.021 | 0.023 | 0.150 | 5.500 | 0.005 | 0.005 |
| VGD-40 | 1.260 | 3.300 | 15.200 | 60.700 | 0.160 | 2.840 | 5.100 | 0.720 | 0.017 | 0.017 | 0.079 | 4.240 | 0.004 | 0.004 |
| VGD-41 | 0.810 | 2.170 | 14.300 | 55.200 | 0.130 | 1.870 | 8.100 | 1.100 | 0.023 | 0.023 | 0.074 | 5.200 | 0.005 | 0.006 |
| VGD-42 | 0.750 | 1.780 | 11.800 | 53.100 | 0.150 | 1.660 | 12.700 | 0.750 | 0.016 | 0.018 | 0.150 | 4.180 | 0.003 | 0.005 |
| VGD-43 | 0.750 | 1.790 | 11.500 | 52.800 | 0.160 | 1.590 | 13.500 | 0.770 | 0.016 | 0.018 | 0.120 | 4.130 | 0.004 | 0.005 |
| VGD-44 | 0.850 | 2.910 | 11.200 | 61.400 | 0.160 | 1.390 | 13.300 | 0.900 | 0.016 | 0.013 | 0.140 | 4.240 | 0.004 | 0.005 |
| VGD-45 | 0.800 | 2.950 | 11.600 | 52.900 | 0.160 | 1.440 | 13.500 | 0.910 | 0.017 | 0.013 | 0.140 | 0.140 | 0.004 | 0.004 |
| VGD-46 | 0.660 | 1.910 | 11.500 | 51.900 | 0.160 | 1.660 | 13.900 | 0.770 | 0.018 | 0.016 | 0.122 | 4.060 | 0.004 | 0.005 |
| VGD-47 | 0.770 | 1.890 | 13.700 | 55.100 | 0.140 | 1.670 | 9.900 | 1.030 | 0.022 | 0.017 | 0.115 | 4.800 | 0.004 | 0.005 |
| VGD-48 | 0.860 | 1.940 | 12.100 | 22.800 | 0.140 | 1.560 | 11.500 | 0.830 | 0.017 | 0.017 | 0.130 | 4.390 | 0.004 | 0.005 |
| VGD-49 | 0.710 | 1.750 | 13.500 | 52.500 | 0.122 | 1.530 | 10.900 | 0.970 | 0.020 | 0.018 | 0.087 | 4.600 | 0.004 | 0.005 |
| VGD-50 | 0.750 | 1.980 | 12.500 | 53.800 | 0.150 | 1.700 | 12.300 | 0.860 | 0.019 | 0.019 | 0.120 | 4.600 | 0.004 | 0.006 |
| VGD-51 | 0.820 | 1.840 | 12.500 | 55.800 | 0.150 | 1.590 | 11.000 | 0.840 | 0.018 | 0.014 | 0.119 | 4.200 | 0.004 | 0.004 |
| VGD-52 | 0.800 | 1.930 | 13.000 | 54.000 | 0.150 | 1.690 | 11.300 | 0.830 | 0.020 | 0.016 | 0.129 | 4.460 | 0.004 | 0.005 |
| VGD-53 | 0.750 | 1.920 | 12.700 | 52.400 | 0.150 | 1.690 | 11.600 | 0.820 | 0.017 | 0.016 | 0.116 | 4.380 | 0.004 | 0.005 |
| VGD-54 | 0.910 | 2.360 | 16.100 | 59.800 | 0.150 | 2.090 | 2.900 | 1.180 | 0.024 | 0.022 | 0.099 | 5.800 | 0.006 | 0.007 |
| VGD-55 | 0.580 | 1.740 | 11.400 | 47.600 | 0.150 | 1.390 | 14.500 | 0.600 | 0.016 | 0.018 | 0.095 | 3.980 | 0.003 | 0.004 |
| VGD-56 | 0.830 | 1.910 | 12.100 | 54.400 | 0.150 | 1.580 | 12.000 | 0.850 | 0.018 | 0.017 | 0.126 | 4.200 | 0.004 | 0.005 |
| VGD-57 | 1.130 | 1.580 | 9.300 | 64.900 | 0.150 | 0.990 | 7.000 | 1.050 | 0.013 | 0.028 | 0.063 | 3.630 | 0.003 | 0.003 |
| VGD-58 | 0.770 | 2.430 | 18.400 | 57.100 | 0.129 | 2.320 | 4.800 | 0.980 | 0.025 | 0.016 | 0.160 | 6.500 | 0.006 | 0.006 |
| VGD-59 | 0.690 | 2.220 | 16.800 | 56.300 | 0.160 | 2.010 | 6.100 | 1.090 | 0.027 | 0.019 | 0.112 | 6.000 | 0.005 | 0.007 |
| VGD-60 | 0.410 | 1.950 | 20.000 | 53.200 | 0.220 | 1.650 | 4.900 | 1.720 | 0.042 | 0.025 | 0.170 | 8.800 | 0.008 | 0.009 |
| VGD-61 | 0.650 | 2.470 | 16.200 | 53.500 | 0.170 | 2.020 | 6.500 | 1.030 | 0.025 | 0.019 | 0.200 | 6.300 | 0.006 | 0.009 |
| VGD-62 | 0.610 | 1.910 | 16.100 | 53.800 | 0.180 | 1.800 | 7.900 | 1.170 | 0.026 | 0.019 | 0.131 | 5.800 | 0.005 | 0.007 |
| VGD-63 | 0.500 | 2.020 | 17.900 | 52.900 | 0.127 | 1.620 | 5.300 | 1.510 | 0.034 | 0.022 | 0.210 | 7.600 | 0.008 | 0.009 |
| VGD-64 | 0.690 | 3.040 | 17.000 | 56.700 | 0.230 | 2.370 | 1.760 | 1.100 | 0.028 | 0.021 | 0.210 | 7.500 | 0.007 | 0.009 |
| VGD-65 | 0.820 | 1.940 | 18.600 | 62.200 | 0.129 | 2.230 | 1.370 | 0.870 | 0.022 | 0.015 | 0.130 | 5.400 | 0.005 | 0.006 |
| VGD-66 | 0.640 | 1.940 | 18.000 | 57.900 | 0.140 | 2.250 | 4.240 | 0.900 | 0.024 | 0.024 | 0.150 | 5.800 | 0.005 | 0.006 |

جدول ۱- مقدار خام اکسیدهای نمونه‌های زنگوییانی برداشت اول

| Code | CuO | ZnO | SrO | ZrO ₂ | BaO | Sum La.Lu | F | Rb2O | SO ₃ |
|--------|-------|-------|-------|------------------|-------|-----------|-------|--------|-----------------|
| VGD-1 | 0.005 | 0.009 | 0.018 | 0.044 | 0.018 | 0.015 | 0.000 | 0.003 | 0.230 |
| VGD-2 | 0.005 | 0.010 | 0.020 | 0.048 | 0.016 | 0.016 | 0.000 | 0.007 | 0.095 |
| VGD-3 | 0.004 | 0.011 | 0.021 | 0.035 | 0.023 | 0.018 | 0.000 | 0.009 | |
| VGD-4 | 0.004 | 0.009 | 0.019 | 0.036 | 0.018 | 0.015 | 0.000 | 0.008 | |
| VGD-5 | 0.005 | 0.011 | 0.026 | 0.004 | 0.030 | 0.019 | 0.000 | 0.008 | |
| VGD-6 | 0.005 | 0.009 | 0.020 | 0.044 | 0.022 | 0.013 | 0.000 | 0.007 | |
| VGD-7 | 0.003 | 0.009 | 0.018 | 0.027 | 0.013 | 0.011 | 0.000 | 0.008 | 0.130 |
| VGD-8 | 0.005 | 0.010 | 0.016 | 0.047 | 0.030 | 0.016 | 0.000 | 0.008 | 0.103 |
| VGD-9 | 0.005 | 0.015 | 0.022 | 0.028 | 0.025 | 0.010 | 0.000 | 0.009 | 0.170 |
| VGD-10 | 0.004 | 0.009 | 0.036 | 0.037 | 0.010 | 0.007 | 0.000 | 0.008 | 0.170 |
| VGD-11 | 0.005 | 0.010 | 0.024 | 0.034 | 0.014 | 0.013 | 0.000 | 0.007 | 0.130 |
| VGD-12 | 0.006 | 0.012 | 0.030 | 0.030 | 0.030 | 0.020 | 0.180 | 0.010 | 0.095 |
| VGD-13 | 0.003 | 0.006 | 0.025 | 0.012 | <2e | 0.006 | 0.220 | 0.004 | 0.150 |
| VGD-14 | 0.005 | 0.010 | 0.031 | 0.021 | <2e | 0.009 | 0.000 | 0.005 | 0.190 |
| VGD-15 | 0.004 | 0.009 | 0.027 | 0.018 | 0.014 | 0.011 | 0.000 | 0.007 | 0.121 |
| VGD-16 | 0.004 | 0.011 | 0.022 | 0.023 | 0.025 | 0.019 | 0.380 | 0.000 | |
| VGD-17 | 0.004 | 0.012 | 0.021 | 0.023 | 0.021 | 0.017 | 0.000 | 0.009 | 0.118 |
| VGD-18 | 0.002 | 0.003 | 0.034 | 0.004 | < | 0.011 | 0.220 | 0.002 | 0.280 |
| VGD-19 | 0.005 | 0.010 | 0.025 | 0.040 | 0.030 | 0.010 | 0.000 | 0.008 | 0.170 |
| VGD-20 | 0.005 | 0.011 | 0.021 | 0.034 | 0.017 | 0.020 | 0.000 | 0.010 | |
| VGD-21 | 0.005 | 0.010 | 0.025 | 0.039 | 0.027 | 0.015 | 0.000 | 0.005 | 0.360 |
| VGD-22 | 0.006 | 0.011 | 0.034 | 0.034 | 0.021 | 0.016 | 0.000 | 0.007 | 0.690 |
| VGD-23 | 0.006 | 0.010 | 0.028 | 0.033 | 0.024 | 0.010 | 0.000 | 0.008 | 0.180 |
| VGD-24 | 0.005 | 0.010 | 0.031 | 0.036 | 0.017 | 0.015 | 0.000 | 0.008 | 0.260 |
| VGD-25 | 0.004 | 0.008 | 0.098 | 0.018 | 0.018 | 0.014 | 0.300 | 0.007 | 0.700 |
| VGD-26 | 0.002 | 0.006 | 0.042 | 0.009 | <2e | 0.008 | 0.000 | 0.003 | 0.270 |
| VGD-27 | 0.003 | 0.006 | 0.039 | 0.009 | <2e | 0.014 | 0.390 | 0.003 | 0.250 |
| VGD-28 | 0.002 | 0.005 | 0.036 | 0.006 | <2e | 0.005 | 0.68 | 0.002 | 0.260 |
| VGD-29 | 0.002 | 0.005 | 0.023 | 0.003 | <2e | 0.008 | 0.370 | 0.001 | 0.190 |
| VGD-30 | 0.003 | 0.012 | 0.071 | 0.010 | 0.011 | 0.007 | 0.000 | 0.004 | 0.430 |
| VGD-31 | 0.003 | 0.004 | 0.020 | 0.003 | <2e | 0.008 | 0.680 | 0.002 | |
| VGD-32 | 0.003 | 0.012 | 0.066 | 0.009 | <2e | 0.006 | 0.280 | 0.0034 | 0.370 |
| VGD-33 | 0.004 | 0.010 | 0.015 | 0.027 | <2e | 0.016 | 0.000 | 0.000 | |
| VGD-34 | 0.003 | 0.010 | 0.040 | 0.019 | 0.014 | 0.014 | 0.000 | 0.004 | |
| VGD-35 | 0.004 | 0.010 | 0.018 | 0.051 | <2e | 0.015 | 0.450 | 0.008 | |
| VGD-36 | 0.005 | 0.010 | 0.046 | 0.025 | 0.057 | 0.015 | 0.000 | 0.011 | 0.290 |
| VGD-37 | 0.004 | 0.010 | 0.036 | 0.041 | 0.053 | 0.017 | 0.000 | 0.008 | 0.160 |
| VGD-38 | 0.002 | 0.002 | 0.034 | <2e | <2e | 0.015 | 0.360 | <2e | 2.280 |
| VGD-39 | 0.004 | 0.010 | 0.017 | 0.076 | 0.028 | 0.018 | 0.000 | 0.008 | 0.092 |
| VGD-40 | 0.003 | 0.007 | 0.018 | 0.050 | 0.041 | 0.013 | 0.000 | 0.010 | 0.078 |
| VGD-41 | 0.004 | 0.010 | 0.015 | 0.037 | <2e | 0.016 | 0.000 | 0.0084 | 0.00 |
| VGD-42 | 0.004 | 0.009 | 0.033 | 0.042 | 0.036 | 0.010 | 0.000 | 0.001 | 0.140 |
| VGD-43 | 0.003 | 0.008 | 0.031 | 0.045 | 0.029 | 0.014 | 0.000 | 0.007 | |
| VGD-44 | 0.004 | 0.011 | 0.025 | 0.048 | 0.030 | 0.013 | 0.000 | 0.006 | 0.140 |
| VGD-45 | 0.004 | 0.011 | 0.024 | 0.049 | 0.030 | 0.015 | 0.000 | 0.006 | 0.140 |
| VGD-46 | 0.004 | 0.009 | 0.036 | 0.043 | 0.030 | 0.013 | 0.150 | 0.007 | 0.030 |
| VGD-47 | 0.003 | 0.008 | 0.021 | 0.050 | 0.021 | 0.020 | 0.000 | 0.007 | 0.021 |
| VGD-48 | 0.003 | 0.008 | 0.026 | 0.044 | <2e | 0.017 | 0.000 | 0.007 | 0.130 |
| VGD-49 | 0.004 | 0.009 | 0.015 | 0.047 | 0.028 | 0.016 | 0.190 | 0.002 | 0.140 |
| VGD-50 | 0.005 | 0.009 | 0.030 | 0.040 | 0.026 | 0.017 | 0.000 | 0.008 | 0.220 |
| VGD-51 | 0.004 | 0.008 | 0.026 | 0.043 | 0.022 | 0.019 | 0.190 | 0.007 | |
| VGD-52 | 0.004 | 0.009 | 0.025 | 0.040 | 0.021 | 0.015 | 0.000 | 0.007 | 0.160 |
| VGD-53 | 0.004 | 0.010 | 0.026 | 0.041 | <2e | 0.015 | 0.000 | 0.008 | 0.150 |
| VGD-54 | 0.004 | 0.011 | 0.013 | 0.055 | 0.015 | 0.017 | 0.000 | 0.009 | |
| VGD-55 | 0.004 | 0.010 | 0.018 | 0.036 | <2e | 0.012 | 0.200 | 0.007 | 0.170 |
| VGD-56 | 0.004 | 0.009 | 0.026 | 0.047 | 0.026 | 0.017 | 0.000 | 0.007 | 0.160 |
| VGD-57 | 0.002 | 0.007 | 0.012 | 0.054 | 0.019 | 0.015 | 0.000 | 0.004 | |
| VGD-58 | 0.006 | 0.012 | 0.030 | 0.035 | 0.041 | 0.014 | 0.000 | 0.001 | 0.890 |
| VGD-59 | 0.005 | 0.012 | 0.030 | 0.040 | 0.019 | 0.010 | 0.000 | 0.010 | 0.180 |
| VGD-60 | 0.007 | 0.012 | 0.023 | 0.040 | 0.022 | 0.016 | 0.000 | 0.008 | 0.260 |
| VGD-61 | 0.005 | 0.013 | 0.025 | 0.035 | 0.020 | 0.014 | 0.000 | 0.001 | 0.180 |
| VGD-62 | 0.005 | 0.010 | 0.021 | 0.038 | 0.022 | 0.015 | 0.250 | 0.009 | 0.180 |
| VGD-63 | 0.005 | 0.011 | 0.020 | 0.041 | 0.020 | 0.013 | 0.000 | 0.008 | 0.140 |
| VGD-64 | 0.006 | 0.019 | 0.020 | 0.035 | 0.032 | 0.017 | 0.000 | 0.013 | 0.250 |
| VGD-65 | 0.005 | 0.011 | 0.015 | 0.041 | 0.018 | 0.018 | 0.000 | 0.011 | |
| VGD-66 | 0.005 | 0.012 | 0.018 | 0.039 | 0.024 | 0.016 | 0.008 | 0.012 | 0.107 |

جدول ۲ مقادیر خام اکسیدها برای نمونه های برداشت شده در مرحله دوم نمونه برداری - (مرحله بررسی آنومالی ها)

| Code | Na ₂ O | MgO | Al ₂ O ₃ | SiO ₂ | P ₂ O ₅ | K ₂ O | CaO | TiO ₂ | V ₂ O ₅ | Cr ₂ O ₃ | MnO | Fe ₂ O ₃ | Co ₃ O ₄ | NiO | CuO | ZnO | SrO | ZrO ₂ | BaO | Sum-Lalun | F | Rb ₂ O | SO ₃ |
|--------|-------------------|------|--------------------------------|------------------|-------------------------------|------------------|-------|------------------|-------------------------------|--------------------------------|-------|--------------------------------|--------------------------------|-------|-------|-------|-------|------------------|-------|-----------|-------|-------------------|-----------------|
| VGD101 | 0.190 | 4.52 | 3.30 | 12.10 | 0.056 | 0.65 | 39.50 | 0.180 | 0.006 | 0.008 | 0.023 | 1.15 | 0.001 | 0.001 | 0.006 | 0.05 | 0.009 | <2E | 0.001 | 0.42 | 0.004 | 0.28 | |
| VGD102 | 0.25 | 7.50 | 2.20 | 6.20 | 0.040 | 0.32 | 44.2 | 0.112 | 0.007 | 0.005 | 0.018 | 0.90 | <2E | 0.002 | 0.002 | 0.005 | 0.025 | 0.004 | <2E | 0.008 | 0.350 | 0.001 | 0.20 |
| VGD103 | 0.18 | 6.50 | 1.80 | 6.5 | 0.030 | 0.28 | 39.30 | 0.118 | 0.006 | 0.004 | 0.015 | 0.75 | 0.001 | 0.001 | 0.001 | 0.007 | 0.024 | 0.006 | <2E | 0.007 | 0.35 | 0.003 | 0.22 |
| VGD104 | 0.22 | 6.10 | 1.70 | 6.20 | 0.05 | 0.25 | 39.50 | 0.120 | 0.005 | 0.006 | 0.019 | 0.80 | 0.001 | 0.002 | 0.001 | 0.006 | 0.029 | 0.009 | <2E | 0.006 | 0.43 | 0.002 | 0.22 |
| VGD105 | 0.25 | 6.30 | 1.85 | 6.30 | 0.050 | 0.45 | 39.80 | 0.13 | 0.006 | 0.008 | 0.018 | 0.76 | 0.001 | 0.001 | 0.003 | 0.005 | 0.035 | 0.008 | 0.01 | 0.008 | 0.40 | 0.003 | 0.31 |
| VGD106 | 0.23 | 7.20 | 2.10 | 7.5 | 0.06 | 0.33 | 39.50 | 0.15 | 0.006 | 0.008 | 0.019 | 1.10 | <2E | 0.002 | 0.003 | 0.006 | 0.048 | 0.009 | 0.01 | 0.006 | 0.37 | 0.005 | 0.35 |
| VGD107 | 0.35 | 5.90 | 2.80 | 5.50 | 0.06 | 0.55 | 38.70 | 0.190 | 0.003 | 0.004 | 0.025 | 1.20 | 0.002 | 0.003 | 0.001 | 0.008 | 0.051 | 0.007 | 0.01 | 0.009 | 0.38 | 0.006 | 0.40 |
| VGD108 | 0.25 | 6.50 | 1.90 | 6.40 | 0.05 | 0.45 | 38.90 | 0.12 | 0.005 | 0.008 | 0.020 | 1.15 | 0.002 | 0.002 | 0.002 | 0.007 | 0.035 | 0.008 | <2E | 0.003 | 0.12 | 0.005 | 0.31 |
| VGD109 | 0.40 | 3.10 | 12.30 | 35.20 | 0.140 | 1.80 | 13.10 | 1.10 | 0.030 | 0.040 | 0.09 | 6.50 | 0.008 | 0.02 | 0.006 | 0.010 | 0.035 | 0.031 | <2E | 0.008 | 0.000 | 0.005 | 0.20 |
| VGD110 | 0.78 | 4.10 | 3.50 | 10.20 | 0.07 | 0.55 | 30.20 | 0.29 | 0.004 | 0.005 | 0.019 | 0.02 | 0.001 | 0.001 | 0.001 | 0.006 | 0.051 | 0.007 | <2E | 0.003 | 0.12 | 0.005 | 0.31 |
| VGD111 | 0.25 | 5.10 | 2.80 | 7.80 | 0.03 | 0.45 | 35.50 | 0.190 | 0.003 | 0.008 | 0.02 | 0.78 | 0.001 | 0.002 | 0.003 | 0.005 | 0.005 | 0.009 | 0.01 | 0.006 | 0.16 | 0.003 | 0.26 |
| VGD112 | 0.30 | 6.10 | 1.80 | 6.80 | 0.05 | 0.50 | 37.50 | 0.12 | 0.005 | 0.006 | 0.03 | 0.90 | 0.003 | 0.001 | 0.004 | 0.007 | 0.038 | 0.004 | <2E | 0.003 | 0.18 | 0.003 | 0.26 |
| VGD113 | 0.35 | 6.80 | 1.80 | 6.90 | 0.04 | 0.35 | 39.5 | 0.11 | 0.004 | 0.006 | 0.002 | 0.75 | 0.001 | 0.003 | 0.001 | 0.006 | 0.05 | 0.008 | 0.01 | 0.006 | 0.20 | 0.005 | 0.30 |
| VGD114 | 0.50 | 2.80 | 2.85 | 15.00 | 0.11 | 0.40 | 34.50 | 0.90 | 0.035 | 0.030 | 0.08 | 4.35 | 0.007 | 0.02 | 0.007 | 0.009 | 0.030 | 0.04 | 0.01 | 0.009 | 0.000 | 0.004 | 0.15 |
| VGD115 | 0.65 | 2.90 | 3.25 | 17.00 | 0.15 | 0.80 | 31.50 | 0.80 | 0.004 | 0.020 | 0.009 | 4.60 | 0.007 | 0.03 | 0.006 | 0.008 | 0.220 | 0.06 | 0.02 | 0.007 | 0.10 | 0.006 | 0.35 |
| VGD116 | 0.35 | 5.70 | 2.25 | 7.50 | 0.04 | 0.50 | 38.50 | 0.12 | 0.005 | 0.006 | 0.004 | 1.50 | 0.003 | 0.02 | 0.005 | 0.007 | 0.04 | 0.007 | 0.033 | 0.006 | 0.000 | 0.005 | 0.29 |
| VGD117 | 0.50 | 6.30 | 2.10 | 6.30 | 0.09 | 0.50 | 38.90 | 0.13 | 0.008 | 0.006 | 0.008 | 2.10 | 0.007 | 0.03 | 0.002 | 0.008 | 0.030 | 0.06 | 0.035 | 0.007 | 0.000 | 0.006 | 0.35 |
| VGD118 | 0.35 | 6.30 | 2.60 | 8.90 | 0.05 | 0.60 | 37.25 | 0.10 | 0.005 | 0.007 | 0.030 | 2.30 | 0.001 | 0.003 | 0.002 | 0.009 | 0.04 | 0.003 | 0.032 | 0.006 | 0.000 | 0.003 | 0.65 |
| VGD119 | 0.85 | 3.50 | 1.60 | 12.10 | 0.12 | 1.10 | 8.90 | 0.120 | 0.030 | 0.020 | 0.009 | 4.50 | 0.008 | 0.006 | 0.010 | 0.009 | 0.05 | 0.007 | 0.020 | 0.009 | 0.2e | 0.005 | 0.68 |
| VGD120 | 0.40 | 6.80 | 2.10 | 9.10 | 0.06 | 0.70 | 34.50 | 0.13 | 0.04 | 0.020 | 0.008 | 1.50 | 0.005 | 0.003 | 0.010 | 0.010 | 0.06 | 0.030 | 0.007 | 0.2e | 0.007 | 0.2e | 0.35 |

جدول ۳ - ترکیب کانی شناسی تعدادی از نمونه های ژئوشیمیابی، روش پراش اشعه - X (XRD)

| Code | کانی های اصلی به ترتیب فراوانی | | | | | | کانی های فرعی |
|--------|--------------------------------|--------------------|--------------------|----------------|--------------------|--------|------------------------------|
| VGD-12 | کوارتز | فلدسبات اورتوز | فلدسبات پلازیوکلار | کلسیت | دولومیت | هماتیت | ایلیت - گوتیت |
| VGD-20 | کوارتز | فلدسبات اورتوز | فلدسبات پلازیوکلار | کلسیت | دولومیت | هماتیت | ایلیت - گوتیت |
| VGD-21 | کوارتز | فلدسبات پلازیوکلار | فلدسبات اورتوز | کلسیت | دولومیت | گوتیت | هماتیت، پیروکسن (دیوسپید) |
| VGD-38 | کوارتز | فلدسبات اورتوز | فلدسبات پلازیوکلار | کلسیت | دولومیت | گوتیت | _____ |
| VGD-52 | کوارتز | فلدسبات اورتوز | فلدسبات پلازیوکلار | کلسیت | دولومیت | هماتیت | ایلیت، گچ، گوتیت |
| VGD-56 | کوارتز | فلدسبات اورتوز | فلدسبات پلازیوکلار | کلسیت | دولومیت | هماتیت | ایلیت، گچ، گوتیت |
| VGD-57 | کوارتز | فلدسبات پلازیوکلار | فلدسبات اورتوز | کلسیت | دولومیت | هماتیت | ایلیت، گچ، گوتیت |
| VGD-58 | کوارتز | فلدسبات اورتوز | فلدسبات پلازیوکلار | کلسیت | دولومیت | هماتیت | گوتیت |
| VGD-59 | کوارتز | فلدسبات پلازیوکلار | فلدسبات اورتوز | کلسیت | دولومیت | هماتیت | گوتیت |
| VGD-60 | کوارتز | فلدسبات پلازیوکلار | فلدسبات اورتوز | کلسیت | دولومیت | هماتیت | ایلیت - گوتیت |
| VGD-61 | کوارتز | فلدسبات پلازیوکلار | فلدسبات اورتوز | کلسیت | دولومیت | هماتیت | گوتیت - ایلیت |
| VGD-62 | کوارتز | فلدسبات اورتوز | فلدسبات پلازیوکلار | کلسیت | دولومیت | هماتیت | ایلیت - گوتیت |
| VGD-63 | کوارتز | فلدسبات پلازیوکلار | فلدسبات اورتوز | کلسیت | دولومیت | هماتیت | ایلیت - گوتیت |
| VGD-64 | کوارتز | فلدسبات اورتوز | فلدسبات پلازیوکلار | کلسیت | دولومیت | هماتیت | ایلیت - گوتیت |
| VGD-13 | کلسیت | دولومیت | کوارتز | فلدسبات اورتوز | فلدسبات پلازیوکلار | هماتیت | _____ |
| VGD-26 | کلسیت | دولومیت | فلدسبات اورتوز | کوارتز | فلدسبات پلازیوکلار | _____ | هماتیت - گچ |
| VGD-27 | کلسیت | دولومیت | فلدسبات اورتوز | کوارتز | فلدسبات پلازیوکلار | _____ | گچ - ایلیت |
| VGD-29 | کلسیت | دولومیت | کوارتز | _____ | _____ | _____ | گچ |
| VGD-31 | کلسیت | دولومیت | کوارتز | فلدسبات اورتوز | _____ | _____ | _____ |

با توجه به ترکیب کانی شناسی بدست آمده از نمونه های ژئوشیمیابی مورد مطالعه ، پراش اشعه - X

آنها مشخص گردیده که هیچگدام از نمونه ها حاوی کانی های تالک ، پیروفیلیت ، زنولیت ،

کائولینیت و یا دیاسپور و بوهمیت نبوده است . بررسی کانی های سنگین منطقه نیز تائیدی بر

این مسئله می باشد . بنابر این در منطقه احتمال وجود کانی سازی هایی مرتبط با کانی های فوق

محتمل نمی باشد .

فصل سوم: پردازش داده‌ها و رسم منحنی‌ها

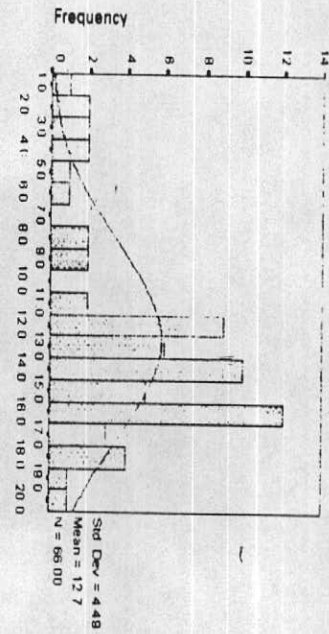
الف: پردازش داده‌ها:

پردازش داده‌ها یکی از اساسی‌ترین بخش‌های یک عملیات اکتشافی ژئوشیمیائی است و چنانچه به درستی انجام پذیرد، می‌تواند نتایج دقیق‌تری در نتیجه‌گیری از مراحل مختلف اکتشاف بدست آورد. در واقع آنچه که عمدتاً به عنوان وجه تمايز و مقایسه عملیات مختلف اکتشاف ژئوشیمیائی مد نظر قرار می‌گیرد، روش تحلیل داده‌ها و تکنیک‌های انتخاب شده جهت تعیین پارامترهایی از قبیل مقادیر زمینه و حد آستانه‌ای و مناطق آنومالی می‌باشد. در زمینه توسعه این قبیل تکنیک‌ها، فعالیتهای تحقیقی و موارد عملی زیادی انجام شده و متواالیاً روش‌های جدیدی مبتنی بر پایه‌های علمی (آمار و احتمالات) و تجربیات عملی ارائه می‌گردد.

در این پژوهه ابتدا هیستوگرام و منحنی تجمعی هر اکسید و عنصر مورد بررسی قرار گرفته است (شکلهای A1-A₆ و B1-B₆). بعد از بررسی هیستوگرامها و منحنی تجمعی هر اکسید و عنصر مقادیر خارج از رده هر اکسید و عنصر مشخص و جداگردیده‌اند، سپس با روش‌های تک متغیره ناهنجاریهای تک متغیره مشخص گردیده‌اند و بعد از آن روش‌های چند متغیره از قبیل همبستگی، آسالیز خوش‌های (برای بدست آوردن مراتب و تشابه هر اکسید)، تجزیه عاملی (برای گروه‌بندی اکسیدها براساس واریانس آنها) مورد بررسی قرار گرفته است.

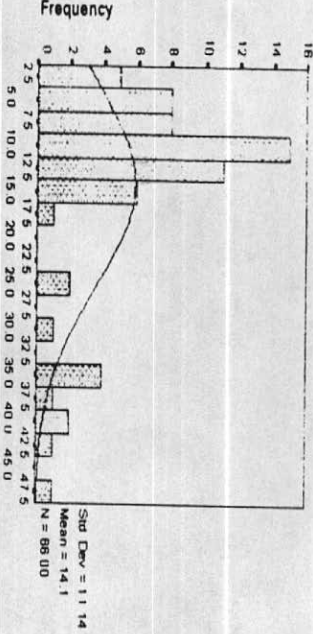
با استفاده از هیستوگرامها و منحنی تجمعی می‌توان چگونگی انتشار هر اکسید و عنصر و همچنین تک جامعه‌ای یا چند جامعه‌ای بودن هر متغیر را مشخص ساخت. به عنوان مثال پراش Al_2O_3 برابر با ۴/۴۹ و میانگین آن برابر با ۱۲/۷ می‌باشد و منحنی تجمعی این اکسید نشان دهنده ۲ یا حتی ۳ جامعه‌ای بودن این اکسید می‌باشد. با توجه به اشکال هیستوگرام و منحنی تجمعی می‌توان به خصوصیات پاره‌ای از این عناصر و اکسیدها دست یافت.

Histogram



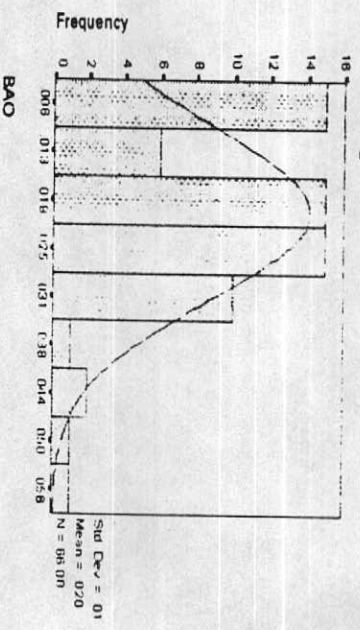
AL₂O₃

Histogram



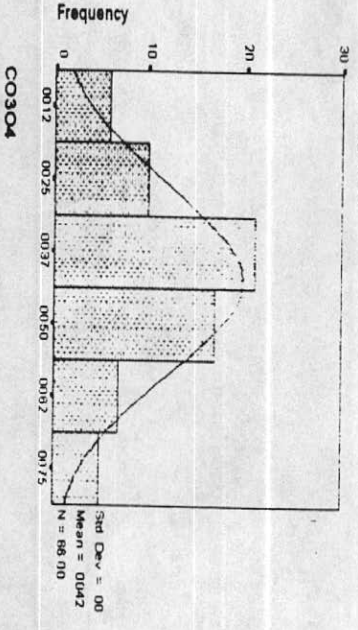
CAO

Histogram



BAO

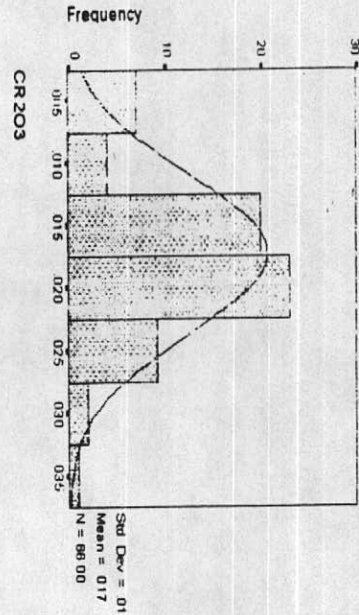
Histogram



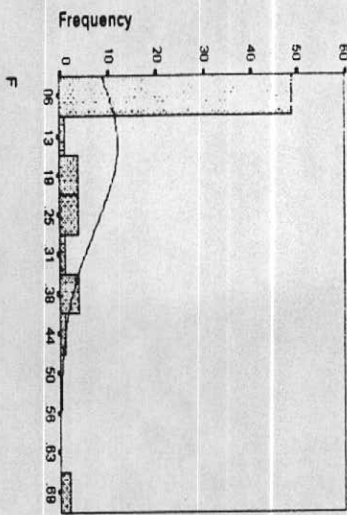
CO₃O₄

(A1) حملہ

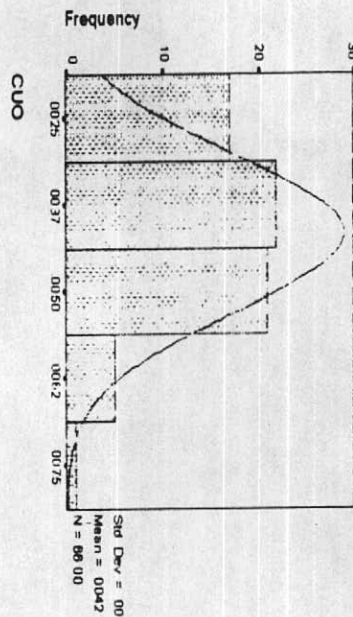
Histogram



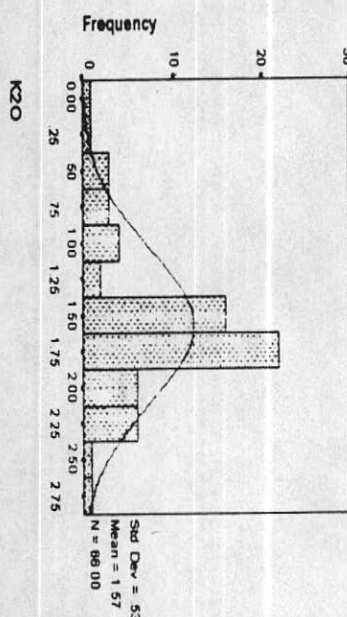
Histogram



Histogram

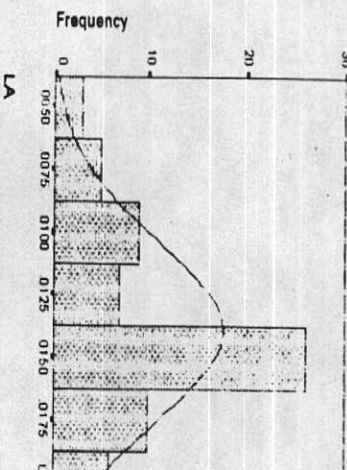


Histogram

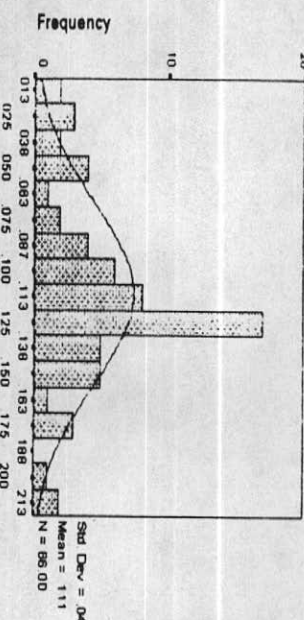


(A₂) شکل

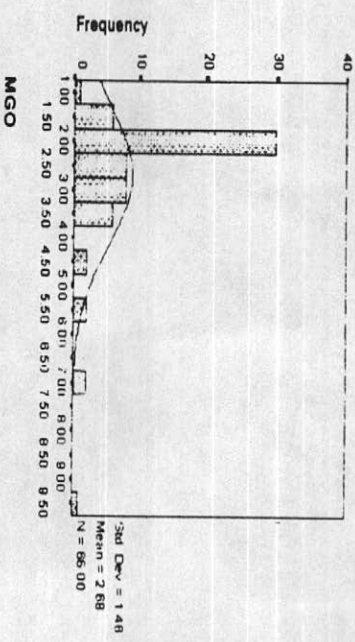
Histogram



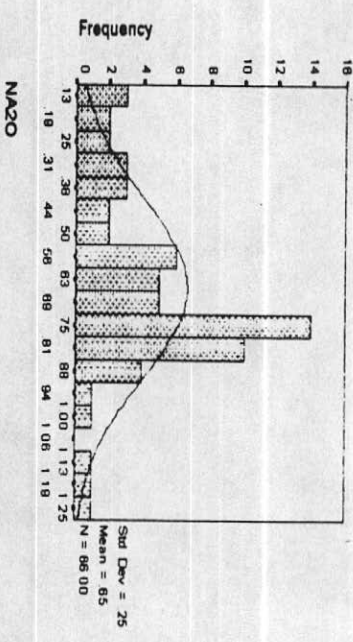
Histogram



Histogram

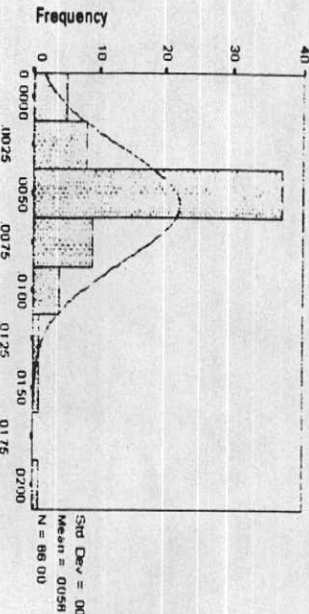


Histogram

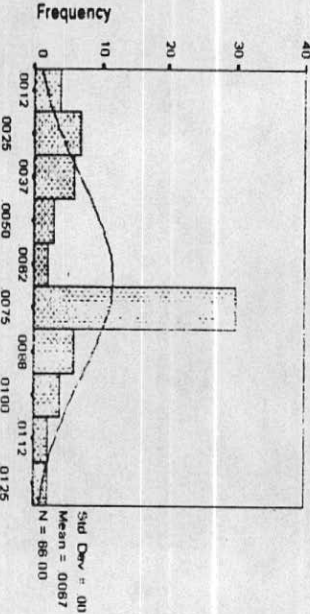


(٨٨) مدخل

Histogram

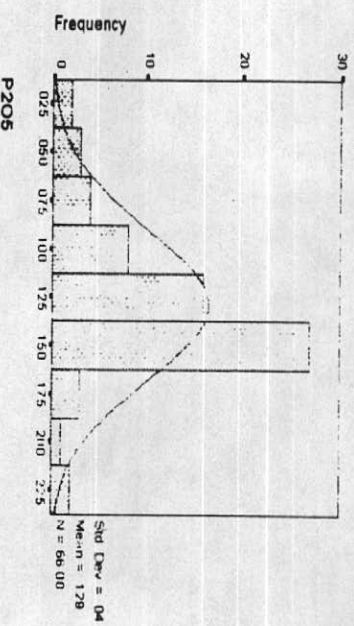


Histogram

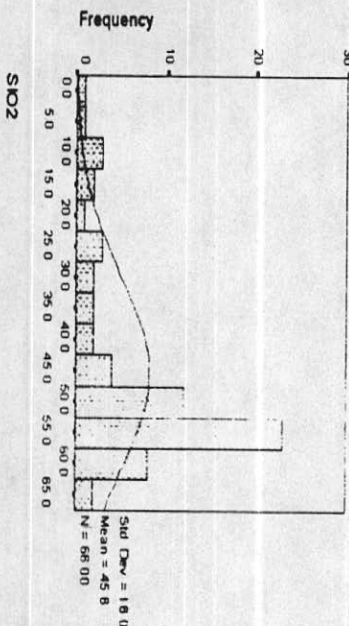


RB2O

Histogram

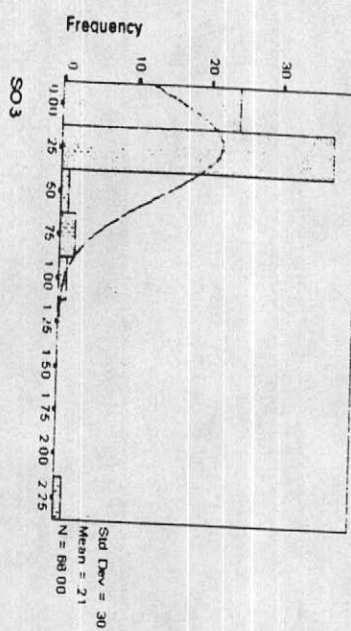


Histogram

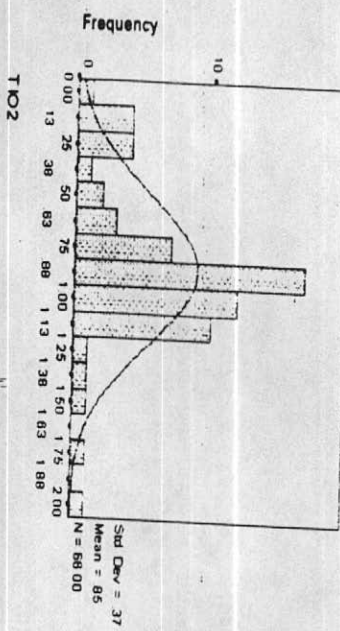


(A₄) شكل

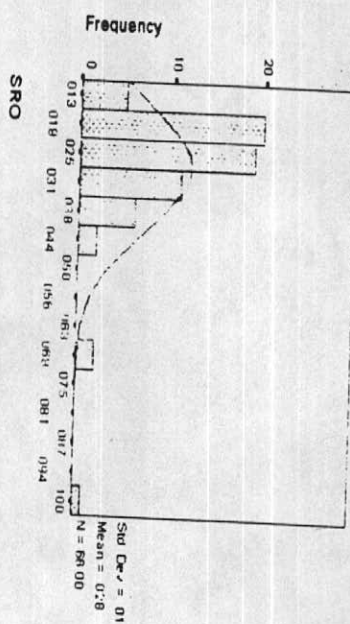
Histogram



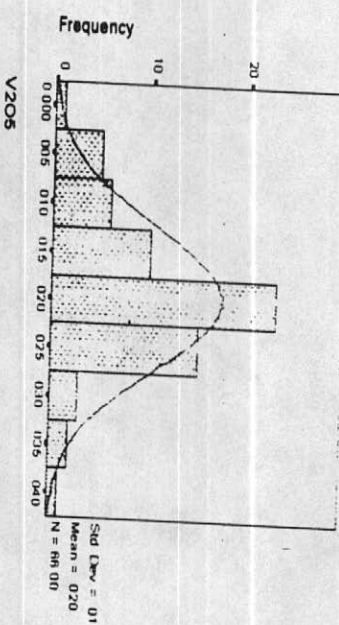
Histogram



Histogram

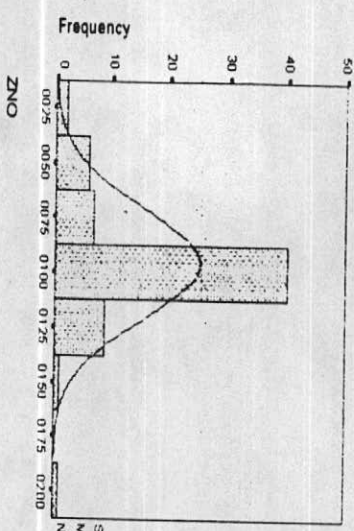


Histogram

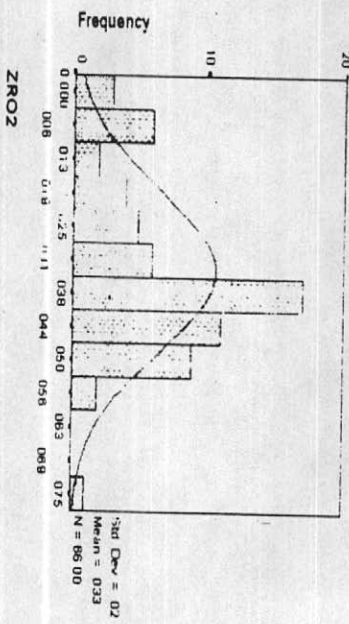


(A₅) شکل

Histogram

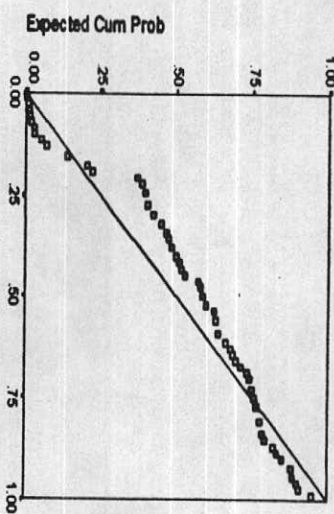


Histogram

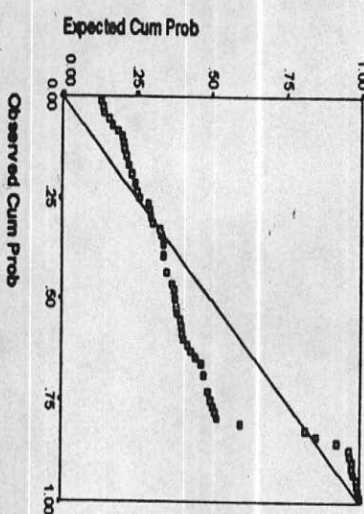


شكل (A₆)

Normal P-P Plot of AL2O3

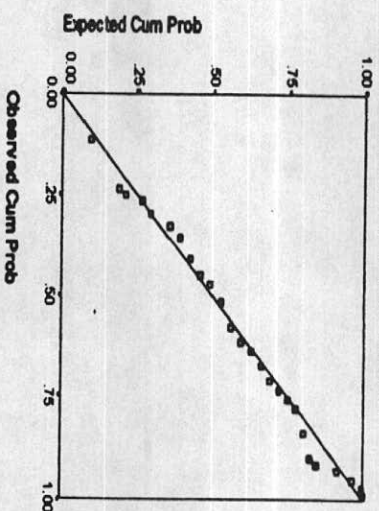


Normal P-P Plot of CAO

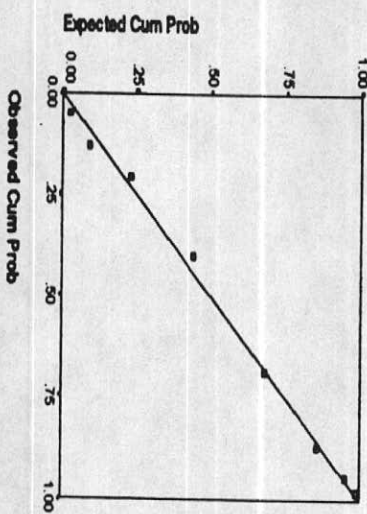


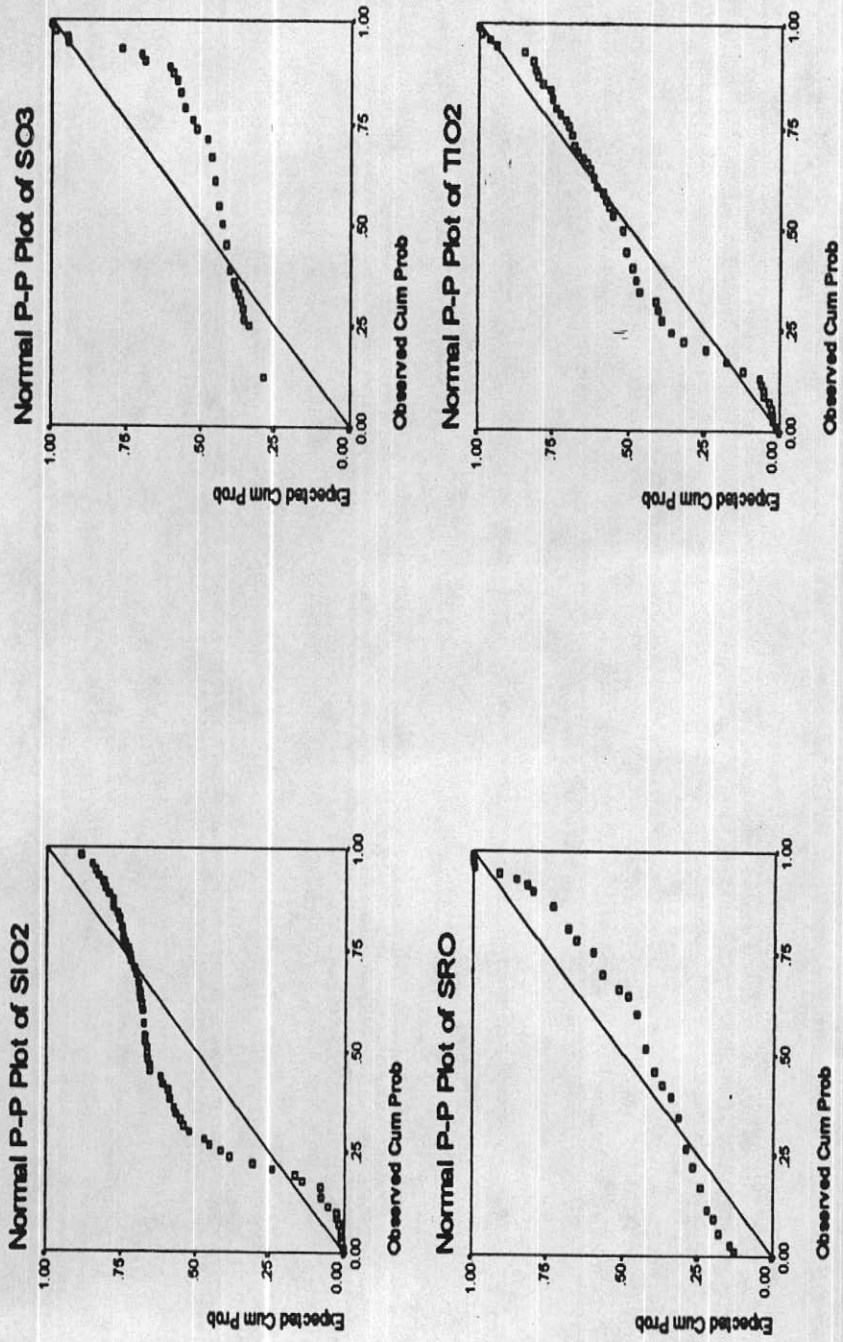
(B₁) شکل

Normal P-P Plot of BAO

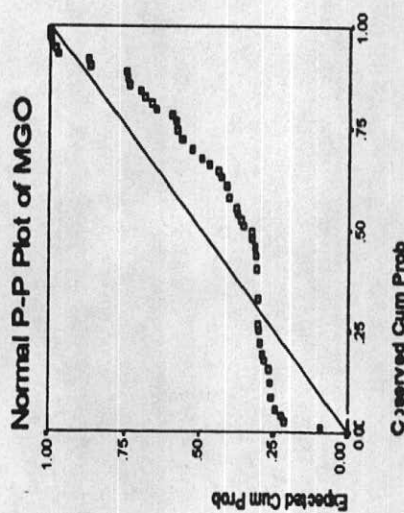
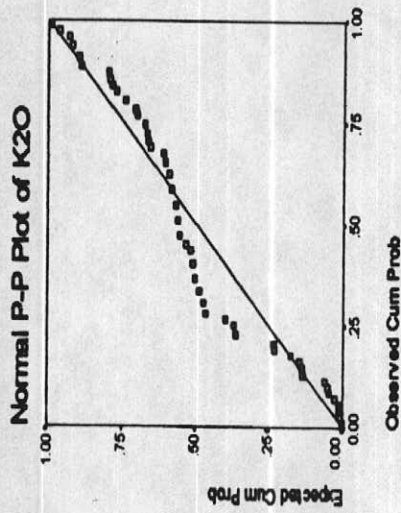
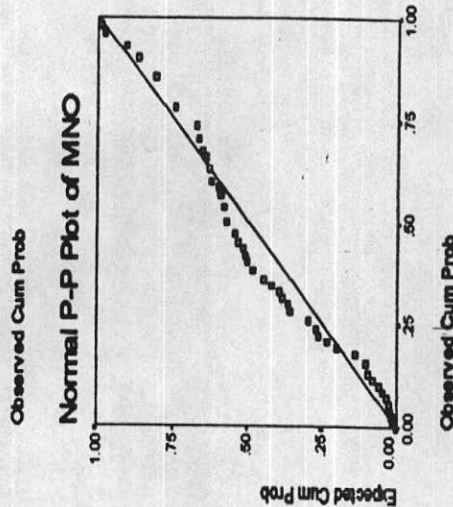
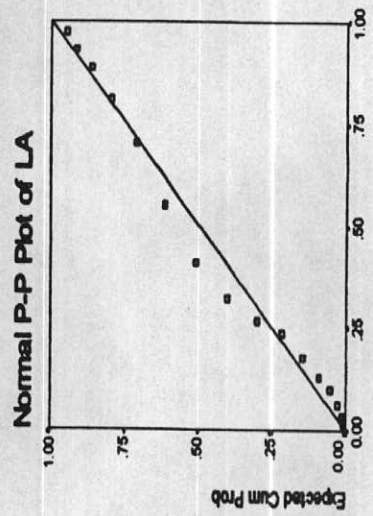


Normal P-P Plot of CO₃O₄

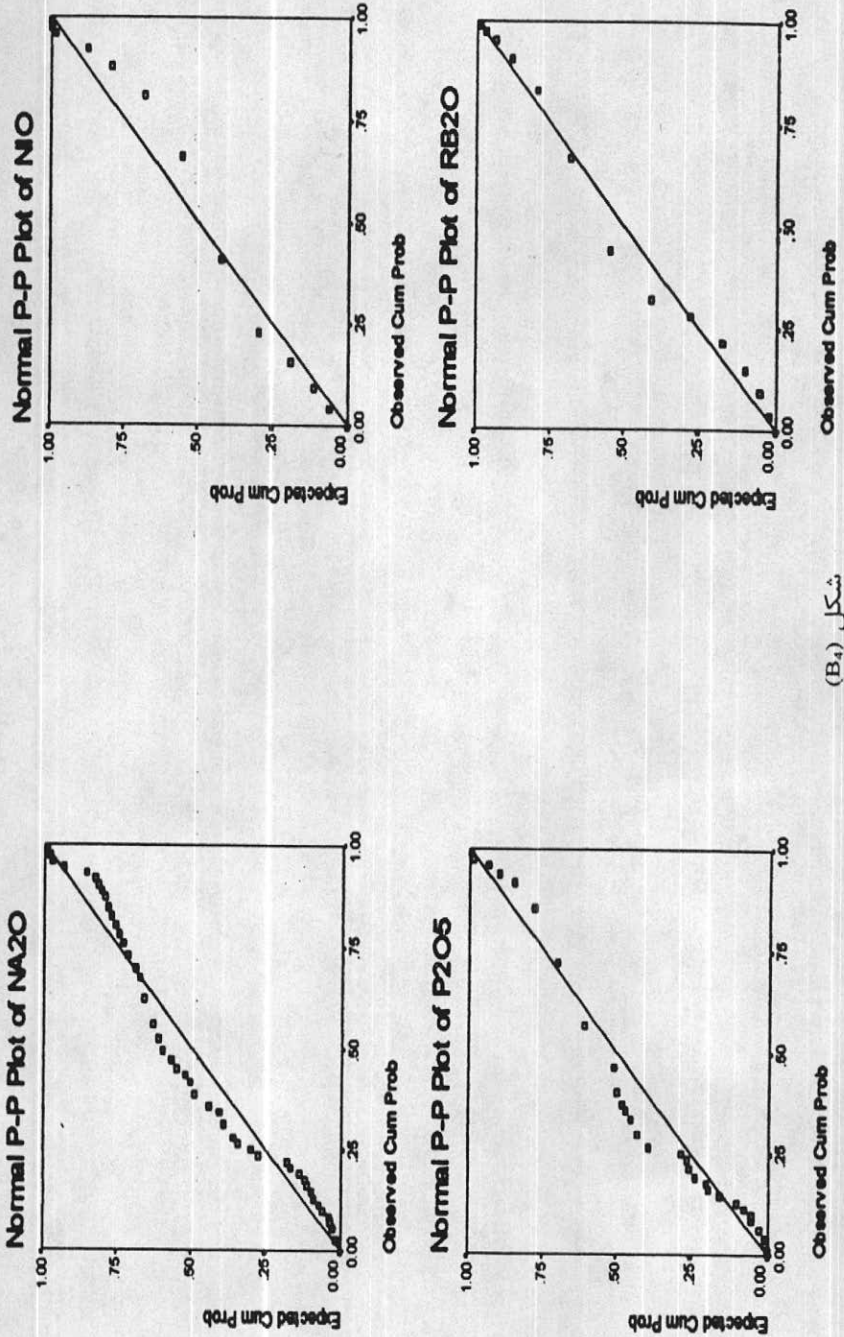




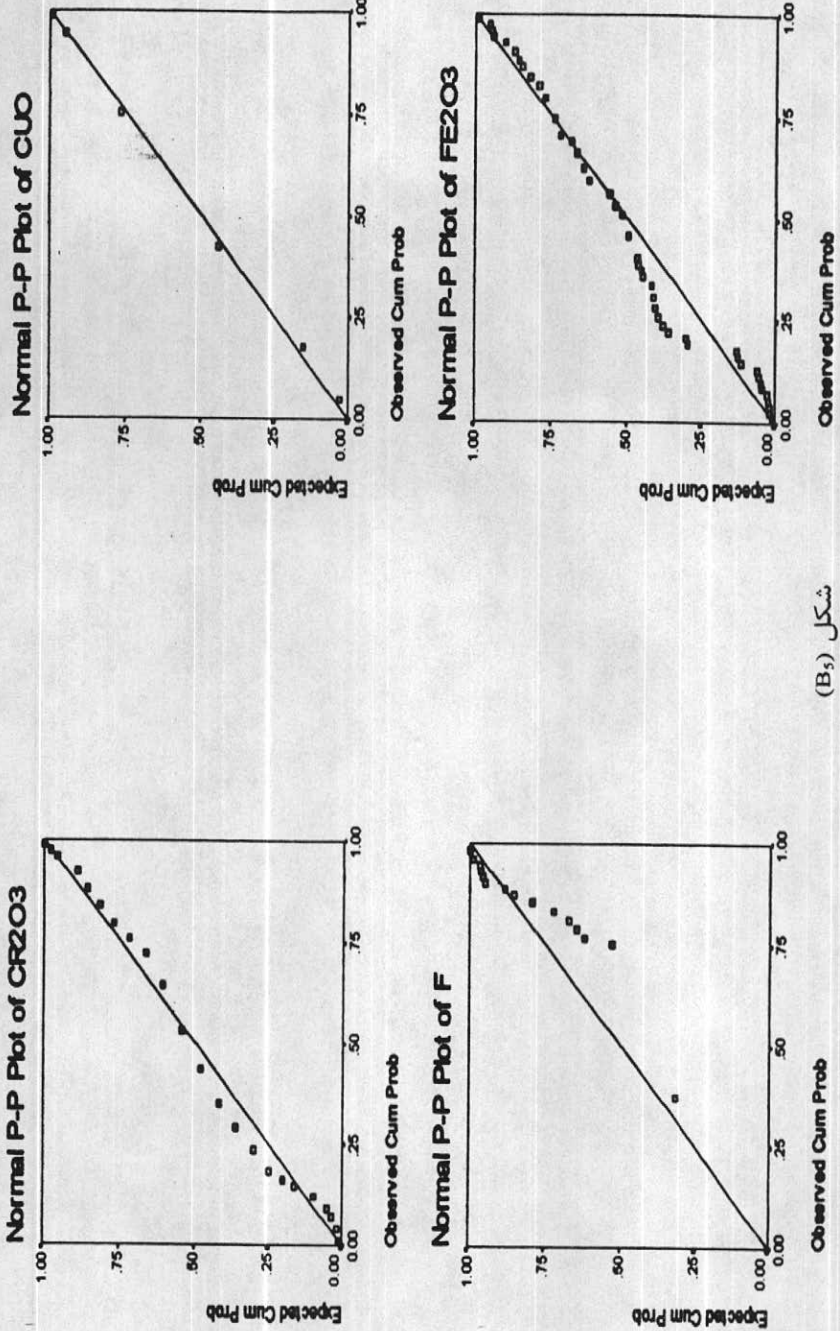
شكل (B₂)

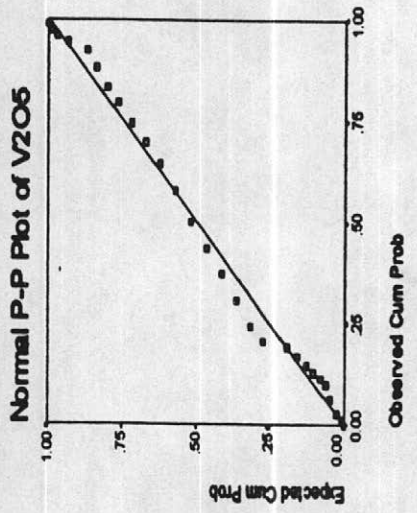
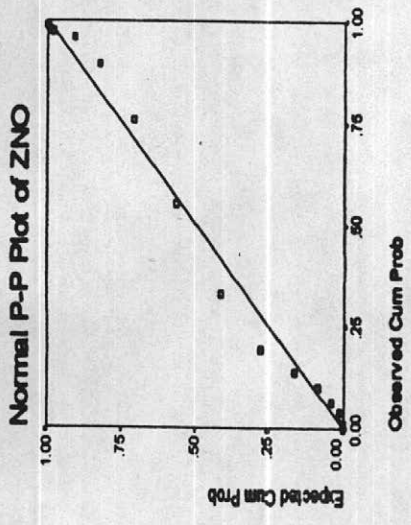


(B₁)



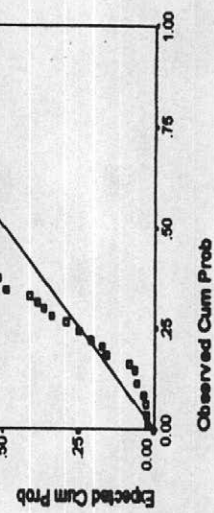
شكل (B₄)





Observed Cum Prob

Observed Cum Prob



Observed Cum Prob

شکل
(B₆)

ب: برآورده مقدادیر خارج از رده

مقدادیر خارج از رده در داده‌های ژئوشیمیائی باعث افزایش واریانس جامعه ژئوشیمیائی، افزایش میزان همبستگی در بین متغیرها و افزایش چولگی در هیستوگرام متغیرها می‌گردد که هر کدام از پارامترهای فوق می‌تواند ایجاد اشتباهاتی در برآورد محاسبات آماری و نتیجه‌گیری از این داده‌ها گردد. بنابراین شناخت چنین مقدادیر در داده‌های ژئوشیمیائی امری است الزامی که در این پروژه سعی شده با استفاده از نرم افزار SPSS بصورت نمادین آنها را نمایش داده و در بررسی همبستگی عناصر و همچنین برآوردهای آماری آنها را جدا نموده و از تأثیرات چنین مقدادیر در داده‌پردازی

جلوگیری شود.

برای این منظور نمودار جعبه‌ای^۱ متغیرهای مختلف در نرم افزار SPSS رسم گردید شکل‌های (C1) و (C2) و هر نمونه‌ای که خارج از محدوده نمودار جعبه قرار گرفته باشد به عنوان مقدادیر خارج از رده در نظر گرفته می‌شود. فرمولی که نرم افزار SPSS از آن استفاده می‌نماید بصورت ذیل می‌باشد.

$$[Q3-Q2] \times 2.5 + Q3 = \text{مقدادیر خارج از رده}$$

$$Q2 = \frac{2}{5} \text{ ضرب } \text{مقدار چارک دوم}$$

$$\text{برای مقدادیر خیلی دور افتاده}^2 = 3 \text{ ضرب } \text{مقدار چارک سوم}$$

با توجه به شکل A1 و A2 نتایج ذیل بدست آمده است.

متغیرهای La و Rb₂O و CuO، MnO، Al₂O₃ و SiO₂ دارای هیچگونه مقدادیر خارج از رده نمی‌باشند و تقریباً دارای جوامع نرمالی نیز می‌باشند. متغیرهای Al₂O₃ و SiO₂ فقط دارای مقدادیر خارج از رده کوچک می‌باشند که به خاطر وجود آنها در زمینه اینگونه مقدادیر خارج از رده، مهم تلقی نمی‌گردد ولیکن همین مقدادیر باعث گردیده‌اند که جوامع ژئوشیمیائی اکسیدهای فوق دارای چولگی منفی باشند.

متغیرهای Na₂O و TiO₂، K₂O، P₂O₅، ZrO₂، Fe₂O₃، ZnO، BaO، V₂O₅، Cr₂O₃ دارای یک یا دو مقدار

- 1) Outliers
- 2) Boxplot
- 3) Extreme

خارج از رده می‌باشند و تقریباً از جوامعی با چولگی‌های کم برخوردار می‌باشند. متغیرهای CaO , NiO , MgO , SO_3 و F همگی دارای مقادیر خارج از رده و مقادیر دور افتاده بیش از سه نمونه می‌باشند که باعث گردیده انحراف معیار و چولگی جوامع ژئوشیمیائی متغیرهای فوق بطور غیر واقعی افزایش پیدا نماید. تمامی مقادیر خارج از رده در جدول (۱) نمایش داده شده است، این مقادیر را می‌توان به عنوان مقادیر ناهنجار نیز معرفی نمود.

جدول ۱- مقادیر خارج از رده در متغیرهای ژئوشیمیائی

| نام متغیر | شماره نمونه |
|-----------|----------------------------|
| F | ۲۸,۳۱,۳۴,۲۷,۲۵,۳۲,۲۹,۱۶,۶۲ |
| CaO | ۳۸,۱۸,۲۹,۲۱,۳۴,۲۵ |
| MgO | ۳۱,۲۹,۴۸,۲۷,۲۶ |
| SrO | ۲۵,۳۰,۳۲,۳۶ |
| NiO | ۱۴,۹,۱۲ |
| ZnO | ۶۴,۹ |
| V2O5 | ۶۰,۲۱ |
| Co3O4 | ۶۶ |
| P2O5 | ۶۴,۶ |
| K2O | ۴۰,۳۶ |
| TiO2 | ۲۱,۶ |
| Fe2O3 | ۶ |
| Na2O | ۴۰ |
| ZrO | ۳۹ |
| BaO | ۳۶ |
| Cr2O3 | ۱۴ |

تمامی مقادیر خارج از رده فوق می‌توانند به عنوان مقادیر آنومالی نیز تلقی گرددند زیرا تمامی مقادیر خارج از رده، دارای بالاترین مقدار در جوامع خود می‌باشند در بررسیهای آماری بعدی مقادیر خارج از رده ابتداء برای محاسبات حذف می‌گردد و محاسبات صورت می‌گیرد، سپس برای نمایش مقادیر

ناهنجار آنها وارد جدول ناهنجاری ها می گردد ولیکن در مورد همبستگی ها این مقادیر در نظر گرفته نشده است.

ج: خارج سازی مقادیر خارج از رده و نرمال سازی داده

در این مرحله از محاسبات آماری ابتداء مقادیر خارج از رده متغیرهای مختلف بیرون آورده می شود، البته تمام مقادیر خارج از رده برای تمام متغیرها از داده پردازی حذف نمی گردند و حداقل ۳ نمونه یعنی ۰/۵ درصد کل جامعه از هر متغیر حذف می گردد سپس از متغیرهایی که نرمال نشده باشند لگاریتم گرفته می شود و برای محاسبات آماری از پارامترهای نرمال شده استفاده می گردد.

ه: جداسازی آنومالیها

از روش حد آستانه‌ای به اضافه مقادیری از انحراف معیار ($x+ns$) برای جداسازی آنومالیها استفاده شده است. در این روش با برابر قراردادن مقدار میانگین یا میانه یا لگاریتم آنها به اضافه یک، دو و سه انحراف معیار در یک جامعه نرمال می باشد. در اینجا، ما مقدار حد آستانه‌ای را برابر مقدار میانگین باضافه یک انحراف معیار ($x+s$) در نظر می گیریم. برای تمایز حد آستانه‌ای، آنومالی درجه (۳)، آنومالی درجه (۲) و آنومالی درجه (۱) خواهیم داشت.

| | | |
|------------------------------|--------------------|---|
| $(x+s)$ | مقدار زمینه | منطبق بر کمتر از ۸۴/۱٪ فراوانی یک جامعه نرمال |
| $(x+s)$ | مقدار حد آستانه‌ای | منطبق بر ۸۴/۱٪ فراوانی یک جامعه نرمال |
| $(x+s) \text{ الى } (x+2s)$ | آنومالی درجه (۳) | ۸۴/۱٪ < فراوانی یک جامعه نرمال < ۹۷/۷٪ |
| $(x+2s) \text{ الى } (x+3s)$ | آنومالی درجه (۲) | ۹۷/۷٪ < فراوانی یک جامعه نرمال < ۹۹/۷٪ |
| $>(x+3s)$ | آنومالی درجه (۱) | > ۹۹/۷٪ فراوانی یک جامعه نرمال |

شرط استفاده از روش فوق برای بدست آوردن مقادیر فوق الذکر، نرمال بودن تابع توزیع عناصر می‌باشد. با توجه به خصلت لاغ نرمال عناصر مادر ابتداء از مقادیر لگاریتم گرفته‌ایم و بعد از لگاریتم گرفتن از داده‌ها، پارامترهای آماری هر عنصر جداگانه محاسبه و در جدول شماره (۲) آورده شده است. با توجه به این مطلب که یک جامعه نرمال دارای اسکیونس^۱ صفر و کورتوسیس^۲ برابر سه می‌باشد، ولیکن با توجه به جدول فوق مشاهده می‌نمائیم که اکثر مقادیر اسکیونس دارای اعداد منفی بالاتر صفر و تقریباً اکثر مقادیر کورتوسیس دارای اعداد بزرگتر از سه و کوچکتر از سه می‌باشد. و این مقادیر نمی‌توانند برای محاسبات آماری مناسب باشند، بنابراین پارامترهای آماری مقادیر خام را محاسبه می‌نمائیم.

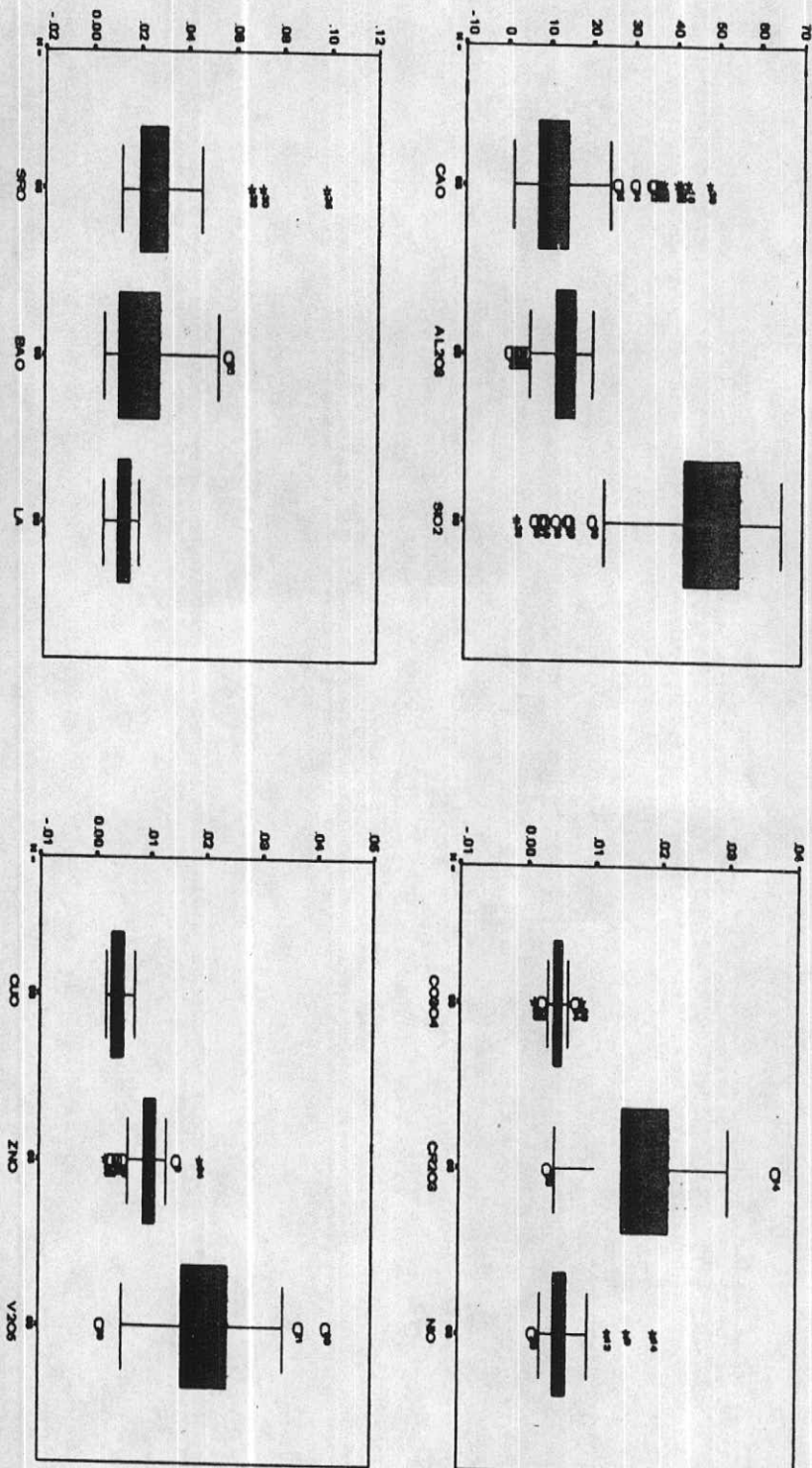
بعد از محاسبه پارامترهای آماری مقادیر خام، مقادیر $x+2s$ ، $x+3s$ نیز محاسبه گردیده و در جدول (۳) آورده شده است. با توجه به جدول فوق متوجه می‌شویم که واریانس اغلب عناصر در حد صفر می‌باشد و از پراش کمی برخوردار می‌باشند در صورتیکه در حالت اول که از داده لگاریتم گرفته شده است واریانسها به جز چند عنصر بالاتر از حالت داده‌های خام می‌باشد.

همچنین مقادیر اسکیونس داده‌های خام بهتر از داده‌های لگاریتم گرفته شده می‌باشد و مقادیر کورتوسیس اغلب در حد یک می‌باشند که برای پژوهش‌های اکتشافی می‌تواند مناسب باشد بنابراین برای مشخص نمودن مقادیر ناهنجار از داده‌های خام استفاده شده است.

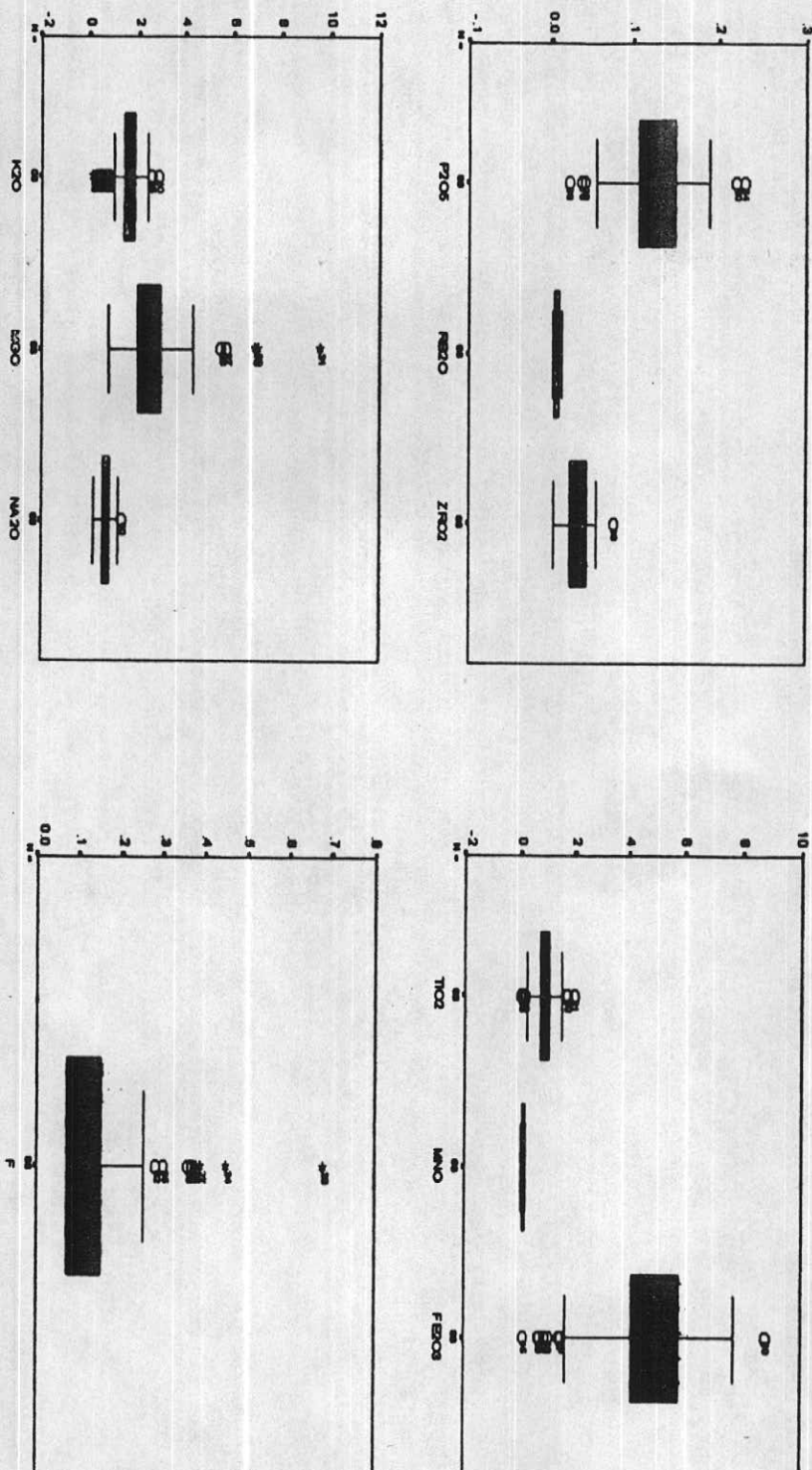
بعد از مشخص نمودن حدود ناهنجاریها، جدول (۴) محاسبه گردیده که در این جدول تعداد نمونه هر محدوده آنومالی همراه با شماره نمونه جدا گردیده‌اند. مقادیر $x+3s$ ممکن است برای تمامی عناصر وجود نداشته باشد و با توجه به خصلت توزیع عناصر در محدوده اکتشافی فوق این حالت طبیعی است. بیشترین مقادیر ناهنجاریها را اکسیدهای Co_3O_4 ، CaO ، CuO را دارا می‌باشند و کمترین مقادیر ناهنجاریها را اکسیدهای SrO ، Na_2O ، SO_3 دارا می‌باشند.

1) Skewness
2) Kurtosis

شکل (C₂)



شكل (C₁)



جدول (۴) : پارامترهای آماری مقادیر لاغر نرمال

| Element | Mean | Median | Mode | Std. Devia. | Variance | Skewness | Kurtosis | Minimum | Maximum |
|---------|--------|--------|--------|-------------|----------|----------|----------|---------|---------|
| AL2O3 | 1.049 | 1.137 | 1.207 | 0.275 | 0.076 | -2.720 | 8.803 | -0.282 | 1.301 |
| BAO | -1.686 | -1.678 | -2.301 | 0.630 | 0.397 | 3.519 | 16.472 | -2.301 | 1.505 |
| CAO | 1.031 | 1.063 | 0.866 | 0.329 | 0.108 | -0.197 | 0.514 | 0.137 | 1.679 |
| CO3O4 | -2.436 | -2.367 | -3.301 | 0.286 | 0.070 | -1.929 | 3.735 | -3.301 | -2.097 |
| CR2O3 | -1.805 | -1.745 | -1.745 | 0.219 | 0.048 | -1.755 | 3.429 | -2.602 | -1.432 |
| CUO | -2.406 | -2.367 | -2.444 | 0.130 | 0.017 | -0.771 | 0.020 | -2.770 | -2.180 |
| F | -0.973 | -1.125 | -1.125 | 0.278 | 0.077 | 1.572 | 1.143 | -1.125 | -0.167 |
| FE2O3 | 0.599 | 0.688 | 0.663 | 0.300 | 0.090 | -2.552 | 8.282 | -0.854 | 0.944 |
| K2O | 0.154 | 0.220 | 0.201 | 0.235 | 0.055 | -2.667 | 9.218 | -1.004 | 0.453 |
| LU | -1.876 | -1.824 | -1.824 | 0.138 | 0.019 | -1.244 | 1.083 | -2.301 | -1.699 |
| MgO | 0.386 | 0.319 | 0.288 | 0.180 | 0.032 | 1.000 | 2.290 | -0.125 | 0.982 |
| MnO | -1.009 | -0.924 | -0.854 | 0.249 | 0.082 | -1.649 | 2.481 | -1.824 | -0.678 |
| Na2O | -0.234 | -0.146 | -0.125 | 0.222 | 0.049 | -1.410 | 1.468 | -0.854 | 0.100 |
| NiO | -2.319 | -2.284 | -2.328 | 0.256 | 0.086 | -1.010 | 1.793 | -3.046 | -1.721 |
| P2O5 | -0.919 | -0.870 | -0.824 | 0.181 | 0.033 | -2.009 | 5.099 | -1.678 | -0.638 |
| RB2O | -2.242 | -2.143 | -2.086 | 0.271 | 0.074 | -1.543 | 1.826 | -3.155 | -1.886 |
| SiO2 | 1.604 | 1.720 | 1.723 | 0.274 | 0.075 | -2.512 | 8.814 | 0.384 | 1.812 |
| SO3 | -0.884 | -0.824 | -1.456 | 0.401 | 0.161 | 0.213 | 0.345 | -1.456 | 0.358 |
| SRO | -1.596 | -1.602 | -1.745 | 0.167 | 0.028 | 0.975 | 1.987 | -1.921 | -1.009 |
| TiO2 | -0.142 | -0.080 | -0.066 | 0.314 | 0.089 | -2.404 | 7.171 | -1.602 | 0.282 |
| V2O5 | -1.756 | -1.699 | -1.699 | 0.242 | 0.059 | -2.507 | 10.026 | -3.000 | -1.377 |
| ZnO | -2.041 | -2.016 | -1.921 | 0.145 | 0.021 | -1.862 | 5.316 | -2.638 | -1.721 |
| ZrO2 | -1.568 | -1.438 | -1.398 | 0.350 | 0.123 | -1.848 | 2.925 | -2.824 | -1.119 |

جدول (۵) : پارامترهای آماری و مقادیر ناهمogen برای داده های خام

| Element | Mean | Median | Mode | Std. Deviation | Variance | Skewness | Kurtosis | Minimum | Maximum | $\bar{X}+S$ | $\bar{X}+2S$ | $\bar{X}+3S$ |
|---------|--------|--------|--------|----------------|----------|----------|----------|---------|---------|-------------|--------------|--------------|
| AL203 | 12.684 | 13.700 | 16.100 | 4.489 | 20.154 | -1.092 | 0.623 | 0.510 | 20.000 | 17.173 | 21.662 | 28.152 |
| BAO | 0.020 | 0.021 | 0.005 | 0.012 | 0.000 | 0.645 | 0.887 | 0.006 | 0.057 | 0.032 | 0.043 | 0.056 |
| CAO | 14.089 | 10.800 | 9.900 | 11.145 | 124.203 | 1.548 | 1.452 | 1.370 | 47.800 | 25.234 | 36.378 | 47.523 |
| CO304 | 0.004 | 0.004 | 0.004 | 0.002 | 0.000 | -0.167 | 0.046 | 0.001 | 0.008 | 0.006 | 0.008 | 0.009 |
| CR203 | 0.017 | 0.018 | 0.018 | 0.006 | 0.000 | -0.056 | 1.014 | 0.003 | 0.037 | 0.024 | 0.030 | 0.036 |
| CUO | 0.004 | 0.004 | 0.004 | 0.001 | 0.000 | -0.141 | -0.220 | 0.002 | 0.007 | 0.005 | 0.006 | 0.008 |
| F | 0.139 | 0.075 | 0.075 | 0.135 | 0.018 | 2.551 | 6.737 | 0.075 | 0.680 | 0.274 | 0.409 | 0.544 |
| FE203 | 4.618 | 4.650 | 4.600 | 4.848 | 3.416 | -0.544 | 0.178 | 0.140 | 8.800 | 8.466 | 8.315 | 10.163 |
| K20 | 1.574 | 1.660 | 1.590 | 0.534 | 0.286 | -0.667 | 0.829 | 0.099 | 2.840 | 2.108 | 2.643 | 3.177 |
| LA | 0.014 | 0.015 | 0.015 | 0.004 | 0.000 | -0.597 | -0.264 | 0.005 | 0.020 | 0.018 | 0.021 | 0.025 |
| MgO | 2.080 | 2.085 | 1.940 | 1.461 | 2.136 | 2.863 | 8.521 | 0.750 | 9.800 | 4.142 | 5.603 | 7.065 |
| MnO | 0.111 | 0.119 | 0.140 | 0.044 | 0.002 | -0.289 | 0.108 | 0.015 | 0.210 | 0.155 | 0.200 | 0.244 |
| Na2O | 0.647 | 0.715 | 0.750 | 0.247 | 0.061 | -0.289 | 0.075 | 0.140 | 1.260 | 0.894 | 1.141 | 1.388 |
| NiO | 0.006 | 0.005 | 0.005 | 0.003 | 0.000 | 1.846 | 6.771 | 0.001 | 0.019 | 0.009 | 0.012 | 0.014 |
| P2O5 | 0.129 | 0.135 | 0.150 | 0.040 | 0.002 | -0.492 | 0.957 | 0.021 | 0.230 | 0.169 | 0.208 | 0.248 |
| RB20 | 0.007 | 0.007 | 0.008 | 0.003 | 0.000 | -0.388 | -0.333 | 0.001 | 0.013 | 0.009 | 0.012 | 0.015 |
| SiO2 | 45.582 | 52.450 | 52.900 | 16.000 | 256.016 | -1.344 | 0.696 | 2.310 | 64.900 | 61.582 | 77.583 | 93.583 |
| SO3 | 0.208 | 0.150 | 0.035 | 0.304 | 0.092 | 5.306 | 34.097 | 0.035 | 2.280 | 0.511 | 0.815 | 1.119 |
| SRO | 0.028 | 0.025 | 0.018 | 0.014 | 0.000 | 2.823 | 11.505 | 0.012 | 0.098 | 0.041 | 0.055 | 0.069 |
| TiO2 | 0.850 | 0.870 | 0.860 | 0.368 | 0.134 | -0.053 | 1.113 | 0.025 | 1.960 | 1.216 | 1.581 | 1.947 |
| V2O5 | 0.020 | 0.020 | 0.020 | 0.008 | 0.000 | 0.069 | 0.802 | 0.001 | 0.042 | 0.027 | 0.035 | 0.042 |
| ZnO | 0.010 | 0.010 | 0.010 | 0.003 | 0.000 | -0.088 | 2.987 | 0.002 | 0.019 | 0.012 | 0.015 | 0.017 |
| ZrO2 | 0.033 | 0.037 | 0.040 | 0.015 | 0.000 | -0.411 | 0.077 | 0.002 | 0.076 | 0.049 | 0.064 | 0.080 |

جدول (۴) : حدود ناهمچاریهای برای اکسیدها و عناصر مخفیان

| >X<38 | | >X<38 | | |
|-------------|-------------|-------------|-------------|-------------|-------------|-------------|-------------|-------------|-------------|-------------|-------------|-------------|-------------|-------------|-------------|-------------|-------------|-------------|---------|------|
| X<28>D>X<38 | | |
| < X<8 | | |
| code | [A22] | code | [M20] | code | [A203] | code | [3102] | code | [1205] | code | [K20] | code | [CaO] | code | [TiO2] | code | [V2O5] | code | [Cr2O3] | code |
| VGD-40 | 1.280 | VGD-31 | 0.800 | VGD-80 | 20.000 | VGD-38 | 0.230 | VGD-64 | 0.230 | VGD-40 | 2.840 | VGD-38 | 47.800 | VGD-21 | 1.960 | VGD-60 | 0.042 | VGD-14 | 0.037 | |
| VGD-39 | 1.180 | VGD-28 | 7.000 | VGD-65 | 0.800 | VGD-67 | 0.490 | VGD-60 | 0.220 | VGD-38 | 2.530 | VGD-18 | 42.500 | VGD-40 | 1.720 | VGD-21 | 0.037 | VGD-9 | 0.030 | |
| VGD-57 | 1.130 | VGD-13 | 6.900 | VGD-66 | 18.400 | VGD-66 | 0.62 | VGD-64 | 0.180 | VGD-66 | 2.370 | VGD-29 | 40.800 | VGD-63 | 1.510 | VGD-63 | 0.034 | VGD-57 | 0.028 | |
| VGD-36 | 1.020 | VGD-27 | 5.700 | VGD-66 | 18.000 | VGD-44 | 0.140 | VGD-5 | 0.160 | VGD-40 | 2.320 | VGD-28 | 40.000 | VGD-33 | 1.420 | VGD-33 | 0.031 | VGD-61 | 0.200 | |
| VGD-54 | 0.910 | VGD-26 | 5.500 | VGD-20 | 17.900 | VGD-40 | 0.670 | VGD-62 | 0.160 | VGD-58 | 2.320 | VGD-27 | 36.700 | VGD-39 | 1.220 | VGD-12 | 0.028 | VGD-21 | 0.025 | |
| VGD-5 | 0.880 | VGD-28 | 4.360 | VGD-63 | 17.900 | VGD-54 | 0.590 | VGD-61 | 0.170 | VGD-12 | 2.250 | VGD-28 | 36.000 | VGD-20 | 1.180 | VGD-64 | 0.028 | VGD-22 | 0.025 | |
| VGD-4 | 0.870 | VGD-16 | 4.310 | VGD-18 | 59.400 | VGD-8 | 0.580 | VGD-21 | 0.180 | VGD-30 | 2.250 | VGD-30 | 35.500 | VGD-54 | 1.180 | VGD-9 | 0.027 | VGD-60 | 0.025 | |
| VGD-48 | 0.880 | VGD-17 | 3.970 | VGD-64 | 17.000 | VGD-20 | 58.700 | VGD-40 | 0.160 | VGD-35 | 2.230 | VGD-31 | 34.500 | VGD-62 | 1.170 | VGD-10 | 0.027 | VGD-23 | 0.024 | |
| VGD-44 | 0.850 | VGD-15 | 3.650 | VGD-59 | 16.800 | VGD-6 | 56.000 | VGD-43 | 0.160 | VGD-61 | 2.020 | VGD-32 | 34.100 | VGD-10 | 1.160 | VGD-10 | 0.027 | VGD-66 | 0.024 | |
| VGD-23 | 0.840 | VGD-18 | 3.910 | VGD-39 | 16.300 | VGD-66 | 57.900 | VGD-44 | 0.160 | VGD-59 | 2.010 | VGD-34 | 26.900 | VGD-22 | 1.140 | VGD-59 | 0.027 | VGD-11 | 0.023 | |
| VGD-24 | 0.840 | VGD-36 | 3.460 | VGD-61 | 16.200 | VGD-54 | 0.200 | VGD-45 | 0.160 | VGD-54 | 2.000 | VGD-25 | 25.800 | VGD-14 | 1.110 | VGD-20 | 0.026 | VGD-39 | 0.023 | |
| VGD-50 | 0.830 | VGD-12 | 3.380 | VGD-12 | 16.100 | VGD-54 | 56.700 | VGD-44 | 0.160 | VGD-16 | 1.970 | VGD-13 | 24.100 | VGD-41 | 1.100 | VGD-41 | 0.023 | VGD-68 | 0.160 | |
| VGD-61 | 0.820 | VGD-40 | 3.300 | VGD-54 | 16.100 | VGD-6 | 56.300 | VGD-59 | 0.160 | VGD-20 | 58.700 | VGD-40 | 0.160 | VGD-35 | 2.300 | VGD-41 | 1.100 | VGD-60 | 0.027 | |
| VGD-66 | 0.820 | VGD-33 | 3.240 | VGD-62 | 16.100 | VGD-59 | 56.300 | VGD-37 | 0.150 | VGD-39 | 0.150 | VGD-59 | 1.920 | VGD-7 | 14.700 | VGD-59 | 0.025 | VGD-54 | 0.022 | |
| VGD-41 | 0.810 | VGD-44 | 3.040 | VGD-9 | 15.900 | VGD-35 | 56.200 | VGD-39 | 0.150 | VGD-41 | 1.870 | VGD-55 | 14.500 | VGD-8 | 1.070 | VGD-61 | 0.025 | VGD-93 | 0.022 | |
| VGD-45 | 0.800 | VGD-14 | 2.980 | VGD-33 | 15.800 | VGD-51 | 55.800 | VGD-42 | 0.150 | VGD-22 | 14.300 | VGD-57 | 1.050 | VGD-57 | 1.050 | VGD-23 | 0.024 | VGD-6 | 0.021 | |
| VGD-52 | 0.800 | VGD-12 | 2.980 | VGD-35 | 15.800 | VGD-41 | 55.200 | VGD-50 | 0.150 | VGD-17 | 1.820 | VGD-37 | 14.100 | VGD-24 | 1.040 | VGD-24 | 0.024 | VGD-64 | 0.140 | |
| VGD-1 | 0.790 | VGD-45 | 2.980 | VGD-10 | 15.700 | VGD-50 | 55.100 | VGD-51 | 0.150 | VGD-37 | 1.820 | VGD-2 | 13.900 | VGD-47 | 1.030 | VGD-54 | 0.024 | VGD-9 | 0.020 | |
| VGD-8 | 0.780 | VGD-44 | 2.910 | VGD-24 | 15.700 | VGD-1 | 54.800 | VGD-52 | 0.150 | VGD-6 | 1.810 | VGD-46 | 13.800 | VGD-61 | 1.030 | VGD-37 | 0.024 | VGD-86 | 0.131 | |
| VGD-47 | 0.770 | VGD-10 | 2.750 | VGD-8 | 15.600 | VGD-54 | 54.400 | VGD-63 | 0.150 | VGD-62 | 1.800 | VGD-50 | 13.600 | VGD-9 | 1.020 | VGD-11 | 0.023 | VGD-48 | 0.130 | |
| VGD-58 | 0.770 | VGD-25 | 2.780 | VGD-23 | 15.500 | VGD-52 | 54.000 | VGD-54 | 0.150 | VGD-3 | 1.790 | VGD-43 | 13.500 | VGD-10 | 1.010 | VGD-41 | 0.023 | VGD-10 | 0.018 | |
| VGD-2 | 0.760 | VGD-22 | 2.670 | VGD-40 | 15.200 | VGD-50 | 53.800 | VGD-56 | 0.150 | VGD-24 | 1.730 | VGD-50 | 13.500 | VGD-11 | 0.980 | VGD-18 | 0.022 | VGD-52 | 0.129 | |
| VGD-20 | 0.750 | VGD-35 | 2.570 | VGD-36 | 15.000 | VGD-50 | 53.800 | VGD-56 | 0.150 | VGD-25 | 1.720 | VGD-44 | 13.300 | VGD-58 | 0.980 | VGD-17 | 0.022 | VGD-33 | 0.019 | |
| VGD-35 | 0.750 | VGD-61 | 2.470 | VGD-11 | 14.800 | VGD-61 | 53.500 | VGD-57 | 0.150 | VGD-35 | 1.720 | VGD-42 | 12.700 | VGD-49 | 0.970 | VGD-49 | 0.022 | VGD-36 | 0.019 | |
| VGD-42 | 0.750 | VGD-58 | 2.430 | VGD-19 | 14.800 | VGD-19 | 53.400 | VGD-6 | 0.140 | VGD-14 | 1.810 | VGD-50 | 12.300 | VGD-50 | 0.960 | VGD-47 | 0.022 | VGD-59 | 0.019 | |
| VGD-43 | 0.750 | VGD-24 | 2.380 | VGD-22 | 14.800 | VGD-60 | 53.200 | VGD-50 | 0.140 | VGD-14 | 1.700 | VGD-56 | 12.000 | VGD-35 | 0.980 | VGD-61 | 0.019 | VGD-56 | 0.128 | |
| VGD-50 | 0.750 | VGD-64 | 2.380 | VGD-5 | 14.300 | VGD-42 | 53.100 | VGD-20 | 0.140 | VGD-19 | 1.890 | VGD-53 | 11.800 | VGD-12 | 0.950 | VGD-62 | 0.021 | VGD-6 | 0.128 | |
| VGD-53 | 0.750 | VGD-11 | 2.320 | VGD-41 | 14.300 | VGD-3 | 52.800 | VGD-33 | 0.140 | VGD-4 | 1.890 | VGD-50 | 11.500 | VGD-8 | 0.930 | VGD-1 | 0.018 | VGD-46 | 0.122 | |
| VGD-19 | 0.730 | VGD-23 | 2.320 | VGD-23 | 14.200 | VGD-33 | 52.800 | VGD-2 | 0.920 | VGD-4 | 1.890 | VGD-53 | 11.300 | VGD-45 | 0.910 | VGD-39 | 0.021 | VGD-2 | 0.121 | |
| VGD-37 | 0.730 | VGD-19 | 2.290 | VGD-14 | 14.200 | VGD-63 | 52.800 | VGD-36 | 0.140 | VGD-23 | 11.370 | VGD-62 | 11.300 | VGD-19 | 0.120 | VGD-19 | 0.018 | VGD-3 | 4.900 | |

(F) جدول اداء

| X<38 | | | |
|-------------|-------|-------------|-------|-------------|-------|-------------|-------|-------------|-------|-------------|-------|-------------|-------|-------------|-------|-------------|-------|-------------|-------|--------|-------|
| X<38>D>X<38 | | | |
| < X<38 | | < X<38 | | < X<38 | | < X<38 | | < X<38 | | < X<38 | | < X<38 | | < X<38 | | < X<38 | | < X<38 | | | |
| code | C0004 | ANo | code | C005 | code | C005 | |
| VGD-50 | 0.008 | VGD-14 | 0.019 | VGD-49 | 0.007 | VGD-44 | 0.009 | VGD-28 | 0.008 | VGD-78 | 0.078 | VGD-39 | 0.078 | VGD-36 | 0.087 | VGD-12 | 0.021 | VGD-28 | 0.080 | VGD-38 | 0.280 |
| VGD-63 | 0.006 | VGD-9 | 0.015 | VGD-22 | 0.008 | VGD-9 | 0.018 | VGD-30 | 0.071 | VGD-84 | 0.086 | VGD-37 | 0.053 | VGD-20 | 0.020 | VGD-31 | 0.080 | VGD-58 | 0.012 | VGD-58 | 0.880 |
| VGD-84 | 0.007 | VGD-12 | 0.012 | VGD-64 | 0.006 | VGD-61 | 0.013 | VGD-32 | 0.008 | VGD-57 | 0.034 | VGD-40 | 0.041 | VGD-47 | 0.020 | VGD-34 | 0.450 | VGD-65 | 0.011 | VGD-25 | 0.700 |
| VGD-14 | 0.007 | VGD-63 | 0.009 | VGD-58 | 0.006 | VGD-12 | 0.012 | VGD-17 | 0.012 | VGD-20 | 0.046 | VGD-35 | 0.051 | VGD-56 | 0.041 | VGD-5 | 0.019 | VGD-27 | 0.390 | VGD-39 | 0.011 |
| VGD-6 | 0.007 | VGD-60 | 0.009 | VGD-12 | 0.009 | VGD-60 | 0.009 | VGD-30 | 0.012 | VGD-16 | 0.050 | VGD-42 | 0.050 | VGD-16 | 0.016 | VGD-18 | 0.380 | VGD-59 | 0.010 | VGD-30 | 0.430 |
| VGD-21 | 0.006 | VGD-64 | 0.009 | VGD-23 | 0.006 | VGD-30 | 0.012 | VGD-34 | 0.040 | VGD-47 | 0.050 | VGD-64 | 0.032 | VGD-51 | 0.018 | VGD-29 | 0.370 | VGD-12 | 0.018 | VGD-32 | 0.370 |
| VGD-10 | 0.008 | VGD-61 | 0.009 | VGD-9 | 0.008 | VGD-32 | 0.012 | VGD-27 | 0.038 | VGD-45 | 0.049 | VGD-56 | 0.031 | VGD-31 | 0.018 | VGD-38 | 0.360 | VGD-40 | 0.010 | VGD-21 | 0.380 |
| VGD-61 | 0.006 | VGD-6 | 0.008 | VGD-14 | 0.006 | VGD-58 | 0.012 | VGD-10 | 0.038 | VGD-2 | 0.048 | VGD-6 | 0.030 | VGD-39 | 0.018 | VGD-25 | 0.300 | VGD-20 | 0.010 | VGD-36 | 0.280 |
| VGD-12 | 0.006 | VGD-17 | 0.008 | VGD-20 | 0.005 | VGD-59 | 0.012 | VGD-28 | 0.038 | VGD-44 | 0.048 | VGD-9 | 0.030 | VGD-96 | 0.018 | VGD-32 | 0.280 | VGD-64 | 0.009 | VGD-18 | 0.280 |
| VGD-24 | 0.006 | VGD-11 | 0.007 | VGD-36 | 0.005 | VGD-90 | 0.012 | VGD-37 | 0.038 | VGD-6 | 0.047 | VGD-12 | 0.030 | VGD-17 | 0.017 | VGD-92 | 0.009 | VGD-26 | 0.270 | VGD-9 | 0.009 |
| VGD-58 | 0.006 | VGD-16 | 0.007 | VGD-2 | 0.005 | VGD-96 | 0.012 | VGD-46 | 0.038 | VGD-49 | 0.047 | VGD-19 | 0.030 | VGD-37 | 0.017 | VGD-13 | 0.220 | VGD-9 | 0.009 | VGD-24 | 0.280 |
| VGD-64 | 0.006 | VGD-86 | 0.007 | VGD-61 | 0.008 | VGD-9 | 0.008 | VGD-32 | 0.012 | VGD-27 | 0.038 | VGD-56 | 0.049 | VGD-56 | 0.031 | VGD-3 | 0.018 | VGD-38 | 0.360 | VGD-40 | 0.010 |
| VGD-20 | 0.008 | VGD-22 | 0.008 | VGD-14 | 0.006 | VGD-56 | 0.012 | VGD-10 | 0.038 | VGD-5 | 0.048 | VGD-6 | 0.030 | VGD-39 | 0.018 | VGD-25 | 0.300 | VGD-20 | 0.010 | VGD-36 | 0.280 |
| VGD-35 | 0.005 | VGD-24 | 0.007 | VGD-20 | 0.005 | VGD-59 | 0.012 | VGD-38 | 0.038 | VGD-44 | 0.048 | VGD-9 | 0.030 | VGD-96 | 0.018 | VGD-32 | 0.280 | VGD-64 | 0.009 | VGD-18 | 0.280 |
| VGD-59 | 0.005 | VGD-23 | 0.007 | VGD-24 | 0.005 | VGD-45 | 0.011 | VGD-42 | 0.033 | VGD-6 | 0.044 | VGD-43 | 0.029 | VGD-56 | 0.017 | VGD-51 | 0.180 | VGD-5 | 0.008 | VGD-64 | 0.250 |
| VGD-23 | 0.005 | VGD-64 | 0.005 | VGD-24 | 0.007 | VGD-9 | 0.007 | VGD-63 | 0.006 | VGD-63 | 0.014 | VGD-31 | 0.031 | VGD-48 | 0.044 | VGD-39 | 0.028 | VGD-64 | 0.180 | VGD-41 | 0.008 |
| VGD-62 | 0.005 | VGD-10 | 0.008 | VGD-66 | 0.008 | VGD-3 | 0.011 | VGD-24 | 0.031 | VGD-49 | 0.043 | VGD-24 | 0.031 | VGD-49 | 0.028 | VGD-48 | 0.016 | VGD-48 | 0.150 | VGD-9 | 0.008 |
| VGD-17 | 0.003 | VGD-21 | 0.006 | VGD-58 | 0.005 | VGD-59 | 0.008 | VGD-59 | 0.022 | VGD-54 | 0.046 | VGD-43 | 0.046 | VGD-44 | 0.030 | VGD-48 | 0.017 | VGD-18 | 0.220 | VGD-16 | 0.009 |
| VGD-20 | 0.005 | VGD-52 | 0.007 | VGD-59 | 0.008 | VGD-61 | 0.007 | VGD-61 | 0.022 | VGD-54 | 0.046 | VGD-41 | 0.044 | VGD-46 | 0.030 | VGD-54 | 0.020 | VGD-56 | 0.010 | VGD-60 | 0.280 |
| VGD-35 | 0.005 | VGD-24 | 0.007 | VGD-41 | 0.005 | VGD-65 | 0.008 | VGD-38 | 0.034 | VGD-42 | 0.033 | VGD-42 | 0.033 | VGD-43 | 0.029 | VGD-49 | 0.017 | VGD-49 | 0.250 | VGD-27 | 0.009 |
| VGD-59 | 0.005 | VGD-23 | 0.007 | VGD-24 | 0.005 | VGD-45 | 0.011 | VGD-42 | 0.033 | VGD-6 | 0.044 | VGD-43 | 0.029 | VGD-56 | 0.017 | VGD-51 | 0.180 | VGD-5 | 0.008 | VGD-64 | 0.250 |
| VGD-23 | 0.005 | VGD-64 | 0.005 | VGD-63 | 0.006 | VGD-63 | 0.005 | VGD-63 | 0.014 | VGD-31 | 0.031 | VGD-48 | 0.044 | VGD-39 | 0.028 | VGD-64 | 0.017 | VGD-12 | 0.180 | VGD-41 | 0.008 |
| VGD-62 | 0.005 | VGD-17 | 0.003 | VGD-21 | 0.006 | VGD-5 | 0.011 | VGD-43 | 0.031 | VGD-21 | 0.043 | VGD-51 | 0.031 | VGD-49 | 0.028 | VGD-48 | 0.016 | VGD-39 | 0.009 | VGD-33 | 0.230 |
| VGD-33 | 0.005 | VGD-5 | 0.006 | VGD-44 | 0.005 | VGD-44 | 0.005 | VGD-12 | 0.030 | VGD-42 | 0.042 | VGD-22 | 0.028 | VGD-2 | 0.075 | VGD-24 | 0.008 | VGD-1 | 0.075 | VGD-8 | 0.008 |
| VGD-39 | 0.005 | VGD-50 | 0.006 | VGD-19 | 0.005 | VGD-18 | 0.011 | VGD-50 | 0.030 | VGD-37 | 0.041 | VGD-54 | 0.024 | VGD-51 | 0.016 | VGD-35 | 0.035 | VGD-29 | 0.180 | VGD-23 | 0.180 |
| VGD-11 | 0.005 | VGD-33 | 0.006 | VGD-1 | 0.005 | VGD-22 | 0.011 | VGD-59 | 0.030 | VGD-53 | 0.041 | VGD-41 | 0.016 | VGD-49 | 0.026 | VGD-4 | 0.075 | VGD-37 | 0.008 | VGD-23 | 0.180 |
| VGD-22 | 0.005 | VGD-2 | 0.006 | VGD-6 | 0.008 | VGD-62 | 0.010 | VGD-59 | 0.030 | VGD-63 | 0.041 | VGD-16 | 0.025 | VGD-60 | 0.016 | VGD-5 | 0.075 | VGD-60 | 0.180 | VGD-59 | 0.180 |
| VGD-68 | 0.005 | VGD-37 | 0.008 | VGD-33 | 0.005 | VGD-30 | 0.010 | VGD-23 | 0.028 | VGD-65 | 0.041 | VGD-66 | 0.025 | VGD-68 | 0.016 | VGD-6 | 0.075 | VGD-83 | 0.008 | VGD-61 | 0.180 |
| VGD-6 | 0.005 | VGD-41 | 0.008 | VGD-65 | 0.005 | VGD-2 | 0.010 | VGD-15 | 0.027 | VGD-19 | 0.040 | VGD-23 | 0.024 | VGD-1 | 0.016 | VGD-7 | 0.075 | VGD-50 | 0.008 | VGD-62 | 0.180 |
| VGD-39 | 0.005 | VGD-68 | 0.006 | VGD-6 | 0.008 | VGD-36 | 0.010 | VGD-10 | 0.026 | VGD-50 | 0.040 | VGD-64 | 0.015 | VGD-6 | 0.075 | VGD-53 | 0.008 | VGD-9 | 0.170 | VGD-3 | 0.170 |
| VGD-2 | 0.005 | VGD-36 | 0.006 | VGD-50 | 0.005 | VGD-14 | 0.010 | VGD-49 | 0.026 | VGD-52 | 0.040 | VGD-21 | 0.010 | VGD-61 | 0.022 | VGD-24 | 0.015 | VGD-10 | 0.017 | VGD-19 | 0.008 |
| VGD-65 | 0.005 | VGD-65 | 0.006 | VGD-62 | 0.008 | VGD-21 | 0.010 | VGD-63 | 0.026 | VGD-56 | 0.040 | VGD-61 | 0.022 | VGD-33 | 0.015 | VGD-11 | 0.075 | VGD-14 | 0.015 | VGD-22 | 0.008 |
| VGD-1 | 0.005 | VGD-6 | 0.006 | VGD-16 | 0.008 | VGD-41 | 0.004 | VGD-37 | 0.004 | VGD-24 | 0.010 | VGD-63 | 0.026 | VGD-21 | 0.039 | VGD-26 | 0.022 | VGD-14 | 0.075 | VGD-15 | 0.008 |
| VGD-41 | 0.005 | VGD-16 | 0.008 | VGD-2 | 0.004 | VGD-37 | 0.010 | VGD-58 | 0.028 | VGD-21 | 0.039 | VGD-60 | 0.022 | VGD-13 | 0.025 | VGD-39 | 0.015 | VGD-22 | 0.022 | VGD-23 | 0.008 |
| VGD-8 | 0.004 | VGD-2 | 0.005 | VGD-3 | 0.004 | VGD-3 | 0.010 | VGD-13 | 0.025 | VGD-39 | 0.015 | VGD-60 | 0.022 | VGD-15 | 0.075 | VGD-15 | 0.015 | VGD-16 | 0.016 | VGD-46 | 0.160 |

۵: بررسی همبستگی

ضریب همبستگی آماره‌ای^۱ است به منظور اندازه‌گیری قدرت یا درجه یک پیوند خطی فرض شده بین دو متغیر که هر یک بطور جداگانه با مقیاسهای مستقل اندازه‌گیری شده‌اند. معروفترین ضریب همبستگی همبستگی پیرسون^۲ می‌باشد. همبستگی پیرسون به گونه‌ای تعریف شده است که تنها می‌تواند مقادیر بین -1 و $+1$ را قبول نماید. هرچه قدر مطلق آن بزرگ‌تر باشد، بیضی پراکنش داده‌ها باریکتر می‌شود، و نقطه‌ها به خط رگرسیون نمودار پراکنش نزدیکتر می‌شوند. یک همبستگی واقعی زمانی پیش می‌آید که مقادیر یک متغیر را بتوان دقیقاً از روی مقادیر متغیر دیگر و با استفاده از همبستگی پیرسون که مقدار $1 \pm$ را داشته باشد حدس زده، که در اینصورت تمام نقطه‌ها برروی خط رگرسیون وجود خواهد داشت. در موارد دیگر هرچه توده بیضی شکل نقطه‌ها باریکتر باشد، رابطه با پیوند بیشتر خواهد بود و قدر مطلق همبستگی پیرسون، بالاتر خواهد بود. زمانی که هیچ همبستگی بین دو متغیر وجود نداشته باشد، شکل نمودار پراکنشی تقریباً دایره‌ای شکل خواهد بود و در این صورت مقدار همبستگی پیرسون تقریباً صفر می‌گردد. مقدار $+1$ یعنی همبستگی همسو و در یک جهت و با اضافه شدن به یک متغیر، متغیر دیگر افزایش می‌یابد و با کاهش یک متغیر، متغیر دیگر کاهش می‌یابد.

در این پژوهه برای محاسبه ضریب همبستگی پیرسون از نرم افزار Statistica استفاده شده است و محاسبه ضرائب همبستگی برای عناصر در جدول (۵) آورده شده است، بجز میزان همبستگی سطح اعتماد هر همبستگی نیز در جدول (۶) محاسبه گردیده است. مقدار ۰.۰۰ یعنی میزان همبستگی بین دو متغیر صدرصد معتبر می‌باشد و سطح اعتماد بین دو متغیر 100% می‌باشد. مقدار ۰.۰۵ یعنی ضریب همبستگی بین دو متغیر در سطح اعتماد 95% معتبر می‌باشد و همینطور بقیه سطوح اعتماد تعريف می‌گردد. با توجه به پژوهه‌های اکتشافی که سطح اعتماد 95% یک سطح اعتماد مناسب می‌باشد، در این پژوهه نیز سطح اعتماد 95% ملاک عمل قرار می‌گیرد، بنابراین اگر سطح اعتمادی

1) Correlation Coefficient
2) Pearson Correlation

> باشد، ضریب همبستگی هر عددی که باشد معتبر تلقی نمی‌گردد. بنایه مطالب فوق همبستگی

اکسیدهای عنصر به شرح ذیل است:

Al₂O₃: این اکسید بیشترین میزان همبستگی مثبت را با اکسیدهای Fe_2O_3 , V_2O_5 , CaO و F دارد و بیشترین همبستگی منفی را با اکسیدهای CO_3O_4 دارد. هیچگونه ارتباط همبستگی را دارا نمی‌باشد زیرا سطح اعتماد بین این دواکسید $0/73$ می‌باشد MgO که خیلی بزرگتر از $0/05$ است. با توجه به همبستگی‌های فوق مقدار Al_2O_3 ارتباط مستقیم با سنگهای آذرین منطقه دارد و هر کجا که سنگها کربناته می‌شوند همبستگی معکوس از خودنشان داده است.

BaO: بیشترین همبستگی معتبر را این اکسید با اکسیدهای SiO_2 , K_2O , Na_2O , ZrO_2 دارد می‌باشد که چنین همبستگی نشان ارتباط نزدیک اکسید BaO با سنگهای اسیدی منطقه می‌باشد (توفهای موجود در منطقه) و بیشترین همبستگی معتبر منفی را با عنصر F دارد می‌باشد و احتمالاً هر کجا مقدار این اکسید افزایش می‌یابد مقدار F کاهش پیدا نموده چنین حالتی را به دوگونه می‌توان تفسیر نمود:

اول آنکه اگر رگه‌های فلورین در منطقه فوق وجود داشته باشند این رگه‌ها عاری از کانی باریت می‌باشد. دوم آنکه مقدار این اکسید در سنگهای اسیدی دارای مقادیر بالا می‌باشد و به خاطر وجود احتمالی فلورین در سنگهای کربناته منطقه وجود باریت نمی‌تواند مقادیر بالائی از خودنشان دهد.

CaO: بیشترین میزان همبستگی مثبت معتبر این اکسید با عنصر F و اکسیدهای SO_3 و SrO می‌باشد و با اکثر اکسیدهای دیگر دارای همبستگی منفی می‌باشد که این همبستگی‌ها با توجه به محیط‌های سنگی مختلف (سنگهای کربناته و سنگهای آذرین) دور از انتظار نمی‌باشد و با توجه به این همبستگی‌ها متوجه می‌شویم که این همبستگی بیشتر متأثر از سنگهای کربناته می‌باشد.

Co₃O₄: همبستگی‌های قوی بین این اکسید و اکسیدهای Al_2O_3 , Fe_2O_3 , V_2O_5 , TiO_2 , CuO وجود دارد که بجزء CuO این همبستگی قوی می‌تواند متأثر از سنگهای

آذربین خروجی قلیایی در منطقه مورد پی جوئی باشد و در نرم سنگهای قلیائی معمولاً این اکسیدها بالاتر از سنگهای اسیدی و کربناته می‌باشد، از طرفی اکسید فوق با اکسیدهای SrO ، SO_3 و F دارای همبستگی معکوس می‌باشد.

همبستگی Cr₂O₃: همبستگی این اکسید تقریباً شبیه همبستگی Co_3O_4 می‌باشد، فقط ضرائب همبستگی در مورد Cr_2O_3 پائین‌تر از ضرائب همبستگی Co_3O_4 می‌باشد.
همبستگی CuO: بیشترین میزان همبستگی مثبت با اکسید فوق در ارتباط با اکسیدهای Fe_2O_3 ، ZnO مرتبط به مقدار زمینه سنگهای قلیائی منطقه بدانیم و اگر اکسیدها را بجزء ZnO مرتبط به مقدار TiO_2 ، Al_2O_3 ، NiO ، V_2O_5 ، Co_3O_4 این کانی‌سازی می‌تواند در سنگهای آذربین اتفاق افتداده باشد. با توجه به همبستگی‌های فوق کانی‌سازی احتمالی مس نمی‌تواند در ارتباط با سنگهای کربناته باشد.

همبستگی F: این عنصر اغلب با اکسیدها دارای همبستگی منفی می‌باشد و رابطه معکوسی با اغلب اکسیدها را دارا می‌باشد، تنها با اکسیدهای CaO ، SO_3 و MgO دارای همبستگی مثبت می‌باشد و با توجه به همبستگی‌های فوق متوجه این نکته می‌گردیم که اگر کانی‌سازی فلورین در منطقه رخ داده باشد به احتمال قوی در سنگهای کربناته منطقه مورد پی جوئی می‌باشد.

همبستگی Fe₂O₃: همبستگی‌های قوی میان این اکسید با اکسیدهای V_2O_5 ، Al_2O_3 ، NiO ، Co_3O_4 ، CuO ، Cr_2O_3 و TiO_2 می‌باشد، این همبستگی می‌تواند متأثر از دو پدیده باشد اول آنکه متأثر از سنگهای قلیائی باشد یا در ارتباط با گو سن آهنی منطقه که متأثر از کانی‌سازی می‌باشد باعث همبستگی‌های فوق گردیده است. این اکسید با اکسیدهای CaO و SrO و عنصر F دارای همبستگی منفی و رابطه معکوس می‌باشد.

همبستگی K₂O و Na₂O: همبستگی این دواکسید با اکسیدهای دیگر تقریباً هم سو می‌باشد یعنی هردو این اکسیدها با اکسیدهای مشابه دارای همبستگی مثبت یا منفی می‌باشد ولیکن ضرائب همبستگی در مورد این دواکسید متفاوت می‌باشد.

همبستگی‌های دیگر اکسیدها را می‌توان مانند اکسیدهای فوق از روی جدول همبستگی به آسانی بدست آورد و از آوردن مطالب تکراری در مورد اکسیدهای دیگر خودداری می‌گردد. و نتیجه‌گیری در مورد هر اکسید را به نظر کارشناس، جدول همبستگی‌ها و تصمیم‌گیری در اکتشافات بعدی معطوف می‌داریم.

لازم به ذکر است که در محاسبه همبستگی مقادیر خارج از رده بالای ۵٪ جامعه کل به جزء عنصر F از کل داده‌ها حذف گردیده و همبستگی‌ها براساس داده‌های نرمال شده و بدون مقادیر خارج از رده می‌باشد، زیرا مقادیر خارج از رده باعث افزایش میزان همبستگی بین متغیرها می‌گردد، با این حال مقادیر همبستگی مثبت بالای ۸٪ در بین ضرائب همبستگی اکسیدها قابل توجه می‌باشد که از نظر آماری پیوندهای قوی آماری بین اکسیدها و از نظر ژئوشیمیائی پارازنرهای ژئوشیمیائی قوی بین اکسیدها وجود دارد و از همبستگی فوق می‌توان نتایج ذیل را در منطقه فوق محتمل دانست:

- ۱- احتمال وجود کانی سازی فلورین بصورت رگه‌ای یا دیسپرس در سنگهای کربناته و رسوبی
- ۲- احتمال وجود کانی سازی‌های مس و آهن در سنگهای آذرین قلیابی
- ۳- احتمال وجود کانی سازی باریم، سرب و روی در سنگهای اسیدی
- ۴- وجود سه نوع سنگ با ترکیب سنگهای رسوبی (غلب کربناته)-سنگهای آذرین اسیدی (توفها و ریولیت)، سنگهای آذرین خروجی قلیابی و نیمه قلیابی (دیاباز)

جدول (۷) : ضرائب همیستگی اکسیدها و عناصر به روش پیرسون

جدول (۸) : سطوح اعتماد برای اکسیدها و عناصر به روش بیرسون

| | AL2O3 | BAO | CAO | CO3O4 | CR2O3 | CUO | F | FE2O3 | K2O | LA | MGO | MNO | NA2O | NiO | P2O5 | RB2O | SiO2 | SO3 | SRO | TiO2 | V2O5 | ZnO | ZrO2 |
|-------|-------|------|------|-------|-------|------|------|-------|------|------|------|------|------|------|------|------|------|------|------|------|------|------|------|
| AL2O3 | 0.00 | 0.00 | 0.00 | 0.01 | 0.01 | 0.00 | 0.00 | 0.00 | 0.00 | 0.00 | 0.50 | 0.00 | 0.00 | 0.00 | 0.00 | 0.00 | 0.00 | 0.00 | 0.00 | 0.00 | 0.00 | 0.00 | |
| BAO | | | | | | | | | | | | | | | | | | | | | | | |
| CAO | | | | | | | | | | | | | | | | | | | | | | | |
| CO3O4 | | | | | | | | | | | | | | | | | | | | | | | |
| CR2O3 | | | | | | | | | | | | | | | | | | | | | | | |
| CUO | | | | | | | | | | | | | | | | | | | | | | | |
| F | | | | | | | | | | | | | | | | | | | | | | | |
| FE2O3 | | | | | | | | | | | | | | | | | | | | | | | |
| K2O | | | | | | | | | | | | | | | | | | | | | | | |
| LA | | | | | | | | | | | | | | | | | | | | | | | |
| MGO | | | | | | | | | | | | | | | | | | | | | | | |
| MNO | | | | | | | | | | | | | | | | | | | | | | | |
| NA2O | | | | | | | | | | | | | | | | | | | | | | | |
| NiO | | | | | | | | | | | | | | | | | | | | | | | |
| P2O5 | | | | | | | | | | | | | | | | | | | | | | | |
| RB2O | | | | | | | | | | | | | | | | | | | | | | | |
| SiO2 | | | | | | | | | | | | | | | | | | | | | | | |
| SO3 | | | | | | | | | | | | | | | | | | | | | | | |
| SR0 | | | | | | | | | | | | | | | | | | | | | | | |
| TiO2 | | | | | | | | | | | | | | | | | | | | | | | |
| V2O5 | | | | | | | | | | | | | | | | | | | | | | | |
| ZnO | | | | | | | | | | | | | | | | | | | | | | | |
| ZrO2 | | | | | | | | | | | | | | | | | | | | | | | |
| AL2O3 | 0.00 | 0.00 | 0.00 | 0.01 | 0.01 | 0.00 | 0.00 | 0.00 | 0.00 | 0.00 | 0.50 | 0.00 | 0.00 | 0.00 | 0.00 | 0.00 | 0.00 | 0.00 | 0.00 | 0.00 | 0.00 | 0.00 | |
| BAO | | | | | | | | | | | | | | | | | | | | | | | |
| CAO | | | | | | | | | | | | | | | | | | | | | | | |
| CO3O4 | | | | | | | | | | | | | | | | | | | | | | | |
| CR2O3 | | | | | | | | | | | | | | | | | | | | | | | |
| CUO | | | | | | | | | | | | | | | | | | | | | | | |
| F | | | | | | | | | | | | | | | | | | | | | | | |
| FE2O3 | | | | | | | | | | | | | | | | | | | | | | | |
| K2O | | | | | | | | | | | | | | | | | | | | | | | |
| LA | | | | | | | | | | | | | | | | | | | | | | | |
| MGO | | | | | | | | | | | | | | | | | | | | | | | |
| MNO | | | | | | | | | | | | | | | | | | | | | | | |
| NA2O | | | | | | | | | | | | | | | | | | | | | | | |
| NiO | | | | | | | | | | | | | | | | | | | | | | | |
| P2O5 | | | | | | | | | | | | | | | | | | | | | | | |
| RB2O | | | | | | | | | | | | | | | | | | | | | | | |
| SiO2 | | | | | | | | | | | | | | | | | | | | | | | |
| SO3 | | | | | | | | | | | | | | | | | | | | | | | |
| SR0 | | | | | | | | | | | | | | | | | | | | | | | |
| TiO2 | | | | | | | | | | | | | | | | | | | | | | | |
| V2O5 | | | | | | | | | | | | | | | | | | | | | | | |
| ZnO | | | | | | | | | | | | | | | | | | | | | | | |
| ZrO2 | | | | | | | | | | | | | | | | | | | | | | | |

و: آنالیز خوشهای (کلاستر آنالیز)

یکی از روش‌های مناسب چند متغیره برای بدست آوردن تشابه بین عناصر روش آنالیز خوشهای می‌باشد. در این روش تجزیه و تحلیل داده‌های ژئوشیمیائی و عناصر در گروهها و زیرگروههای مختلف طبقه‌بندی می‌شوند. روش‌های مختلفی برای گروه بندی عناصر وجود دارد. مناسب‌ترین روش برای داده‌های ژئوشیمیائی روش سلسله مراتبی^۴ می‌باشد.

روش‌های مختلفی نیز برای رسم نمودار درختی (دندروگرام) استفاده می‌شود که در این پژوهه از روش گروه بندی، میان گروهی با استفاده از ضرائب همبستگی استفاده شده است. بنابراین اساس گروه‌بندی همبستگی بین عناصر می‌باشد. برای بررسی تشابه عناصر ابتداء بدون جداسازی عناصر، تمامی عناصر دریک مرحله مورد آزمایش قرار گرفته‌اند که نتیجه نهایی آن در شکل (D) آورده شده است. با توجه به شکل فوق نتایج ذیل بدست آمده است:

بطور کلی دو گروه اصلی مشخص گردیده‌اند که یک گروه (۱) شامل F و CaO و MgO و SO_3 و SrO و گروه بعدی شامل بقیه اکسیدها می‌باشد. هر گروه بصورت ذیل بررسی می‌گردد:
گروه (۱): این گروه شامل ۲ زیر گروه می‌باشد که در زیر گروه اول F و CaO با تشابه خوب و MgO با تشابه تقریباً خوب قرار گرفته‌اند که دلالت بریک همبستگی ژنتیکی بین F با CaO و MgO در منطقه مورد اکتشاف می‌نماید. اگر CaO و MgO را نمایانگر سنتگهای کربناته منطقه یعنی آهک و دولومیت در نظر بگیریم متوجه می‌شویم که احتمال وجود رگه‌های فلورین در سنتگهای آهک و دولومیت خلی
بالا می‌باشد و برای اکتشافات بعدی می‌تواند یک راهنمای مناسب در نظر گرفته شود. زیر گروه بعدی اکسیدهای SO_3 و SrO می‌باشد که می‌تواند دلالت بروجود سولفات استرانسیم (کانی سلسیم)
در منطقه فوق باشد. از طرفی این دواکسید همبستگی و تشابه نسبتاً خوبی با زیر گروه اول که معرف واحدهای کربناته و فلورئور می‌باشد از خود نشان داده است و همین تشابه احتمال وجود کانی سلسیم را در واحدهای کربناته منطقه بالا می‌برد. البته ممکن است وجود سلسیم بصورت رگچه‌های بسیار کوچک یا ذخایر نسبتاً مناسب باشد.

در مجموع گروه اول سنگهای کربناته و همراهی احتمالی فلورین و سلسیئن در منطقه مورد اکتشاف را نوید می‌دهد.

گروه ۲: این گروه شامل اکسیدهای سنگ ساز و همچنین عناصر کانسارساز می‌باشد. با توجه به مقادیر اکسیدی بالای K_2O , Na_2O , Al_2O_3 , SiO_2 و ... در مطالعات اولیه، آماری و زمین‌شناسی عمومی منطقه وجود سنگهای آذرین در منطقه بسیار محتمل می‌باشد با این شرط به شرح گروه دوم می‌پردازیم.

این گروه شامل چندین زیرگروه می‌باشد که هر کدام از این زیرگروهها می‌تواند مؤید بر وجود یک تیپ سنگ یا کانی‌سازی در منطقه فوق باشند. زیرگروه اول شامل اکسیدهای V_2O_5 , TiO_2 , CO_3O_4 و Al_2O_3 با تشابه و همبستگی بسیار بالا می‌باشد. با توجه به قرار گرفتن اکسیدهای فوق در یک زیرگروه و با توجه به طبقه‌بندی ژئوشیمیابی عناصر متوجه می‌شویم که تمامی اکسیدهای فوق شامل عناصر اکسی فیل و زیرمجموعه‌های لیتوفیل و سیدرفیل می‌باشند و قرار گرفتن در یک زیرگروه امری بدیهی است و نمی‌توان به عنوان کانی‌سازی در نظر گرفت. وجود اکسید مس (CuO) در این گروه با تشابه خوب ولیکن به طور مجزا می‌تواند مؤید وجود کانیهای مس در سنگهای آذرین بصورت خیلی اندک قلیل در منطقه مورد اکتشاف باشد. دو اکسید Cr_2O_3 و NiO که دارای تشابه و همبستگی خوبی باهم می‌باشند و از نظر ژئوشیمیابی بصورت پاراژنز در اغلب موارد همراه یکدیگر می‌باشند در این زیرگروه قرار گرفته‌اند.

زیرگروه دوم شامل اکسیدهای MnO , P_2O_5 , K_2O , ZnO می‌باشد که از تشابه و همبستگی معنبری برخوردار می‌باشند، وجود عناصر فوق در یک زیرگروه تا حدودی غیرمنتظره به نظر می‌رسد ولیکن با مطالعات پترولوزی و ژئوشیمی سنگها و احتمال وجود بعضی از کانی‌سازیها در شرایط زمین‌شناسی فوق می‌تواند در مورد وجود چنین عناصری در یک زیرگروه اظهار نظر نمود.

زیر گروه سوم: شامل اکسیدهای Zr_2O و Na_2O و BaO می‌باشد که وجود چنین عناصری

در یک زیر گروه می‌تواند مؤید وجود سنگهای نفوذی اسیدی در منطقه باشد که بصورت پچهای کوچک

در منطقه رخنمون پیدا کرده باشند. وجود BaO در این گروه می‌تواند تأییدی بر وجود رگه‌های باریت

در همبry یا نزدیکی با سنگهای فوق باشد، البته در مورد این گروه باید با احتیاط بیشتری صحبت

نمود.

نهایتاً اکسید Rb_2O و عنصر La بطور مجزا در گروه دوم قرار گرفته‌اند و با عناصر دیگر تشابه کمتری از

خود نشان داده‌اند.

در مرحله بعدی برای بهتر مشخص شدن همبستگی و تشابه بین اکسیدهای سنگ ساز و عناصر کانسار

ساز دو آنالیز خوش‌های مجزا انجام داده‌ایم که در شکل‌های (B) و (C) بصورت نمودار درختی آورده شده

است.

۱- تفسیر نمودار درختی شکل (E):

این نمودار شامل اکسیدهای سنگ ساز می‌باشد که بطور کلی نمایانگر دو گروه عمده است که هر گروه

می‌تواند معرف یک گروه سنگی یا چند گروه سنگی باشد. این نمودار درختی می‌تواند معرف سنگهای

منطقه مورد اکتشاف قرار گیرد.

گروه اول: این گروه خود به ۲ دو زیر گروه عمده تقسیم می‌گردد. زیر گروه اول شامل اکسیدهای

TiO_2 , Fe_2O_3 , Al_2O_3 با تشابه بالا و P_2O_5 با تشابه نسبتاً بالا و MnO با تشابه نسبی می‌باشد که

نمایی این اکسیدها می‌تواند معرف سنگهای خروجی قلیانی منطقه مورد مطالعه باشد. زیر گروه دوم

شامل اکسیدهای BaO , SiO_2 , Na_2O می‌باشد که می‌تواند معرف توفهای موجود در منطقه باشد که

در آنها باریت بصورت رگه تمرکز یافته است. بطور کلی گروه اول شامل سنگهای ولکانیک اسیدی و

قلیانی می‌باشد.

گروه دوم: این گروه شامل اکسیدهای SrO , CaO با تشابه بالا و SO_3 با تشابه نسبتاً بالا و MgO با تشابه نسبی می‌باشد. کلاً این گروه می‌تواند معرف واحدهای کربناته منطقه مورد مطالعه باشد که ممکن است آهک، دولومیت و شیل آهکی در نظر گرفته شود.

۲-تفسیر نمودار درختی شکل (F)

این نمودار شامل عناصر کانسالساز یا عناصر کمیاب می‌باشد که بطور عمده شامل دو گروه است، که گروه اول قسمت اعظم عناصر را دربرگرفته و گروه دوم فقط عنصر فلور ارا شامل می‌شود که نتایج آن به شرح ذیل می‌باشد.

گروه اول: این گروه شامل دو زیرگروه می‌باشد که زیرگروه اول شامل V_2O_5 , CO_3O_4 با تشابه بالا و CuO با تشابه نسبتاً بالا و Cr_2O_3 و NiO با تشابه نسبی و ZnO می‌باشد که تمامی عناصر فوق می‌توانند در سنگهای قلیائی غنی شدگی نسبی از خودشان دهنند و در مورد ZnO و CuO می‌توان چنین اظهار نظر نمود که غنی شدگی می‌تواند در ارتباط با کانی سازی در نظر گرفته شود. زیرگروه دوم شامل ZrO_2 و La می‌باشد که می‌تواند در ارتباط با سنگهای آذرین منطقه باشد.

گروه دوم: این گروه فقط شامل عنصر F می‌باشد و هیچگونه وابستگی و تشابه با دیگر عناصر نشان نداده است. در صورت کانی سازی فلورین در منطقه می‌توان چنین استنباط نمود که رگهای فلورین با هیچگونه از کانیهای اقتصادی و با ارزش همراهی نداشته و دوم آنکه رگهای فوق در سنگهای آذرین گسترش نیافته‌اند.

نتیجه‌گیری: با توجه به نتایج آنالیز خوش‌آئی چنین به نظر می‌رسد که رگهای فلورین در واحدها کربناته قرار گرفته‌اند و در منطقه بجز واحدهای کربناته، سنگهای توف و آذرین خروجی حد واسط گسترش یافته‌اند که اگر کانی سازی دیگری همچون باریت و کانه‌های مس رخ داده باشد، نشأت گرفته از این نوع سنگها می‌باشد و یا در همبودی سنگهای آذرین و سنگهای کربناته قرار دارد.

شکل (D): نمودار درختی برای تمامی اکسیدها و عناصر

□

* * * * * HIEPARCHICAL CLUSTER ANALYSIS * * * *

Dendrogram using Average Linkage (Between Groups)

Rescaled Distance Cluster Combine

| CASE Label | Num | 0 | 5 | 10 | 15 | 20 | 25 |
|---------------|-----|----------------|------|------|----|----|----|
| V205 | 6 | -+ | | | | | |
| TIO2 | 23 | -+---+ | | | | | |
| CO3O4 | 1 | -+ | I | | | | |
| FE2O3 | 13 | -+ | +-- | | | | |
| AL2O3 | 10 | -+ | I | +--+ | | | |
| CUO | 3 | -----+ | I | I | | | |
| CR2O3 | 2 | -----+-- | -+-- | | | | |
| NIO | 9 | -----+ | | I | I | | |
| ZNO | 7 | -----+I | +-- | | | | |
| K2O | 14 | -----+--+ | I | I | | | |
| P2O5 | 18 | -----+I | I | I | | | |
| MNO | 16 | -----+I | | | | | |
| RB2O | 19 | -----+--+ | | | | | |
| ZRO2 | 8 | -+---+ | | I | I | | |
| SiO2 | 20 | -+ +-----+I | + | | | | |
| NA2O | 17 | -----+ +--I | | | | | + |
| BAO | 11 | -----+I | | | | | I |
| LA | 5 | -----+ | | | | | I |
| F | 4 | -----+--+ | | | | | I |
| CAO | 12 | -----+ +-----+ | | | | | I |
| MGO | 15 | -----+ +-----+ | | | | | + |
| SO3 | 21 | -----+-----+ | | | | | |
| SRO | 22 | -----+-----+ | | | | | |

شکل (E): نمودار درختی برای اکسیدهای سنگ ساز

□

* * * * * HIERARCHICAL CLUSTER ANALYSIS * * *

Dendrogram using Average Linkage (Between Groups)

Rescaled Distance Cluster Combine

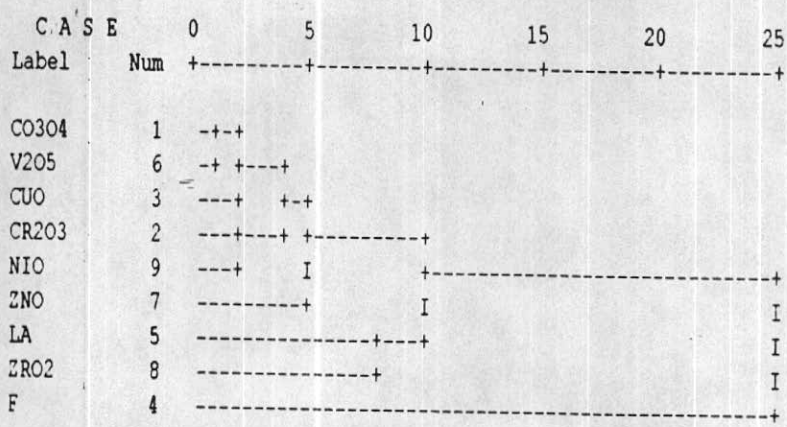
| CASE Label | 0 Num | 5 | 10 | 15 | 20 | 25 |
|---------------|----------|------------------|----|----|----|--------|
| AL203 | 1 | --+ | | | | |
| FE203 | 4 | -+----+ | | | | |
| TIO2 | 12 | -+ +-+ | | | | |
| P205 | 8 | -----+ +---+ | | | | |
| MNO | 6 | -----+ + | | | | |
| NA20 | 7 | -----+ +--+ I | | | | +----- |
| SIO2 | 9 | -----+ +-+ I | | | | I |
| BAO | 2 | -----+ I | | | | I |
| CAO | 3 | -----+ -+ I | | | | I |
| SRO | 11 | -----+ +-----+ I | | | | I |
| SO3 | 10 | -----+ +-----+ I | | | | I |
| MGO | 5 | -----+ +-----+ I | | | | I |

شکل (F) : نمودار درختی برای تمامی اکسیدهای کانسال ساز

* * * * * HIERARCHICAL CLUSTER ANALYSIS * * *

Dendrogram using Average Linkage (Between Groups)

Rescaled Distance Cluster Combine



۳-روش تجزیه به عاملها^۹

در این روش ارتباط میان عناصر با استفاده از عاملهای مختلف که نشان دهنده پدیده‌های زمین شناسی اعم از سنگ شناسی، پارازنر عناصر، محیط نهشته شدن عناصر وغیره می‌باشد. در این روش عاملها به گونه‌ای محاسبه می‌گردد که واریانس عمومی برای هر عامل به حداقل مقدار خود رسیده باشد و درواقع حداقل واریانس تمامی متغیرهای موجود را ارائه نماید.

عامل اول به گونه‌ای تعیین می‌گردد که تا حدامکان بتواند بیشترین تغییرپذیری را نشان دهد، دومین عامل بیشترین تغییرپذیری باقیمانده در کل عاملها را شامل می‌شود و سپس همین مراحل برای عاملهای بعدی محاسبه می‌گردد. بدیهی است برای پوشش کل واریانس جامعه ژئوشیمیائی مورد بررسی تعداد عاملها با تعداد متغیرهای برابر خواهد شد، اما برای کارهای اکتشافی معمولاً عاملهایی انتخاب می‌شوند که بیشترین مقدار تغییرپذیری را منعکس نمایند.

برای محاسبات عاملی از نرم افزار Statistica استفاده شده است و نتایج آن به شرح ذیل می‌باشد.

الف- برای بدست آوردن اعتبار تجزیه عاملی بر روی متغیرهای فوق از ضریب KMO استفاده شده است. ضریب بدست آمده برابر با 0.875 می‌باشد و این ضریب تجزیه عاملی فوق را تأیید می‌نماید.

(مقدار بالای 0.6 این ضریب معتبر می‌باشد)

ب- بعد از اعتبار داشتن تجزیه عاملی فوق، تعداد مؤلفه‌ها باید مشخص گردد. برای انتخاب مؤلفه‌های موردنظر از نمودار صخره‌ای^{۱۰} و نمودار مؤلفه‌های چرخش داده شده استفاده گردیده است شکل (G). با توجه به نمودار صخره‌ای مؤلفه‌ایی که مقادیر ویژه^{۱۱} تقریباً بالای یک را دارا می‌باشند به غنون مؤلفه‌های اصلی انتخاب می‌گردد. شش مؤلفه اول دارای مقدار ویژه بالای یک می‌باشند. بنابراین شش مؤلفه برای تحلیل و پردازش مورد استفاده قرار می‌گیرند.

⁹ Factor Analysis

¹⁰ Scree Plot

¹¹ Eigenvalue

ج - ضرائب ماتریس هر مؤلفه همراه با واریانس هر مؤلفه در جدول (۷) آورده شده است، با توجه به

اینکه ماتریس مؤلفه‌ها باید چرخش یابند، این ضرائب برای هر مؤلفه تحت تابع

وریمکس^{۱۲} چرخش داده شده‌اند و نتایج آن در جدول (۸) آورده شده است. با توجه به جدول فوق

عناصر پارازیز در هر مؤلفه به شرح ذیل آمده‌اند. (شرط انتخاب ضریب بالای ۵ می‌باشد)

مؤلفه اول: این مؤلفه شامل اکسیدهای TiO_2 , Cr_2O_3 , Al_2O_3 , CuO , Fe_2O_3 , CO_3O_4 , V_2O_5 می‌باشد.

مؤلفه دوم: این مؤلفه شامل اکسیدهای MnO , K_2O , P_2O_5 , ZnO می‌باشد. با توجه به اکسیدهای فوق می‌توان چنین استنباط نمود که

اکسیدهای سنگ ساز در این مؤلفه نشانگر سنگهای مافیک و عناصر کانسارساز معرف کانی‌سازی

احتمالی در سنگهای مافیک منطقه از قبیل مس، آهن و غیره می‌باشد.

مؤلفه سوم: این مؤلفه شامل اکسیدهای ZrO_2 , SiO_2 , Na_2O می‌باشد که بیشتر یک مؤلفه سنگ

شناسی است و بیانگر سنگهای اسیدی منطقه می‌باشد.

مؤلفه سوم: این مؤلفه شامل اکسیدهای O , Na_2O , BaO و تقریباً K_2O می‌باشد و چنین می‌توان

استنباط نمود که اگر کانی‌سازی باریت در منطقه رخ داده باشد می‌توان آنرا در سنگهای اسیدی تا

نیمه اسیدی جستجو نمود.

مؤلفه چهارم: این مؤلفه شامل اکسیدهای La , Sr می‌باشد که می‌تواند وجود کانی‌سازی احتمالی

استرانسیم در منطقه را بصورت دیسپرس معرفی نماید.

مؤلفه پنجم و ششم از نظر آماری نمی‌تواند معنی دار باشند زیرا ملاک برای جدایش اکسیدها ضریب

بالای ۰/۵ می‌باشد که در مؤلفه‌های پنجم و ششم هیچگاه ضریب بالای ۰/۵ مشاهده نشده است.

د - برای محاسبه مقادیر فاکتوری باید ماتریس ضرائب محاسبه گردد بنابراین، این محاسبات انجام

پذیرفته و در جدول (۹) نشان داده شده است. این ضرائب در هر اکسید ضرب شده و مقادیر

فاکتوری بدست می‌آید. مقادیر فاکتوری برای هر نمونه محاسبه شده و در جدول (۱۰) آورده شده

است. بعد از محاسبه مقادیر فاکتوری برای نشان دادن مقادیر ناهنجار مقدار ۱٪ و ۲٪ و ۳٪ بالای

¹²Varimax

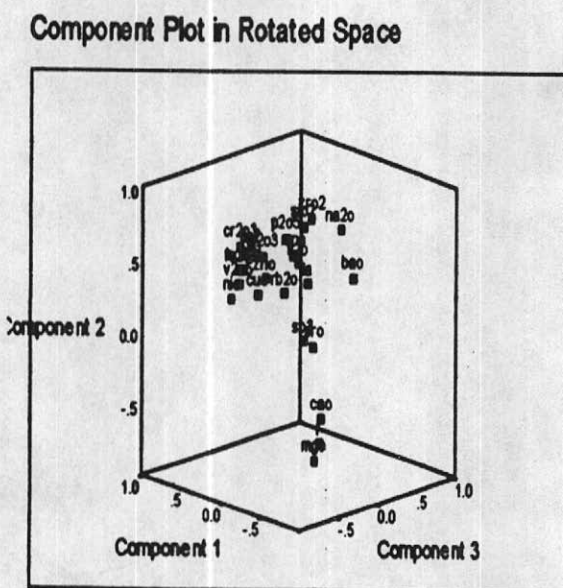
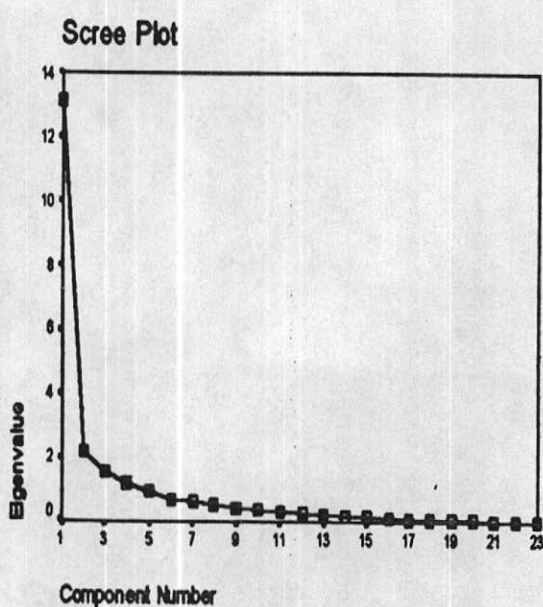
این مقادیر به عنوان آنومالیهای درجه یک، دو و سه تلقی گردیده‌اند. این مقادیر در جدول (۱۱)

نشان داده شده‌اند. با توجه به مؤلفه‌ها فقط فاکتور اول و سوم را می‌توان برای نشان محل

ناهنجاریها استفاده نمود و بقیه، فاکتورها بیشتر فاکتور سنگ‌شناسی می‌باشند.

شکل (G): نمودار صخره‌ای برای مشخص نمودن مقادیر ویژه هر مولفه

Kaiser-Meyer-Olkin Measure of S 0.875700018
Bartlett's Test of Approx. Chi-Sq. 1978.137897



جدول(۹) : ضرائب ماتریس مولفه های خام

Component Matrix

| Variable | Component1 | Component2 | Component3 | Component4 | Component5 | Component6 | Extraction |
|---------------|------------|------------|------------|------------|------------|------------|------------|
| AL2O3 | 0.962 | 0.092 | -0.057 | 0.012 | 0.071 | -0.013 | 0.943 |
| CAO | -0.959 | 0.111 | 0.177 | -0.002 | -0.018 | -0.009 | 0.849 |
| CO3O4 | 0.904 | 0.330 | 0.011 | -0.024 | 0.044 | 0.022 | 0.904 |
| SiO2 | 0.896 | -0.333 | -0.109 | -0.001 | -0.083 | 0.056 | 0.831 |
| FE2O3 | 0.880 | 0.331 | 0.088 | -0.109 | 0.098 | -0.032 | 0.839 |
| TiO2 | 0.874 | 0.172 | -0.097 | -0.287 | -0.045 | 0.052 | 0.844 |
| V2O5 | 0.863 | 0.375 | -0.097 | -0.105 | 0.118 | 0.009 | 0.677 |
| K2O | 0.840 | -0.121 | 0.035 | 0.406 | 0.040 | -0.040 | 0.315 |
| P2O5 | 0.816 | -0.069 | -0.031 | 0.009 | -0.214 | 0.133 | 0.891 |
| CR2O3 | 0.813 | 0.253 | -0.084 | -0.128 | -0.280 | -0.112 | 0.786 |
| CUO | 0.789 | 0.374 | 0.144 | 0.080 | 0.166 | 0.165 | 0.878 |
| MnO | 0.747 | -0.057 | 0.378 | -0.170 | 0.193 | 0.202 | 0.811 |
| ZnO | 0.743 | 0.262 | 0.105 | 0.332 | -0.116 | -0.017 | 0.837 |
| ZrO2 | 0.735 | -0.468 | -0.150 | -0.227 | -0.176 | 0.063 | 0.780 |
| F | -0.728 | 0.141 | -0.113 | 0.097 | 0.317 | 0.064 | 0.736 |
| NiO | 0.691 | 0.536 | -0.009 | 0.084 | -0.054 | -0.072 | 0.840 |
| Rb2O | 0.653 | -0.105 | 0.024 | 0.396 | 0.247 | -0.420 | 0.935 |
| Na2O | 0.641 | -0.640 | 0.102 | 0.071 | -0.031 | 0.012 | 0.867 |
| BAO | 0.583 | -0.361 | 0.162 | 0.370 | 0.085 | 0.456 | 0.842 |
| LA | 0.557 | -0.385 | 0.119 | -0.090 | 0.493 | -0.251 | 0.890 |
| MgO | -0.545 | 0.281 | -0.502 | 0.277 | 0.309 | 0.279 | 0.920 |
| SO3 | -0.314 | 0.124 | 0.800 | -0.292 | 0.205 | 0.075 | 0.755 |
| SRO | -0.417 | 0.172 | 0.563 | 0.446 | -0.347 | -0.040 | 0.868 |
| Total | 13.118 | 2.166 | 1.552 | 1.171 | 0.948 | 0.663 | |
| % of Variance | 57.034 | 9.418 | 8.748 | 5.092 | 4.122 | 2.884 | |
| Cumulative % | 57.034 | 66.452 | 73.200 | 78.293 | 82.414 | 85.299 | |

جدول(۸) : ضرائب ماتریس مولفه های چرخش یافته

Rotated Component Matrix

Component

| | Component1 | Component2 | Component3 | Component4 | Component5 | Component6 |
|-------|------------|------------|------------|------------|------------|------------|
| CO3O4 | 0.891 | 0.227 | 0.173 | 0.160 | 0.174 | -0.023 |
| V2O5 | 0.889 | 0.134 | 0.117 | 0.140 | 0.275 | -0.051 |
| FE2O3 | 0.873 | 0.238 | 0.121 | 0.206 | 0.182 | 0.076 |
| NiO | 0.867 | 0.063 | -0.011 | 0.108 | -0.060 | -0.100 |
| CUO | 0.843 | 0.037 | 0.303 | 0.153 | 0.064 | 0.113 |
| Al2O3 | 0.770 | 0.317 | 0.293 | 0.293 | 0.246 | -0.129 |
| CR2O3 | 0.766 | 0.446 | -0.002 | 0.035 | 0.093 | -0.210 |
| TiO2 | 0.764 | 0.369 | 0.127 | 0.026 | 0.367 | -0.056 |
| ZnO | 0.723 | 0.177 | 0.276 | 0.229 | -0.216 | -0.158 |
| CAO | -0.631 | -0.410 | -0.367 | -0.286 | -0.340 | 0.258 |
| P2O5 | 0.562 | 0.467 | 0.380 | 0.052 | 0.125 | -0.196 |
| K2O | 0.534 | 0.273 | 0.496 | 0.477 | -0.040 | -0.236 |
| MnO | 0.530 | 0.348 | 0.431 | 0.177 | 0.218 | 0.381 |
| MgO | -0.212 | -0.844 | -0.035 | -0.204 | 0.073 | -0.270 |
| ZrO2 | 0.230 | 0.670 | 0.383 | 0.097 | 0.421 | -0.220 |
| F | -0.444 | -0.645 | -0.207 | -0.096 | -0.042 | 0.099 |
| Na2O | 0.044 | 0.596 | 0.549 | 0.364 | 0.193 | -0.033 |
| SiO2 | 0.439 | 0.552 | 0.471 | 0.248 | 0.306 | -0.248 |
| BAO | 0.208 | 0.171 | 0.865 | 0.165 | 0.009 | -0.029 |
| Rb2O | 0.387 | 0.159 | 0.177 | 0.773 | -0.026 | -0.189 |
| LA | 0.141 | 0.263 | 0.226 | 0.660 | 0.418 | 0.187 |
| SRO | -0.186 | -0.068 | -0.021 | -0.068 | -0.669 | 0.159 |
| SO3 | -0.130 | -0.023 | -0.096 | -0.080 | -0.212 | 0.899 |

جدول (۱۰) : ماتریس ضرائب برای بدست آوردن مقادیر فاکتوری

Component Score Coefficient Matrix
Component

| | Component1 | Component2 | Component3 | Component4 | Component5 | Component6 |
|-------|------------|------------|------------|------------|------------|------------|
| AL203 | 0.081 | -0.040 | 0.002 | 0.061 | 0.051 | -0.012 |
| BAO | -0.048 | -0.209 | 0.722 | -0.214 | -0.093 | 0.080 |
| CAC | -0.018 | -0.012 | -0.043 | -0.023 | -0.090 | 0.097 |
| CO304 | 0.155 | -0.059 | -0.031 | -0.035 | 0.030 | 0.054 |
| CR203 | 0.117 | 0.209 | -0.235 | -0.104 | -0.084 | -0.132 |
| CUO | 0.173 | -0.218 | 0.182 | -0.062 | -0.001 | 0.156 |
| F | 0.004 | -0.320 | 0.085 | 0.103 | 0.130 | 0.092 |
| FE203 | 0.151 | -0.043 | -0.095 | 0.037 | 0.050 | 0.124 |
| K20 | 0.004 | -0.072 | 0.154 | 0.232 | -0.189 | -0.128 |
| LA | -0.106 | -0.058 | -0.128 | 0.557 | 0.261 | 0.221 |
| MGO | 0.068 | -0.538 | 0.315 | -0.099 | 0.186 | -0.158 |
| MNO | 0.043 | -0.040 | 0.240 | -0.095 | 0.126 | 0.364 |
| NA20 | -0.161 | 0.170 | 0.188 | 0.063 | 0.000 | -0.016 |
| NIO | 0.200 | -0.062 | -0.140 | 0.017 | -0.133 | -0.052 |
| P205 | 0.034 | -0.116 | 0.147 | -0.222 | -0.054 | -0.090 |
| RB20 | -0.030 | -0.065 | -0.233 | 0.713 | -0.157 | -0.120 |
| SiO2 | -0.050 | 0.114 | 0.129 | -0.051 | 0.059 | -0.101 |
| S03 | 0.036 | 0.031 | 0.039 | -0.016 | -0.004 | 0.622 |
| SRO | 0.032 | 0.131 | 0.081 | 0.003 | -0.630 | 0.001 |
| TiO2 | 0.107 | 0.071 | -0.075 | -0.178 | 0.167 | 0.040 |
| V205 | 0.166 | -0.120 | -0.053 | -0.031 | 0.125 | 0.049 |
| ZNO | 0.121 | -0.040 | 0.064 | 0.051 | -0.290 | -0.106 |
| ZR02 | -0.099 | 0.255 | 0.059 | -0.170 | 0.159 | -0.086 |

Extraction Method: Principal Component Analysis. □ Rotation Method: Varimax with Kaiser Normalization. □ Component Scor

جدول (۱۱) : مقادیر فاکتوری همراه با شماره هر فاکتور

| code | Factor 1 | Factor 2 | Factor 3 | Factor 4 | Factor 5 | Factor 6 | code | Factor 1 | Factor 2 | Factor 3 | Factor 4 | Factor 5 | Factor 6 |
|--------|----------|----------|----------|----------|----------|----------|--------|----------|----------|----------|----------|----------|----------|
| VGD-1 | -0.11322 | 0.6509 | 0.41542 | -0.87791 | 0.84665 | 0.60982 | VGD-35 | 0.03236 | 0.66007 | -0.30669 | 0.24078 | 0.7019 | -0.59808 |
| VGD-2 | -0.10301 | 0.60236 | -0.20943 | 0.19268 | 0.56269 | 0.01001 | VGD-36 | 0.00295 | -1.17565 | 2.80546 | 1.31949 | -1.47227 | 0.2079 |
| VGD-3 | -0.33733 | 0.13274 | -0.07458 | 1.38391 | 0.24612 | -0.19217 | VGD-37 | -0.36143 | 0.15276 | 2.01762 | 0.09443 | -0.63577 | 0.12698 |
| VGD-4 | -0.28531 | 0.42076 | -0.30867 | 0.6007 | 0.48104 | -0.23308 | VGD-38 | -2.0715 | 0.25284 | -1.23297 | 0.68638 | 0.31322 | 6.4455 |
| VGD-5 | 0.05096 | -0.32008 | 1.06299 | 1.03414 | -0.12042 | 0.44963 | VGD-39 | -0.40822 | 1.38848 | 0.80132 | 0.22498 | 1.27435 | -0.31436 |
| VGD-6 | -0.04446 | 0.70691 | 0.27907 | -0.39883 | 0.41064 | -0.36322 | VGD-40 | -1.16089 | 0.4471 | 1.969 | 0.81116 | 0.06065 | -1.48547 |
| VGD-7 | -0.18411 | 0.53171 | -1.15855 | 0.22474 | -0.09853 | -0.5869 | VGD-41 | 0.15687 | 0.80011 | -1.60918 | 0.93884 | 0.59719 | -0.91639 |
| VGD-8 | 0.03366 | 0.32228 | 0.64833 | 0.27219 | 0.70883 | -0.03777 | VGD-42 | -0.37083 | 0.88682 | 1.91469 | -2.47809 | -0.36251 | 0.04878 |
| VGD-9 | 0.13305 | -0.48738 | 0.10315 | -0.34009 | -1.23689 | -0.86857 | VGD-43 | -0.66806 | 1.0862 | 0.47505 | -0.29127 | -0.19554 | -0.54082 |
| VGD-10 | 0.84864 | 0.35932 | -1.07152 | 0.60255 | -0.46038 | -0.68037 | VGD-44 | -0.45312 | 0.45405 | 1.47404 | -0.92233 | 0.17986 | -0.18742 |
| VGD-11 | 0.73188 | 0.21724 | -0.82401 | -0.10838 | 0.07586 | -0.19379 | VGD-45 | -0.829 | 0.40911 | 0.56901 | -0.69808 | 0.29299 | -0.28238 |
| VGD-12 | 1.33883 | -1.26233 | -0.10568 | 1.89707 | -0.36852 | 0.03766 | VGD-46 | -0.36226 | 0.50808 | 0.87289 | -0.43505 | -0.49754 | -0.1333 |
| VGD-13 | -0.71314 | -1.8527 | -0.3606 | -1.15967 | 0.36818 | -0.89179 | VGD-47 | -0.62847 | 0.94132 | -0.36876 | 0.77334 | 1.08959 | -0.19978 |
| VGD-14 | 2.58508 | 0.03253 | -2.45647 | -1.24921 | -1.22064 | -0.75588 | VGD-48 | -0.69193 | 1.10766 | -1.27773 | 0.81644 | 0.42632 | 0.04345 |
| VGD-15 | -0.03438 | -0.58999 | -0.49408 | 0.24448 | -0.40729 | -0.50178 | VGD-49 | -0.33708 | 0.46164 | 0.48863 | -1.03372 | 1.16785 | 0.02524 |
| VGD-16 | 0.05015 | -2.10675 | 0.21516 | 2.10254 | 0.51642 | -0.23061 | VGD-50 | -0.13365 | 0.44629 | 0.35303 | 0.47284 | -0.07702 | 0.19805 |
| VGD-17 | 0.41441 | -0.79477 | -0.37007 | 1.41665 | -0.03877 | -0.3604 | VGD-51 | -0.76645 | 0.46848 | 0.28726 | 0.75545 | 0.73588 | 0.00764 |
| VGD-18 | -1.78358 | -0.67323 | -1.54022 | -0.49887 | -0.0594 | 0.30072 | VGD-52 | -0.36363 | 0.67748 | 0.23983 | 0.12674 | 0.21712 | -0.02501 |
| VGD-19 | 0.19441 | 0.27386 | 0.7501 | -0.57145 | -0.24896 | -0.28656 | VGD-53 | -0.31412 | 0.97088 | -0.89991 | 0.70835 | -0.00415 | -0.33163 |
| VGD-20 | 0.37926 | 0.06863 | -0.62385 | 1.78898 | 0.59392 | -0.22105 | VGD-54 | 0.20715 | 0.58464 | -0.00191 | 0.68258 | 0.82357 | -0.81805 |
| VGD-21 | 1.62163 | 0.31478 | -0.65501 | -1.57567 | 1.09119 | 0.81379 | VGD-55 | -0.37459 | 0.67547 | -1.053 | 0.08086 | 0.11324 | -0.46703 |
| VGD-22 | 1.25533 | -0.16697 | -0.38948 | -0.18394 | -0.22774 | 1.37429 | VGD-56 | -0.62589 | 0.53996 | 1.40601 | -0.07508 | 0.23498 | 0.11612 |
| VGD-23 | 0.87741 | 0.04267 | 0.38347 | -0.5185 | -0.34799 | 0.16601 | VGD-57 | -1.40569 | 2.56627 | -0.611 | -1.04485 | 1.28775 | -1.21532 |
| VGD-24 | 0.6374 | 0.2092 | -0.16058 | 0.40054 | 0.00449 | 0.50493 | VGD-58 | 1.03169 | -0.22157 | 1.66927 | -1.37275 | 0.11721 | 2.10913 |
| VGD-25 | -0.70687 | 0.01035 | 0.33008 | 1.07468 | -3.58345 | 0.90209 | VGD-59 | 0.81358 | 0.04953 | 0.70461 | -0.11734 | -0.79854 | -0.56184 |
| VGD-26 | -1.26658 | -0.77198 | -0.89621 | -0.98469 | -0.82676 | -0.45369 | VGD-60 | 2.61451 | -0.38548 | -0.21788 | -0.77213 | 0.81257 | 1.0386 |
| VGD-27 | -1.14519 | -1.9006 | -0.79589 | -0.00721 | 0.04184 | 0.836 | VGD-61 | 1.22681 | -0.00542 | 1.01028 | -1.74507 | 0.2319 | 0.68049 |
| VGD-28 | -1.36954 | -1.67492 | -0.84246 | -1.21869 | -0.31647 | -0.25838 | VGD-62 | 0.67056 | -0.19665 | 0.01601 | 0.36638 | 0.48576 | 0.12677 |
| VGD-29 | -1.54144 | -2.31235 | -0.59664 | -1.30486 | 0.59194 | -0.46316 | VGD-63 | 1.80227 | -0.16146 | -0.39809 | -0.52092 | 0.88572 | 0.81268 |
| VGD-30 | -0.6138 | 0.91584 | -0.77925 | -1.01076 | -3.69198 | -0.1228 | VGD-64 | 1.78471 | -0.9437 | 1.3371 | 1.27244 | -0.66586 | 0.28444 |
| VGD-31 | -1.249 | -4.18663 | 0.3526 | -1.20871 | 1.45245 | -0.89664 | VGD-65 | 0.07206 | 0.03666 | -0.13183 | 2.03837 | 0.55458 | -0.34842 |
| VGD-32 | -0.59846 | 0.43023 | -0.97051 | -0.78829 | -3.23171 | -0.1942 | VGD-66 | 0.56581 | 0.04317 | -0.13131 | 1.69212 | -0.01828 | -0.30611 |
| VGD-33 | 1.07949 | -0.51543 | -0.88546 | -0.85589 | 1.38322 | 0.43444 | | | | | | | |
| VGD-34 | -0.91581 | -0.15211 | -1.14144 | 0.31807 | -0.81226 | -0.32557 | | | | | | | |

جدول (۱۲) : حدود ناهمجاییهای فاکتوری

| code | Factor 1 | code | Factor 2 | code | Factor 3 | code | Factor 4 | code | Factor 5 | code | Factor 6 |
|--------|----------|--------|----------|--------|----------|--------|----------|--------|----------|--------|----------|
| VBD-39 | 2.61451 | VBD-47 | 2.560027 | VBD-38 | 2.80546 | VBD-18 | 2.10254 | VBD-31 | 1.45245 | VBD-38 | 0.4455 |
| VBD-44 | 2.58508 | VBD-39 | 1.38848 | VBD-37 | 2.01762 | VBD-35 | 2.03837 | VBD-33 | 1.38322 | VBD-68 | 2.10913 |
| VBD-49 | 2.13305 | VBD-48 | 1.10766 | VBD-46 | 1.989 | VBD-12 | 1.89707 | VBD-57 | 1.28775 | VBD-22 | 1.37429 |
| VBD-43 | 1.80227 | VBD-43 | 1.0862 | VBD-42 | 1.91469 | VBD-28 | 1.78898 | VBD-39 | 1.27435 | VBD-89 | 1.0386 |
| VBD-44 | 1.78471 | VBD-43 | 0.97088 | VBD-68 | 1.66927 | VBD-36 | 1.59212 | VBD-49 | 1.16785 | VBD-25 | 0.90209 |
| VBD-21 | 1.62163 | VBD-47 | 0.94132 | VBD-45 | 1.56901 | VBD-17 | 1.41665 | VBD-21 | 1.09119 | VBD-21 | 0.81379 |
| VBD-12 | 1.33883 | VBD-38 | 0.91584 | VBD-44 | 1.47404 | VBD-3 | 1.38391 | VBD-47 | 1.08959 | VBD-63 | 0.81268 |
| VBD-22 | 1.25633 | VBD-42 | 0.89062 | VBD-36 | 1.40601 | VBD-36 | 1.31949 | VBD-63 | 0.88572 | VBD-61 | 0.68049 |
| VBD-41 | 1.22081 | VBD-41 | 0.80011 | VBD-64 | 1.3371 | VBD-84 | 1.27244 | VBD-1 | 0.84655 | VBD-1 | 0.50982 |
| VBD-39 | 1.07949 | VBD-4 | 0.70991 | VBD-4 | 1.06299 | VBD-25 | 1.07518 | VBD-44 | 0.82357 | VBD-24 | 0.50493 |
| VBD-48 | 1.03169 | VBD-42 | 0.67748 | VBD-61 | 1.01028 | VBD-6 | 1.03414 | VBD-69 | 0.81257 | VBD-6 | 0.44983 |
| VBD-23 | 0.87741 | VBD-46 | 0.67547 | VBD-46 | 0.87289 | VBD-41 | 0.93884 | VBD-61 | 0.73588 | VBD-33 | 0.43444 |

۴-بررسیهای کانی سنگین

یکی از روشهای مؤثر و کنترل کننده در اکتشافات ژئوشیمیائی مطالعات کانی سنگین می‌باشد. در مواردی به علل مختلف نمونه‌های ژئوشیمیائی مشخص کننده بعضی از ناهنجاریها نباشد و یا در مواردی تأیید کننده نمونه‌های ژئوشیمیائی ناهنجار و غیر عادی باشد و از طرفی حضور کانیهای با ارزش را بطور واقعی در منطقه مورد مطالعه به نمایش می‌گذارد می‌تواند ابزاری کارا در اکتشافات ژئوشیمیایی باشد.

۵-نمونه‌برداری

پس از مشخص نمودن نقاط نمونه‌برداری در مراکز ثقل آبراهه‌ها و با رعایت محل و عمق نمونه‌برداری، نمونه‌ها ترجیحاً از سه تا پنج نقطه در عرض آبراهه‌ها (بسته به عرض آبراهه‌ها) و با عمق حدود ۵۰-۳۰ سانتی‌متر از محل متندرها و پیچ آبراهه‌ها و با رعایت فاصله از حاشیه آبراهه (برای جلوگیری از آسودگی) برداشت گردیدند. نمونه پس از برداشت از الک ۲۰ مش عبور داده شده بطوریکه هر نمونه باید در حدود ۵ لیتر زیر الک ۲۰ مش باشد. سپس شماره نمونه هر نمونه و مشخصات آن ثبت می‌گردد.

ی: آماده سازی نمونه‌ها

آماده سازی نمونه‌ها شامل مراحل ذیل می‌باشد:

۱-آماده سازی در صحراء

الف - حجم سنگی: نمونه کانی سنگین برداشت شده با یک سطح مدرج (ACC) در پروژه فوق در حدود ۵ لیتر محسوب گردیده.

ب - گل شویی و سرنده نمونه‌ها: در این مرحله گل شویی همراه با سرنده کردن توام در آب انجام

می‌گیرد و سعی می‌شود که ذرات چسبیده به قطعات سنگی بزرگتر جدا شده و همراه دیگر

ذرات سرند شوند در گل شویی ذرات سبک با ابعاد رس از نمونه خارج می‌شوند و ذرات دیگر از

سرند عبور می‌نمایند.

ج - لاوک شویی نمونه‌ها: هدف از این مرحله تغليظ کانیهای سنگین نمونه از جمله طلا می‌باشد.

بدین ترتیب در مرحله جدایش نقلی با مایع سنگین، بخش کمتری از نمونه‌ها مورد استفاده قرار

خواهد گرفت. در این مرحله با استفاده از جریان آب و دورانهای مخصوص کانیهای سنگین در دو

مرحله تغليظ می‌گردد.

۲-آماده سازی در آزمایشگاه

الف - حجم سنجی: نمونه‌های خشک شده حاصل از لاوک شویی با ظروف شیشه‌ای مدرج بر حسب

سانتی‌متر مکعب اندازه‌گیری می‌شوند. (BCC)

ب - بایگانی اولیه: بخشی از نمونه با استفاده از تقسیم کننده به عنوان نمونه مورد مطالعه انتخاب و

حجم سنجی می‌شود (CCC) و باقیمانده بایگانی می‌گردد. در این پژوهه تمام نمونه‌ها مورد استفاده

قرار گرفته و هیچ مقداری به عنوان بایگانی در نظر گرفته نشده است.

ج - جدایش نقلی با مایع سنگین: در این مرحله با استفاده از محلول بر موفرم با وزن مخصوص ۲/۸۹

گرم بر سانتی‌متر مکعب در داخل دکانتور، کانیهای سبک و سنگین تحت فرآیند جدایش نقلی

قرار می‌گیرند. بخش سبک نمونه بر روی مایع سنگین باقی می‌ماند و بخش سنگین نمونه در

مایع سنگین تنهشین می‌شود که پس از خارج کردن از دکانتور، برای زودهن آغشتنی بروفرم،

نمونه را با استن می‌شویند.

د - حجم سنجی بخش کانیهای سنگین حاصل از جدایش نقلی با مایع سنگین (Ycc)

ه - جدایش مغناطیسی کانیهای سنگین: در این مرحله با استفاده از دو میدان مغناطیسی قوی و با

شدت متوسط، کانیهای سنگین از نظر خاصیت مغناطیسی به سه بخش کانیهای سنگین با

خاصیت مغناطیسی زیاد (AA)، کانیهای سنگین با خاصیت مغناطیسی ضعیف (AV) و کانیهای

سنگین بدون خاصیت مغناطیسی (NM) تقسیم می‌گردد. اکثر کاله‌های مهم در بخش NM قرار می‌گیرند.

و- ارائه نمونه‌ها همراه با فرمهای مربوطه جهت مطالعه و اندازه‌گیری کانیها به آزمایشگاه کانی سنگین.

۳- نحوه مطالعه

آنچه که تاکنون مورد بررسی قرار گرفت چگونگی جمع‌آوری نمونه در صحراء، نحوه شستشو، آماده سازی نمونه‌ها و مراحل مختلف جدایش بود. حال نمونه‌ای که تحت شرایط فوق حاصل شده است مورد مطالعه قرار می‌گیرد. هدف از مطالعه نمونه شناسایی (determination) تنوع میزان‌الوظیکی نمونه و یا به عبارت دیگر تشخیص کانیهای تشکیل دهنده نمونه و همچنین تعیین درصد هر کانی در نمونه می‌باشد. به خاطر تأمین این منظور فرآکسیون‌های تشکیل دهنده هر نمونه دقیقاً مطالعه گردیده و نتایج آن بر روی فرم مخصوص منتقل می‌گردد. در جدول ضمیمه (۴) مطالعه کانیهای سنگین و مقادیر عددی آن به نمایش گذارده شده است. هنگام مطالعه از روش‌های کمکی میکروشیمی، لامپ مولد نور ماوراء بنفس ورنگ کردن کانیها استفاده می‌شود ولیکن ابزار اصلی برای مطالعه کانی سنگین استفاده از بینوکولر و تجربه لازم می‌باشد.

۴- تجزیه و تحلیل آماری نمونه‌های کانی سنگین

پس از بدست آوردن مقادیر کانی‌های سنگین جدول (۱)، داده‌ها به نرم افزار SPSS انتقال داده شده است. به خاطر مقادیر کم و تعداد کم نمونه‌های کانی سنگین از رسم نمودن هیستوگرام و منحنی‌های تجمعی کانیها صرفنظر گردیده است. همچنین پارامترهای آماری و همبستگی و محاسبات آماری به خاطر یکنواخت بودن نتایج و نبود بعضی کانیها در بعضی نمونه‌ها از اعتبار و نتایج قبل قبولی برخوردار نمی‌باشند ولیکن با اینحال بعضی از نتایج آماری می‌تواند مورد استفاده قرار گیرد. برای این منظور

جداول محاسبات آماری کانیهای مختلف محاسبه گردیده است. در جداول (A1) (A4) مقادیر میانگین، میانه، مد، انحراف معیار، واریانس، کشیدگی، چولگی، ماکسیمم و مینیمم هر کانی به نمایش گذارده شده است.

۵- تعیین ضرائب همبستگی

با فرض اینکه متغیرهای مورد بررسی مستقل بوده و انتخاب آنها بطور تصادفی انجام پذیرفته است. می‌توان همبستگی واقعی بین آنها را ارزیابی کرد. این همبستگی به دو صورت ضریب همبستگی و رگرسیون بیان می‌شود. ضریب همبستگی را می‌توان درجه ارتباط بین دو متغیر برای شده تعریف کرد، این ضریب باعلامت مثبت یا منفی و بین اعداد -1 و $+1$ تغییر می‌نماید. بدیهی است که ضریب همبستگی $+1$ نشان دهنده همبستگی کامل و مثبت (مستقیم) مابین دو متغیر و عدد صفر نشانگر عدم همبستگی و -1 بیانگر همبستگی کامل و معکوس بین دو متغیر می‌باشد. در بررسی تعیین ضریب همبستگی، داده‌های مورد نظر را به نرم افزار SPSS منتقل نموده و ماتریس همبستگی را به روش اسپیرمن که مستقل از جامعه نرمال می‌باشد برای داده‌های مورد نظر محاسبه نموده که نتایج آن در جداول (B1) (B2) نشان داده شده است. همچنین میزان معنی دار بودن این ضرائب و تعداد مشارکت نمونه‌ها در محاسبه ضرائب همبستگی در این جداول آورده شده است.

در جداول همبستگی در اکثر موارد همبستگی بین کانیها ضعیف نشان داده شده است علت این که ضرائب همبستگی نا معقول و سطوح اعتماد پایین بدست آمده تعداد مشارکت کم نمونه‌ها در فرمول همبستگی و یکنواخت بودن داده‌ها می‌باشد و بهتر آن است که از خواص پترولئومی و زمین‌شناسی اقتصادی بهره‌گیری شود و ارتباط کانیهای مختلف با سنگها و کانی سازی مشخص گردد. با این حال جداول همبستگی آورده شده است تا از نظر آماری جوامع مختلف سنگی و ارتباط آنها با کانی سازی مشخص شود.

۶-نتایج بدست آمده از کانیهای سنگین

با مطالعه و بررسی برروی ۱۵ نمونه کانی های سنگین برداشت شده در منطقه مورد مطالعه ، نتایج

زیربدست آمد:

۱- با توجه به گسترش سنگ های کربناته در ناحیه مورد مطالعه ، مقادیر کانی سنگین بطور عموم در ناحیه قلیل بوده و از انتشار قابل توجهی برخوردار نمی باشد به همین منظور تمامی مقدار باقی مانده نمونه پس از شستشو در مرحله جدایش با بروموفرم استفاده شده است که احتمال حذف کانی در مرحله تقسیم کردن ازبین نرود .

۲- مطالعات کانی شناسی و حضور کانی های کلسیت ، دولومیت ، کربنات کلسیم به صورت کانی های غالب در بخش غیر مغناطیسی نمونه (NM) موید گسترش وسیعی از سنگ های رسوبی همچون آهک ، دولومیت و در محدوده مورد بررسی می باشد .

۳- حضور کانی های آپاتیت ، پیروکسن ، روتیل و وجود یک فاز ولکانیسم را در ناحیه محرز می نماید و در عمل این دوفاز ولکانیکی دیا باز و مقداری توف آندیزیتی می باشند و در منطقه وجود دارند.

۴- مهمترین کانی شناسایی شده در این بررسی را کانی فلوروریت تشکیل می دهد . حضور این کانی تقریباً در تمامی نمونه های کانی سنگین در حد چند دانه (PLS) تا کمتر از ۱٪ (d) مطالعه شده است ولی بیشترین تمرکز این کانی در نمونه شماره VGD-31 مشاهده گردید . در صورت گسترش قابل توجه می تواند اهمیت اقتصادی زیادی داشته باشد . فلوروریت به فرمول شیمیایی CaF_2 دارای ۵۱٪ کلسیم و ۴۸٪ فلور است . این کانی در سیستم مکعبی و در رده هگزا کیس اکنادرال مبلور می شود می شود . فلوروریت بیشتر به رنگ های زرد ، سیز ، آبی ، بنفش ، تا بنفش تیره مشاهده شده است و در بررسی حاضر فلوروریت های مطالعه شده بیشتر به رنگ شفافیتی به رنگ آب بوده و برخی از آنها نیز به صورت بنفش کمنگ مشاهده شده است . فلوروریت عمدها در شرایط گرمابی تشکیل می شود . استفاده از آن در صنعت نسبتاً گسترد

است. بعنوان گمک ذوب در صنایع فلزگذاری در حدود (٪۷۰) و علاوه بر آن در صنایع سرامیک و در تولید اسید فلوریک کاربرد دارد.

Table (13) : Results of Heavy Minerals Study in VERESAK Area

| Field No. | VGH-3-20 | VGH-3-20 | VGH-4 | VGH-3-20 | VGH-3 | VGH-38 | VGH-31-30 | VGH-32-20 | VGH-34-20 | VGH-43 | VGH-46 | VGH-47 | VGH-48 | VGH-49 |
|--------------|----------|----------|-------|----------|-------|--------|-----------|-----------|-----------|--------|--------|--------|--------|--------|
| Magnetite | 2.5 | 4.5 | 2.5 | 2.5 | 5.5 | 3 | 2 | 2 | 1.5 | 7.5 | 2.5 | 7.5 | 1.5 | 1.5 |
| Apatite | 0.5 | 0.01 | 4.2 | 0.1 | 0.02 | 0.01 | 0.01 | 0.05 | 0.05 | 0.5 | 0.05 | 0.5 | 0.025 | 0.025 |
| Zircon | 0.01 | 0.01 | 0.01 | 0.01 | 0.01 | 0.01 | 0.01 | 0.01 | 0.01 | 0.01 | 0.01 | 0.01 | 0.01 | 0.01 |
| Rudile | 0.01 | 0.01 | 0.05 | 0.05 | 0.01 | 0.01 | 0.01 | 0.01 | 0.01 | 0.01 | 0.025 | 0.01 | 0.025 | 0.01 |
| Anatasite | 0.01 | 0.01 | 0.01 | 0.01 | 0.01 | 0.01 | 0.01 | 0.01 | 0.01 | 0.01 | 0.01 | 0.01 | 0.01 | 0.01 |
| Spheres | 0.01 | 0.01 | 0.01 | 0.01 | 0.01 | 0.01 | 0.01 | 0.01 | 0.01 | 0.01 | 0.01 | 0.01 | 0.01 | 0.01 |
| Pyrite | 0.01 | 0.03 | 3 | 1.25 | 0.025 | 0.01 | 0.01 | 0.01 | 0.01 | 2 | 0.5 | 0.05 | 2.5 | 0.01 |
| Banite | 0.01 | 0.01 | 0.5 | 0.75 | 0.025 | 0.5 | 0.01 | 0.5 | 0.5 | 1.25 | 5.5 | 1.2 | 0.025 | 0.025 |
| Calcite | 1 | 3 | 2.5 | 1.5 | 0.01 | 0.01 | 2.2 | 3.5 | 2.5 | 1.25 | 1.25 | 0.25 | 0.01 | 0.025 |
| Dolomite | 0.01 | 2 | 0.5 | 1.5 | 0.01 | 0.01 | 0.01 | 0.75 | 1.7 | 0.01 | 0.25 | 1 | 0.025 | 0.01 |
| Ca-Carbonate | 0.5 | 1 | 0.5 | 19 | 0.025 | 0.01 | 0.01 | 0.075 | 1 | 0.05 | 0.025 | 0.05 | 0.025 | 0.01 |
| F&Q | 3 | 3 | 1 | 0.75 | 0.01 | 0.01 | 0.01 | 0.75 | 0.5 | 0.5 | 0.025 | 0.05 | 0.25 | 0.025 |
| Marcasite | 0.01 | 0.01 | 0.01 | 0.01 | 0.01 | 0.01 | 0.01 | 0.01 | 0.01 | 0.01 | 0.01 | 0.01 | 0.01 | 0.01 |
| Leucocenite | 0.01 | 0.01 | 0.01 | 0.01 | 0.01 | 0.01 | 0.01 | 0.01 | 0.01 | 0.01 | 0.01 | 0.01 | 0.01 | 0.01 |
| Flourite | 0.01 | 0.01 | 0.01 | 0.025 | 0.01 | 4.5 | 0.01 | 0.01 | 0.01 | 0.5 | 0.01 | 0.01 | 0.025 | 0.01 |
| Nigrite | 0.01 | 0.01 | 0.01 | 0.01 | 0.01 | 0.01 | 0.01 | 0.01 | 0.01 | 0.01 | 0.01 | 0.01 | 0.01 | 0.01 |
| Celestine | 0.01 | 0.01 | 0.01 | 0.025 | 0.01 | 1.5 | 0.01 | 0.01 | 0.01 | 0.01 | 0.025 | 4 | 0.025 | 0.01 |
| Phosphate | | | | | | | | | | | | | | |
| Aragonite | | | | | | | | | | | | | | |
| Cerussite | | | | | | | | | | | | | | |
| Native Lead | | | | | | | | | | | | | | |
| Hematite | 6 | 63 | 60 | 58 | 63 | 58 | 22 | 32 | 32 | 53 | 53 | 50 | 66 | 63 |
| Goethite | 13 | 18 | 8.5 | 4.5 | 9 | 9 | 0.01 | 4 | 4 | 4.5 | 13 | 7.5 | 0.5 | 4.5 |
| Pyrte Oxide | 0.01 | | | | 4.5 | 0.04 | 0.04 | 0.01 | 0.01 | 0.01 | 0.01 | 0.01 | 0.01 | 0.01 |
| Mn Oxide | 0.01 | 0.01 | 0.01 | 0.01 | 0.01 | 0.01 | 0.01 | 0.01 | 0.01 | 0.01 | 0.01 | 0.01 | 0.01 | 0.01 |
| Limonite | 0.01 | 0.01 | 0.01 | 0.01 | 0.01 | 0.01 | 0.01 | 0.01 | 0.01 | 0.01 | 0.01 | 0.01 | 0.01 | 0.01 |
| Jarosite | 0.01 | 0.01 | 0.01 | 0.01 | 0.01 | 0.01 | 0.01 | 0.01 | 0.01 | 0.42 | 0.01 | 0.01 | 0.01 | 0.01 |
| Pyroxene | 8.5 | 0.01 | 4.2 | 1.8 | 9 | 9 | 4.2 | 8 | 8 | 1.8 | 17 | 11 | 5 | 0.7 |
| Amphibole | 0.01 | 0.01 | 0.01 | 0.01 | 0.01 | 0.01 | 0.01 | 0.01 | 0.01 | 0.01 | 0.01 | 0.01 | 0.01 | 0.01 |
| Epidote | 0.01 | 0.01 | 0.01 | 0.01 | 0.01 | 0.01 | 0.01 | 0.01 | 0.01 | 0.01 | 0.01 | 0.01 | 0.01 | 0.01 |
| Garnets | 0.01 | 0.01 | 0.01 | 0.01 | 0.01 | 0.01 | 0.01 | 0.01 | 0.01 | 0.01 | 0.01 | 0.01 | 0.01 | 0.01 |
| Biotite | 0.01 | 0.01 | 0.01 | 0.01 | 0.01 | 0.01 | 0.01 | 0.01 | 0.01 | 0.01 | 0.01 | 0.01 | 0.01 | 0.01 |
| Oligoite | | | | | | | | | | | | | | |

جدول (A₁) : پارامترهای آماری کانیهای ، آپاتیت ، زیرکن ، ... ، فلدوپات و کوارتز

Statistics

| | | APATITE | ZIRCON | RUTILE | ANATASE | SPHENE |
|------------------------|---------|-----------|-----------|-----------|-----------|-----------|
| N | Valid | 15 | 9 | 15 | 11 | 5 |
| | Missing | 0 | 6 | 0 | 4 | 10 |
| Mean | | .4040 | 1.000E-02 | 1.733E-02 | 1.136E-02 | 1.000E-02 |
| Median | | 5.000E-02 | 1.000E-02 | 1.000E-02 | 1.000E-02 | 1.000E-02 |
| Mode | | .01 | .01 | .01 | .01 | .01 |
| Std. Deviation | | 1.0678 | .0000 | 1.425E-02 | 4.523E-03 | .0000 |
| Variance | | 1.1401 | .0000 | 2.031E-04 | 2.045E-05 | .0000 |
| Skewness | | 3.665 | | 1.887 | 3.317 | |
| Std. Error of Skewness | | .580 | .717 | .580 | .681 | .913 |
| Kurtosis | | 13.803 | | 2.401 | 11.000 | |
| Std. Error of Kurtosis | | 1.121 | 1.400 | 1.121 | 1.279 | 2.000 |
| Range | | 4.19 | .00 | .04 | .02 | .00 |
| Minimum | | .01 | .01 | .01 | .01 | .01 |
| Maximum | | 4.20 | .01 | .05 | .03 | .01 |

Statistics

| | | PYRITE | BARITE | CALCITE | DOLOMITE | FQ |
|------------------------|---------|-----------|--------|---------|-----------|------------------|
| N | Valid | 15 | 15 | 15 | 15 | 15 |
| | Missing | 0 | 0 | 0 | 0 | 0 |
| Mean | | .6283 | 1.1220 | 1.2843 | .5197 | .6903 |
| Median | | 2.500E-02 | .5000 | 1.2500 | 2.500E-02 | .5000 |
| Mode | | .01 | .03 | .01 | .01 | .01 ^a |
| Std. Deviation | | 1.0401 | 2.0343 | 1.2240 | .7054 | .9925 |
| Variance | | 1.0818 | 4.1382 | 1.4981 | .4975 | .9851 |
| Skewness | | 1.497 | 2.245 | .400 | 1.148 | 1.917 |
| Std. Error of Skewness | | .580 | .580 | .580 | .580 | .580 |
| Kurtosis | | .831 | 4.026 | -1.220 | -.102 | 2.821 |
| Std. Error of Kurtosis | | 1.121 | 1.121 | 1.121 | 1.121 | 1.121 |
| Range | | 2.99 | 6.49 | 3.49 | 1.99 | 2.99 |
| Minimum | | .01 | .01 | .01 | .01 | .01 |
| Maximum | | 3.00 | 6.50 | 3.50 | 2.00 | 3.00 |

جدول (A₂) : پارامترهای آماری کانیهای فلوریت ، ، اپیدوت

Statistics

| | | FLOURITE | NIGRINE | HEMATITE | GOETHITE |
|------------------------|---------|-----------|-----------|----------|----------|
| N | Valid | 13 | 4 | 15 | 15 |
| | Missing | 2 | 11 | 0 | 0 |
| Mean | | .3954 | 1.000E-02 | 53.6667 | 7.7007 |
| Median | | 1.000E-02 | 1.000E-02 | 58.0000 | 7.5000 |
| Mode | | .01 | .01 | 63.00 | 4.50 |
| Std. Deviation | | 1.2406 | .0000 | 20.1341 | 5.9836 |
| Variance | | 1.5392 | .0000 | 405.3810 | 35.8033 |
| Skewness | | 3.535 | | -.976 | .572 |
| Std. Error of Skewness | | .616 | 1.014 | .580 | .580 |
| Kurtosis | | 12.607 | | 1.706 | -.468 |
| Std. Error of Kurtosis | | 1.191 | 2.619 | 1.121 | 1.121 |
| Range | | 4.49 | .00 | 84.00 | 18.99 |
| Minimum | | .01 | .01 | 6.00 | .01 |
| Maximum | | 4.50 | .01 | 90.00 | 19.00 |

Statistics

| | | MNOXIDE | LIMONITE | JARUSITE | PYROXENE | EPIDOTE |
|------------------------|---------|-----------|-----------|-----------|------------------|-----------|
| N | Valid | 7 | 12 | 14 | 15 | 12 |
| | Missing | 8 | 3 | 1 | 0 | 3 |
| Mean | | 1.000E-02 | 1.000E-02 | 3.929E-02 | 6.5480 | 1.000E-02 |
| Median | | 1.000E-02 | 1.000E-02 | 1.000E-02 | 5.0000 | 1.000E-02 |
| Mode | | .01 | .01 | .01 | .01 ^a | .01 |
| Std. Deviation | | .0000 | .0000 | .1098 | 5.7094 | .0000 |
| Variance | | .0000 | .0000 | 1.201E-02 | 32.5968 | .0000 |
| Skewness | | | | 3.742 | .784 | |
| Std. Error of Skewness | | .794 | .637 | .597 | .580 | .637 |
| Kurtosis | | | | 14.000 | -.095 | |
| Std. Error of Kurtosis | | 1.587 | 1.232 | 1.154 | 1.121 | 1.232 |
| Range | | .00 | .00 | .41 | 17.99 | .00 |
| Minimum | | .01 | .01 | .01 | .01 | .01 |
| Maximum | | .01 | .01 | .42 | 18.00 | .01 |

جدول (A₃) : پارامترهای آماری کانیهای کارتنت ، ... ، مگنتیت

Statistics

| | | GARNETS | BIOTITE | OLIGISTE | Amphibols | Aragonite |
|------------------------|---------|-----------|-----------|-----------|-----------|-----------|
| N | Valid | 5 | 7 | 1 | 9 | 3 |
| | Missing | 10 | 8 | 14 | 6 | 12 |
| Mean | | 1.000E-02 | 1.000E-02 | 1.000E-02 | 1.000E-02 | 1.000E-02 |
| Median | | 1.000E-02 | 1.000E-02 | 1.000E-02 | 1.000E-02 | 1.000E-02 |
| Mode | | .01 | .01 | .01 | .01 | .01 |
| Std. Deviation | | .0000 | .0000 | | .0000 | .0000 |
| Variance | | .0000 | .0000 | | .0000 | .0000 |
| Skewness | | | | | | |
| Std. Error of Skewness | | .913 | .794 | | .717 | 1.225 |
| Kurtosis | | | | | | |
| Std. Error of Kurtosis | | 2.000 | 1.587 | | 1.400 | |
| Range | | .00 | .00 | .00 | .00 | .00 |
| Minimum | | .01 | .01 | .01 | .01 | .01 |
| Maximum | | .01 | .01 | .01 | .01 | .01 |

Statistics

| | | Cacarbonite | Celestine | Cerussite | Leocoxene | Magnetite |
|------------------------|---------|-------------|-----------|-----------|-----------|-----------|
| N | Valid | 15 | 3 | 1 | 11 | 15 |
| | Missing | 0 | 12 | 14 | 4 | 0 |
| Mean | | 1.4913 | 1.500E-02 | 1.000E-02 | 1.136E-02 | 3.5000 |
| Median | | 5.000E-02 | 1.000E-02 | 1.000E-02 | 1.000E-02 | 2.5000 |
| Mode | | .03 | .01 | .01 | .01 | 2.50 |
| Std. Deviation | | 4.8562 | 8.660E-03 | | 4.523E-03 | 2.1381 |
| Variance | | 23.5827 | 7.500E-05 | | 2.045E-05 | 4.5714 |
| Skewness | | 3.839 | 1.732 | | 3.317 | .993 |
| Std. Error of Skewness | | .580 | 1.225 | | .681 | .580 |
| Kurtosis | | 14.809 | | | 11.000 | -455 |
| Std. Error of Kurtosis | | 1.121 | | | 1.279 | 1.121 |
| Range | | 18.99 | .02 | .00 | .02 | 6.00 |
| Minimum | | .01 | .01 | .01 | .01 | 1.50 |
| Maximum | | 19.00 | .03 | .01 | .03 | 7.50 |

جدول (A₄) : پارامترهای آماری کانیهای مارکاسیت ، ...، پیریت اکسید

Statistics

| | | Marcacite | Nativelead | Phosphate | Pyriteoxide |
|------------------------|---------|-----------|------------|-----------|-------------|
| N | Valid | 7 | 1 | 7 | 9 |
| | Missing | 8 | 14 | 8 | 6 |
| Mean | | 1.000E-02 | 1.000E-02 | .7971 | .5156 |
| Median | | 1.000E-02 | 1.000E-02 | 2.500E-02 | 1.000E-02 |
| Mode | | .01 | .01 | .01 | .01 |
| Std. Deviation | | .0000 | | 1.5168 | 1.4942 |
| Variance | | .0000 | | 2.3008 | 2.2327 |
| Skewness | | | | 2.061 | 3.000 |
| Std. Error of Skewness | | .794 | | .794 | .717 |
| Kurtosis | | | | 4.064 | 8.998 |
| Std. Error of Kurtosis | | 1.587 | | 1.587 | 1.400 |
| Range | | .00 | .00 | 3.99 | 4.49 |
| Minimum | | .01 | .01 | .01 | .01 |
| Maximum | | .01 | .01 | 4.00 | 4.50 |

a. Multiple modes exist. The smallest value is shown

جدول (B₁) : میزان همبستگی ، سطح اعتماد و تعداد نمونه های مورد محاسبه در کانیهای سنگین

| Mineral | Specifications | APATITE | ZIRCON | RUTILE | ANATASE | SPHENE | FQ | NIGRINE | PYROXENE | EPIDOTE | BIOTITE | OLIGISTE | Amphibole | Leucosome |
|-----------|-------------------------|---------|--------|--------|---------|--------|-------|---------|----------|---------|---------|----------|-----------|-----------|
| APATITE | Correlation Coefficient | 1.00 | - | 0.38 | 0.31 | - | 0.36 | 0.25 | - | - | - | - | -0.48 | - |
| | Sig. (2-tailed) | N | 16.00 | 9.00 | 16.00 | 11.00 | 6.00 | 16.00 | 4.00 | 16.00 | 12.00 | 7.00 | 1.00 | 9.00 |
| ZIRCON | Correlation Coefficient | - | - | - | - | - | - | - | - | - | - | - | - | 0.16 |
| | Sig. (2-tailed) | N | 9.00 | 9.00 | 9.00 | 6.00 | 6.00 | 9.00 | 2.00 | 9.00 | 8.00 | 3.00 | 1.00 | 4.00 |
| RUTILE | Correlation Coefficient | 0.36 | - | 1.00 | 0.29 | - | 0.12 | -0.39 | - | - | - | - | - | 0.29 |
| | Sig. (2-tailed) | N | 15.00 | 9.00 | 15.00 | 11.00 | 5.00 | 15.00 | 4.00 | 15.00 | 12.00 | 7.00 | 1.00 | 4.00 |
| ANATASE | Correlation Coefficient | 0.31 | - | 0.29 | 1.00 | - | -0.30 | -0.10 | - | - | - | - | - | 0.38 |
| | Sig. (2-tailed) | N | 11.00 | 6.00 | 11.00 | 11.00 | 4.00 | 11.00 | 4.00 | 11.00 | 8.00 | 7.00 | 0.00 | 0.00 |
| SPHENE | Correlation Coefficient | - | - | - | - | - | - | - | - | - | - | - | - | 0.00 |
| | Sig. (2-tailed) | N | 5.00 | 5.00 | 5.00 | 4.00 | 5.00 | 5.00 | 2.00 | 5.00 | 4.00 | 3.00 | 1.00 | 4.00 |
| FQ | Correlation Coefficient | 0.36 | - | 0.12 | -0.30 | - | 1.00 | -0.29 | - | - | - | - | - | -0.51 |
| | Sig. (2-tailed) | N | 16.00 | 9.00 | 16.00 | 11.00 | 6.00 | 16.00 | 4.00 | 16.00 | 12.00 | 7.00 | 1.00 | 4.00 |
| NIGRINE | Correlation Coefficient | - | - | - | - | - | - | - | - | - | - | - | - | 0.11 |
| | Sig. (2-tailed) | N | 4.00 | 2.00 | 4.00 | 2.00 | 4.00 | 4.00 | 4.00 | 4.00 | 4.00 | 2.00 | 0.00 | 3.00 |
| PYROXENE | Correlation Coefficient | 0.28 | - | -0.39 | 0.10 | - | -0.28 | 1.00 | - | - | - | - | - | -0.45 |
| | Sig. (2-tailed) | N | 15.00 | 9.00 | 15.00 | 11.00 | 6.00 | 15.00 | 4.00 | 15.00 | 12.00 | 7.00 | 1.00 | 4.00 |
| EPIDOTE | Correlation Coefficient | - | - | - | - | - | - | - | - | - | - | - | - | 0.16 |
| | Sig. (2-tailed) | N | 12.00 | 8.00 | 12.00 | 8.00 | 4.00 | 12.00 | 2.00 | 12.00 | 5.00 | 1.00 | 0.00 | 0.00 |
| BIOTITE | Correlation Coefficient | - | - | - | - | - | - | - | - | - | - | - | - | 0.00 |
| | Sig. (2-tailed) | N | 7.00 | 3.00 | 7.00 | 7.00 | 3.00 | 7.00 | 2.00 | 7.00 | 5.00 | 7.00 | 0.00 | 6.00 |
| OLIGISTE | Correlation Coefficient | - | - | - | - | - | - | - | - | - | - | - | - | 0.00 |
| | Sig. (2-tailed) | N | 1.00 | 1.00 | 0.00 | 1.00 | 0.00 | 1.00 | 0.00 | 1.00 | 0.00 | 1.00 | 1.00 | 0.00 |
| Amphibole | Correlation Coefficient | - | - | - | - | - | - | - | - | - | - | - | - | 0.00 |
| | Sig. (2-tailed) | N | 9.00 | 4.00 | 8.00 | 4.00 | 9.00 | 3.00 | 9.00 | 8.00 | 8.00 | 1.00 | 9.00 | 7.00 |
| Leucosome | Correlation Coefficient | -0.48 | - | 0.29 | -0.13 | - | -0.51 | - | -0.45 | - | - | - | - | 1.00 |
| | Sig. (2-tailed) | N | 11.00 | 7.00 | 0.38 | 0.76 | 0.11 | 0.16 | 0.11 | 0.16 | 0.00 | 0.00 | 0.00 | 7.00 |

جدول : میزان همبستگی ، سطح اعتماد و تعداد نمونه های مورد محاسبه در کاریهای سنگین

| Minerals | Specifications | PYRITE | BARITE | CALCITE | DOLOMITE | FLOURITE | HEMATITE | GOETHITE | Cebaronite | Celesitine | Magnetite | Phosphate | Pyriteoxide | |
|-------------|-------------------------|--------|--------|---------|----------|----------|----------|----------|------------|------------|-----------|-----------|-------------|-------|
| PYRITE | Correlation Coefficient | 1.00 | 0.44 | 0.38 | 0.30 | -0.24 | 0.00 | -0.02 | 0.16 | 0.00 | 0.18 | 0.11 | -0.02 | |
| | Sig. (2-tailed) | N | 0.10 | 0.17 | 0.27 | 0.44 | 0.99 | 0.93 | 0.58 | 1.00 | 0.52 | 0.81 | 0.95 | |
| BARITE | Correlation Coefficient | 0.44 | 1.00 | 15.00 | 15.00 | 13.00 | 15.00 | 15.00 | 15.00 | 15.00 | 15.00 | 7.00 | 9.00 | |
| | Sig. (2-tailed) | N | 0.10 | -0.08 | 0.09 | -0.33 | -0.16 | -0.07 | -0.31 | 0.87 | 0.31 | 0.30 | -0.07 | |
| CALCITE | Correlation Coefficient | 0.38 | -0.06 | 1.00 | 0.74 | 0.27 | 0.58 | 0.81 | 0.27 | 0.33 | 0.25 | 0.51 | 0.86 | |
| | Sig. (2-tailed) | N | 0.17 | 0.83 | 1.00 | 0.77 | -0.21 | -0.36 | -0.16 | 0.69 | 0.00 | -0.07 | 0.69 | -0.33 |
| DOLomite | Correlation Coefficient | 0.30 | 0.09 | 0.77 | 1.00 | -0.06 | -0.39 | -0.13 | 0.67 | 0.00 | 0.19 | 0.24 | -0.24 | |
| | Sig. (2-tailed) | N | 0.27 | 0.74 | 0.00 | 0.86 | 0.15 | 0.64 | 0.01 | 1.00 | 0.51 | 0.61 | 0.53 | |
| FLOURITE | Correlation Coefficient | -0.24 | 0.33 | 0.71 | -0.05 | 1.00 | 0.10 | 0.21 | 0.70 | 0.87 | -0.02 | 0.00 | 0.48 | |
| | Sig. (2-tailed) | N | 0.44 | 0.27 | 0.69 | 0.86 | 0.74 | 0.50 | 0.62 | 0.33 | 0.94 | 1.00 | 0.26 | |
| HEMATITE | Correlation Coefficient | 0.00 | -0.16 | -0.36 | -0.39 | 0.10 | 1.00 | 0.25 | -0.25 | -0.50 | -0.15 | 13.00 | 6.00 | |
| | Sig. (2-tailed) | N | 0.98 | 0.58 | 0.19 | 0.15 | 0.74 | 0.38 | 0.38 | 0.67 | 0.59 | -0.27 | 0.08 | |
| GOETHITE | Correlation Coefficient | -0.02 | -0.07 | -0.16 | -0.13 | 0.21 | 0.25 | 1.00 | -0.13 | 0.87 | 0.35 | 0.42 | | |
| | Sig. (2-tailed) | N | 0.93 | 0.81 | 0.57 | 0.64 | 0.50 | 0.38 | 0.88 | 0.33 | 0.21 | 0.35 | 0.93 | |
| Cebaronite | Correlation Coefficient | 0.16 | -0.31 | 0.69 | 0.67 | -0.20 | -0.26 | -0.13 | 1.00 | -0.50 | -0.31 | 0.36 | -0.33 | |
| | Sig. (2-tailed) | N | 0.58 | 0.27 | 0.00 | 0.01 | 0.52 | 0.38 | 0.68 | 0.67 | 0.26 | 0.42 | 0.39 | |
| Celesitine | Correlation Coefficient | 0.00 | 0.87 | 0.00 | 0.87 | -0.50 | 0.87 | -0.50 | 0.87 | -0.50 | 1.00 | 0.87 | -1.00 | |
| | Sig. (2-tailed) | N | 1.00 | 0.33 | 1.00 | 0.33 | 0.67 | 0.33 | 0.67 | 0.33 | 0.33 | 1.00 | 2.00 | |
| Magnetite | Correlation Coefficient | 0.18 | 0.31 | -0.07 | 0.19 | -0.02 | -0.15 | 0.36 | -0.31 | 0.87 | 1.00 | -0.25 | -0.09 | |
| | Sig. (2-tailed) | N | 0.52 | 0.25 | 0.82 | 0.61 | 0.94 | 0.69 | 0.21 | 0.26 | 0.33 | 0.60 | 0.82 | |
| Phosphate | Correlation Coefficient | 0.11 | 0.30 | 0.69 | 0.24 | 0.00 | -0.27 | 0.42 | 0.36 | -0.25 | 1.00 | 0.19 | | |
| | Sig. (2-tailed) | N | 0.81 | 0.51 | 0.09 | 0.61 | 1.00 | 0.56 | 0.35 | 0.42 | 0.60 | 0.60 | 0.76 | |
| Pyriteoxide | Correlation Coefficient | -0.02 | -0.07 | -0.33 | -0.24 | 0.46 | 0.08 | -0.04 | -0.33 | -1.00 | 7.00 | 7.00 | 5.00 | |
| | Sig. (2-tailed) | N | 0.95 | 0.86 | 0.38 | 0.53 | 0.26 | 0.85 | 0.93 | 0.39 | 1.00 | 0.82 | 0.76 | |

Significant at the .01 level (2-tailed).

فصل چهارم : نقشه های آنومالی و اولویت بندی مناطق امید بخش

با توجه به پردازش داده های تجزیه نمونه های ژئوشیمیابی برداشت شده در مرحله اول و پردازش داده های حاصل از مطالعه کانی های سنگین ، محرز گردید که عنصر F نقریباً به صورت تنها عنصر کانه سازی و بدون تشابه با سایر عناصر کانه سازی است ، بعبارت دیگر رگه های فلورین در واحدهای کربناته یعنی معمولاً در واحد یا عضو ورسک تمرکز دارد و مقادیر $ZK+3S$ حاصل از داده های F برای عنصر F نیز مقادیر ناهنجار ، $1\% \text{ و } 2\%$ بالای این مقادیر به عنوان آنومالیهای درجه یک ، دو و سه تلقی شده است ، با توجه به نمونه های که در مرحله بررسی آنومالی برداشت گردید و آنومالی های بدست آمده از مرحله اول را تائید نموده است (نمونه های ژئوشیمیابی و ۲۰ نمونه) و حاوی عیار F بالای ۲٪ بوده است ، لذا برای عنصر F مقادیر ناهنجاری را می توان عیار تا ۵٪ ، ۱۰٪ بیشتر از ۱۰٪ به عنوان آنومالی های درجه یک ، دو و سه تلقی گردد . براساس آن نقشه آنومالی درجه ۱ و ۲ ژئوشیمیابی F جداگانه در نقشه پیوست مشخص گردیده است و برای آنومالی های آنومالی در همان نقشه آورده شده است . در این نقشه فقط آنومالی درجه یک و دو آورده شده است . ذیلاً مناطق آنومالی ۱،۲ شرح داده می شود .

۱- آنومالی های فلورور : فلورور در مناطق زیر آنومالی درجه یک و دو نشان داده است (نقشه آنومالی فلورور)

الف : آنومالی درجه یک و دو فلورور در منطقه ای از زیر پل ورسک و در امتداد آبراهه در یک محدوده ای بیش از چندین کیلومتر مربع وجود دارد و در بررسی آنومالی از این منطقه نمونه های برداشت شده ژئوشیمیابی و کانی سنگین حاکی بر بالا بودن عیار F و یا فلوروریت در نمونه های این مناطق بوده است . طی عملیات ترانشه زنی وسیعی حدود ۵۰ متر مربع در این ناحیه رگه و رگچه های بسیار باریک فلوروریت قابل تشخیص بوده ولی وجود رگه فلوروریت دار با عیار بالا در این ترانشه ها مشخص نگردیده است ولی این ناحیه آنومالی درجه یک مستقیماً توسط یک آنومالی درجه دو به وسعت زیادی احاطه می شود که می تواند موبید این آنومالی باشد .

در محل شوراب زیر چشم رسو برداشت شده از این محل VGD-38 آنومالی درجه ۳ فلور نشان داد که می تواند متأثر از آب چشم ترش باشد. مظافاً برایکه نمونه های برداشت شده در محل دوم از این منطقه عیار F کمتر از $\frac{3}{4}$ را نشان داده است و می تواند آنومالی معنی دار نباشد.

در انتهای "چپ دره" در بالا محل نامونه شماره VGD16 از صخره های آهک عضو ورسک آنومالی درجه ۲ فلور وجود دارد که در این محل حدود ۴۰ متر مکعب ترانشه زده شد و طی آن وجود رگچه های بسیار کوچک فلوریت در داخل آهک تعیین و مشخص گردیده و در بررسی از آنومالی این منطقه نمونه های برداشت شده ژئوشیمیابی و کانی سنگین نیز این مسئله را تائید نموده است ولی در اینجا مatasفانه رگه فلوریت با عیار بالا مشخص نگردید اما احتمالاً در این منطقه آنومالی درجه یک فلوریت وجود دارد. این مسئله می تواند در اکتشافات نیمه تفصیلی مشخص گردد.

۲- آنومالی سایر عناصر: آنومالی های درجه یک و دو مشخص شده سایر عناصر مانند $\text{Co}, \text{Zn}, \text{Ba}$ می تواند بیشتر محلی باشد و چنانچه ذکر گردید از تأثیر سنگ های آذرین قلیابی تا متوسط برروی آهک های ورسک و در کنタکت آن بوجود آمده باشد، و از نظر کلی شواهد زیادی در مورد وجود آن و احتمال کانی سازی برای این عناصر وجود ندارد و حداکثر می تواند نشان دهنده کانی سازی پراکنده و محدودی در منطقه باشد. ولی در مورد Ba در منطقه آبی دره یک آنومالی نسبتاً قوی درجه یک و آنومالی گسترده درجه ۲ باریم وجود دارد که می تواند معنی دار باشد و از اولویت برخوردار باشد.

نتیجه گیری و پیشنهادات:

با توجه به مطالعات انجام شده در منطقه بطور کلی در منطقه اکتشافات در محدوده آبراهه ورسک، آنومالی درجه یک و دو وجود دارد که می تواند مovid کانی سازی قوی از فلوریت در درون قسمت تحتانی آهک های الیکای فوقانی باشد و از این جهت ادامه اکتشافات در این منطقه قویاً

توصیه می شود . همچنین در انتهای " چپ دره " نیز پتانسیل کانی سازی خوبی برای فلوروریت Ba ،
برخوردار است و از راه لویت دوم برخوردار است ، در انتهای اسبی دره پتانسیل کانی سازی Cu ، Pb ، Zn ، Co نمی تواند وجود داشته باشد می تواند مورد توجه قرار گیرد در مورد عناصر پتانسیل کانی سازی با ارزش احتمالاً در منطقه وجود ندارد و آنومالی های درجه ۲ و ۳ موجود متأثر از وجود توده آذربین خروجی اسیدی یا قلیابی باشند و علاوه شیل ژوراسیک نیز می تواند منبع افزایش یا بالا بودن عیار ایت عنصر در رسوبات آبراهه ای باشند ، بنابر این آنومالی ها اعتبار زیادی ندارند و معنی دار نیستند . بهر حال ادامه کارهای اکتشافی در اشل اکتشافات مقدماتی تا نیمه تفصیلی در این دو منطقه می تواند نتایج مثبتی در خصوص وجود پتانسیل کانی سازی بالاخض فلوروریت و در درجه دوم باریت باشد .